

du dovalespement durable

Suivi du phytoplancton des plans d'eau du bassin Artois-Picardie Campagne 2018

Mars 2019



Angers - Technopole d'Angers - 1 avenue du Bois l'Abbé - 49070 Beaucouzé - Tél. : 02 41 22 01 01 - Fax : 02 41 48 04 14 - aqua@aquascop.fr Montpellier - Domaine de Cécélès - 1520 route de Cécélès - 34270 Saint Mathieu de Tréviers - Tél. : 04 67 52 92 38 - aqua2@aquascop.fr



Suivi du phytoplancton des plans d'eau du bassin Artois-Picardie Campagne 2018

Mars 2019

Version	Date	Nom et signature du (des) rédacteur(s)	Nom et signature du vérificateur
2	05/03/2019	Nathalie NOUCHET	Jessica VIZINET



Sommaire

1. OBJECTIF DU SUIVI	4
2. METHODOLOGIE	4
2.1. Prélèvements	4
2.2. Analyses	5
2.2.1. Les pigments chlorophylliens	5
2.2.2. Le phytoplancton	5
2.3. Calcul de l'IPLAC	
2.3.1. Métrique de Biomasse Algale (MBA)	
2.3.2. Métrique de Composition Spécifique (MCS)	
2.3.3. Calcul de l'indice	
2.4. Calcul de l'IPL	
3. LISTES DES STATIONS	8
4. CONDITIONS DE PRELEVEMENTS	8
5. RESULTATS ET EXPERTISE DE LA DYNAMIQUE DU PHYTOPLANCTON	0
5.1. L'étang d'Ardres	
5.2. L'étang de Romelaere (Audomarois)	
5.3. La mare à Goriaux	
5.4. L'étang du Vignoble	0
5.5. Le lac du Val Joly	
6. SYNTHESE	8
7. ANNEXES 29	9
7.1. Méthode détaillée d'analyse du phytoplancton	9
7.2. Bibliographie	0
7.3. Composition des peuplements phytoplanctoniques, densités algale et cellulaire, e biomasse	
7.4. Données en profil du pH, de la température de l'eau, des teneurs en oxygène dissous et conductivité	
7.5. Comparaison des résultats de chlorophylle a	4



1. OBJECTIF DU SUIVI

Les suivis du phytoplancton en cours d'eau et en plans d'eau visent à satisfaire les exigences du programme de surveillance de la Directive Cadre Eau (DCE) et les besoins propres de l'Agence de l'Eau en matière de connaissance des milieux. Cette étude complète a pour objet la réalisation de prélèvements et d'analyses d'algues en cours d'eau, en canaux, et en plans d'eau dans le bassin Artois-Picardie, le calcul d'indices, la bancarisation des données dans Naïades, l'interprétation et la restitution des données.

L'objet du **lot n°3** de cette étude prévoit un suivi des communautés phytoplanctoniques pour les années 2017/2018/2019.

Ce rapport présente les résultats des **analyses du phytoplancton de 5 plans d'eau** du bassin Artois-Picardie, de l'année de suivi **2018.**

Aquascop a eu en charge les prélèvements, le traitement des échantillons de phytoplancton, la détermination des peuplements, le calcul de l'indice IPLAC et la restitution des résultats.

2. METHODOLOGIE

2.1. PRÉLÈVEMENTS

Sur le terrain, les prélèvements ont été réalisés par le personnel d'aquascop. La méthodologie de référence suivie est celle proposée par l'IRSTEA et intitulée « *Protocole standardisé d'échantillonnage, de conservation, d'observation et de dénombrement du phytoplancton en plan d'eau pour la mise en œuvre de la DCE* (version 3.3.1, septembre 2009) ».

Conformément au CCTP, l'échantillonnage s'est effectué à raison de 4 campagnes par plan d'eau sur un même cycle annuel (mars, mai, juillet, septembre).

Les échantillonnages d'eau brute ont été réalisés depuis un bateau, au point le plus profond, sur la zone euphotique, à l'aide d'une bouteille à prélèvement et d'une corde graduée, selon le principe de l'échantillonnage intégré. En complément, un échantillon concentré est réalisé à l'aide d'un filet (30 μ m de maille) afin de disposer de suffisamment de matériel permettant le cas échéant l'identification de certains taxons.

A chaque station, une prise de 400 mL d'eau brute est réalisée, puis fixée sur le terrain à l'aide d'une solution de lugol en vue de l'expertise phytoplanctonique. Cet ajout de lugol (2 ml) est nécessaire afin d'assurer la conservation (et la fixation) des caractéristiques de l'échantillon phytoplanctonique avant son analyse au laboratoire. Une deuxième aliquote est récupérée dans un flacon propre, destinée à l'analyse des pigments chlorophylliens. Les échantillons (phytoplancton et eau pour dosage de la chlorophylle) sont immédiatement stockés à l'abri de la lumière en glacière réfrigérée puis, soit déposés dans les 24 heures au laboratoire du CAR pour le dosage de la chlorophylle a et des phéopigments, soit ramenés au laboratoire d'aguascop (Angers) pour stockage en conditions réfrigérées en vue de l'analyse du phytoplancton.

A réception, les échantillons phytoplanctoniques sont numérotés et tracés dans le fichier d'enregistrement dédié à ce groupe biologique dans le cadre de notre système qualité.

Lors de chaque prélèvement, une fiche de terrain, selon le modèle de l'IRSTEA, comportant la description de l'ensemble des conditions de réalisation de cet échantillonnage et notamment certaines mesures *in situ* (transparence, oxygénation de l'eau, pH, conductivité, température de l'eau) est renseignée. Des fiches de données générales des plans d'eau (fiches IRSTEA) ont également été remises par aquascop à l'issue de chaque campagne, permettant la géo-localisation notamment du point de prélèvement (coordonnées GPS, carte IGN, photos).



Parallèlement aux prélèvements de phytoplancton, le personnel du CAR effectuent des prélèvements destinés aux mesures physico-chimiques.

2.2. ANALYSES

2.2.1. Les pigments chlorophylliens

Les analyses de chlorophylle *a* et phéopigments sont faites selon la norme NF T 90-117 (décembre 1999). Comme en 2017, les résultats de deux méthodes de filtration ont été comparés lors de cette étude, à savoir : à partir d'une filtration sur le terrain (par aquascop) d'une part ou une filtration au laboratoire du CAR d'autre part (voir résultats en annexe 7.5).

2.2.2. Le phytoplancton

Le **dénombrement** du phytoplancton est effectué selon la norme NF EN 15204 (décembre 2006), dont la méthode est détaillée en annexe du rapport (7.1). L'ensemble des listes floristiques détaillées est également présenté en annexe (7.3).

Les algues phytoplanctoniques sont déterminées à l'espèce dans la mesure du possible, ou au niveau du genre, voire au groupe. Elles peuvent être **unicellulaires** ou **pluricellulaires** (colonies, filaments...), d'où des modes d'évaluation quantitative différents, soit en termes de **densité algale** (nombre d'individus par millilitre) soit en termes de **densité cellulaire** (nombre de cellules par millilitre). La **biomasse algale totale** est exprimée en mg/L (ou mm³/L) et est calculée à partir du **biovolume** de chaque taxon, lui-même étant évalué à l'aide de formules géométriques appropriées correspondant à la taille et à la forme des cellules considérées.

La **richesse taxonomique** (nombre de taxons par prélèvement) est également évaluée, apportant ainsi une information sur l'état de maturité du peuplement.

La saisie des résultats des analyses du phytoplancton est réalisée grâce à l'outil Phytobs, dans sa version la plus récente, développé par l'IRSTEA. Les résultats sont synthétisés selon le calcul du biovolume de chaque taxon (en mm³/L). Le rendu des inventaires phytoplanctoniques est envoyé en parallèle à l'agence, pour bancarisation, sous forme de fichiers compatibles avec le format d'export de Phytobs (format « .csv »).

2.3. CALCUL DE L'IPLAC

L'IPLAC est un indice multimétrique résultant de l'agrégation par somme pondérée de deux métriques normalisées. Il remplace désormais l'indice IPL et la moyenne estivale en chlorophylle *a* utilisés auparavant pour évaluer l'état des plans d'eau lors du 1^{er} cycle DCE.

2.3.1. Métrique de Biomasse Algale (MBA)

La chlorophylle a est un bon indicateur de la biomasse d'algues microscopiques présentent dans les plans d'eau. C'est la méthode normalisée de Lorenzen (1967) qui est utilisée pour mesurer sa concentration, soit la norme NF T90-117 (décembre 1999).

Cette métrique MBA est calculée en faisant la moyenne des valeurs de chlorophylle *a* mesurée sur trois campagnes entre mai et octobre (= période de végétation).

$$MBA_{EQR} = \frac{refChloro}{MChlo}$$

MChlo = moyenne des teneurs estivales en chlorophylle

Réf Chloro = spécifique à chaque plan d'eau selon sa profondeur

L'EQR (Ecological Quality Ratio¹), ou écart à la référence, est le rapport entre un état observé et l'état que "devrait" avoir le milieu en l'absence de perturbation anthropique.

¹ Ratio de qualité écologique



Les concentrations en chlorophylle a de chaque campagne sont saisies dans un fichier de Phytobs dédié au calcul de l'IPLAC. Les données d'altitude et de profondeur moyenne du plan d'eau sont également saisies dans ce fichier.

2.3.2. Métrique de Composition Spécifique (MCS)

Cette métrique exprime une note en fonction de la présence de taxons indicateurs figurant dans une liste de référence de 165 taxons. Ces taxons de référence sont associés à une cote spécifique et à une note de sténoécie, représentant l'amplitude écologique du taxon. L'évaluation est donc fonction de la composition taxinomique échantillonnée exprimée en biovolume.

La note finale est obtenue en couplant les cotes spécifiques attribuées aux taxons indicateurs **CSi**, avec leurs coefficients de sténoécie **Si** et en fonction du biovolume du taxon indicateur **Bi**, et en mesurant l'écart avec la valeur prédite en condition de référence.

$$MCS_{c} = \frac{\sum \left(B_{i} \times CS_{i} \times S_{i}\right)}{\sum \left(B_{i} \times S_{i}\right)}$$

MCS_c = métrique d'une campagne **Bi** : biomasse de l'espèce i (en mg/l)

CSi : cote spécifique de l'espèce i (0 à 20) Si : coefficient de sténoécie de l'espèce i (1 à 3)

C'est la moyenne sur les 3 campagnes qui est prise en compte.

Les listes floristiques sont intégrées/importées dans le fichier de calcul de chaque plan d'eau.

2.3.3. Calcul de l'indice

La formule utilisée est la suivante :

$$IPLAC = \frac{MBA_{nEQR} + 2MCS_{nEQR}}{3}$$

On obtient une note entre 0 et 20 convertie selon l'EQR en une valeur entre 0 et 1.

Attention le calcul de l'IPLAC ne peut s'effectuer que si :

- le nombre de taxons contributifs² est supérieur à 5 (ayant des valeurs de sténoécie et cotes spécifiques),
- le nombre de campagnes est au moins de trois,
- la période de campagnes est entre mai et octobre.
- le nombre total de taxon déterminés est au moins de 10 par campagne,
- % de taxons déterminés au genre de 30 minimum,
- % de taxons indéterminés de 10 maximum.

Cependant, il est possible de « forcer » le logiciel à effectuer le calcul, ce qui donne alors un résultat « non conforme ». Notons que dans le cadre de cette étude, il a été nécessaire de changer les contraintes afin de forcer le calcul.

² Il n'existe actuellement qu'une liste de 165 taxons contributifs, tous au niveau de l'espèce.



2.3.4. Classes de qualité

Cinq classes d'état écologique associées à cinq couleurs sont définies dans l'arrêté du 27 juillet 2018 relatif aux méthodes et critères d'évaluation de l'état écologique, de l'état chimique et du potentiel écologique des eaux de surface. Ces classes d'état sont présentées dans le tableau ci-dessous :

	Limites des classes d'état en EQR (Ecological Quality Ratio) (valeurs inférieures des limites de classes)					
Indice	Très bon/Bon Bon/Moyen		Moyen/Médiocre	Médiocre/Mauvais		
IPLAC	0,8	0,6	0,4	0,2		

Limites des classes d'état écologique en EQR (Selon l'arrêté du 27 juillet 2018)

2.4. CALCUL DE L'IPL

Depuis la mise en place de l'IPLAC, cet indice IPL (Indice phytoplanctonique) est désormais « obsolète » mais il est néanmoins présenté ici à titre informatif et calculé afin de pouvoir comparer les résultats obtenus en 2018 avec ceux des années antérieures (2013-2016).

L'Indice Planctonique IPL est calculé à partir des listes floristiques obtenues lors des trois campagnes de la période de production biologique « estivale »³. L'indice s'appuie sur des coefficients de qualité (**Qi**) attribués à chaque groupe algal (les coefficients les plus élevés étant attribués aux groupes les plus liés à l'eutrophisation) et sur des classes d'abondances relatives (**Ai**). La formule utilisée est la suivante :

IPL = moyenne de Σ Qi x Aj

Avec les valeurs suivantes pour Qi dans l'ordre croissant du moins déclassant au plus déclassant :

Groupes algaux	Qi
Desmidiées	1
Diatomées	3
Chrysophycées	5
Dinophycées et cryptophycées	9
Chlorophycées (sauf Desmidiées)	12
Cyanophycées	16
Eugléniens	20

Remarque : les groupes des Xanthophycées ne sont pas pris en compte.

Et valeurs de Ai selon l'équivalence des abondances relatives :

%	0	10	30	50	70	90	100
Aj		0	1	2	3	4	5

L'indice planctonique tel que décrit dans la diagnose rapide est issu de prélèvements réalisés au filet à plancton. Dans notre cas, nous utilisons les résultats des analyses quantitatives des prélèvements intégrés, identiques à ceux utilisés pour le calcul de l'IPLAC. Les abondances relatives des différents groupes ont été évaluées à partir des biovolumes algaux.

L'évaluation de l'état écologique selon l'IPL est donnée comme suit dans le tableau ci-dessous selon la limite de classe d'état :

	Limites des classes d'état					
	Très bon	Bon	Moyen	Médiocre	Mauvais	
IPL	25	40	60	80		

³ La première campagne de fin d'hiver (mars) correspondant à la période de brassage n'est pas prise en compte dans le calcul.



3. LISTES DES STATIONS

Le tableau ci-dessous présente l'ensemble des plans d'eau du bassin Artois-Picardie sélectionné dans le cadre de ce suivi. En page suivante, une carte localise les différents plans d'eau.

Tableau 1- Plans d'eau échantillonnés en 2018

Plan d'eau	N° de station	Code lac	Profondeur moyenne (m)	Superficie (ha)	Altitude (m)
Etang d'Ardres	002024	FRAL 04	1,5	31,5	5
Etang du Romelaere (=Audomarois)	001949	FRAL 01	1,7	20,8	3
Mare à Goriaux	002022	FRAL 02	1,0	78	18
Etang du Vignoble	002023	FRAL 03	1,6	51,8	23
Lac du Val Joly	002021	FRB2 L05	3,3	109,6	175

4. CONDITIONS DE PRÉLÈVEMENTS

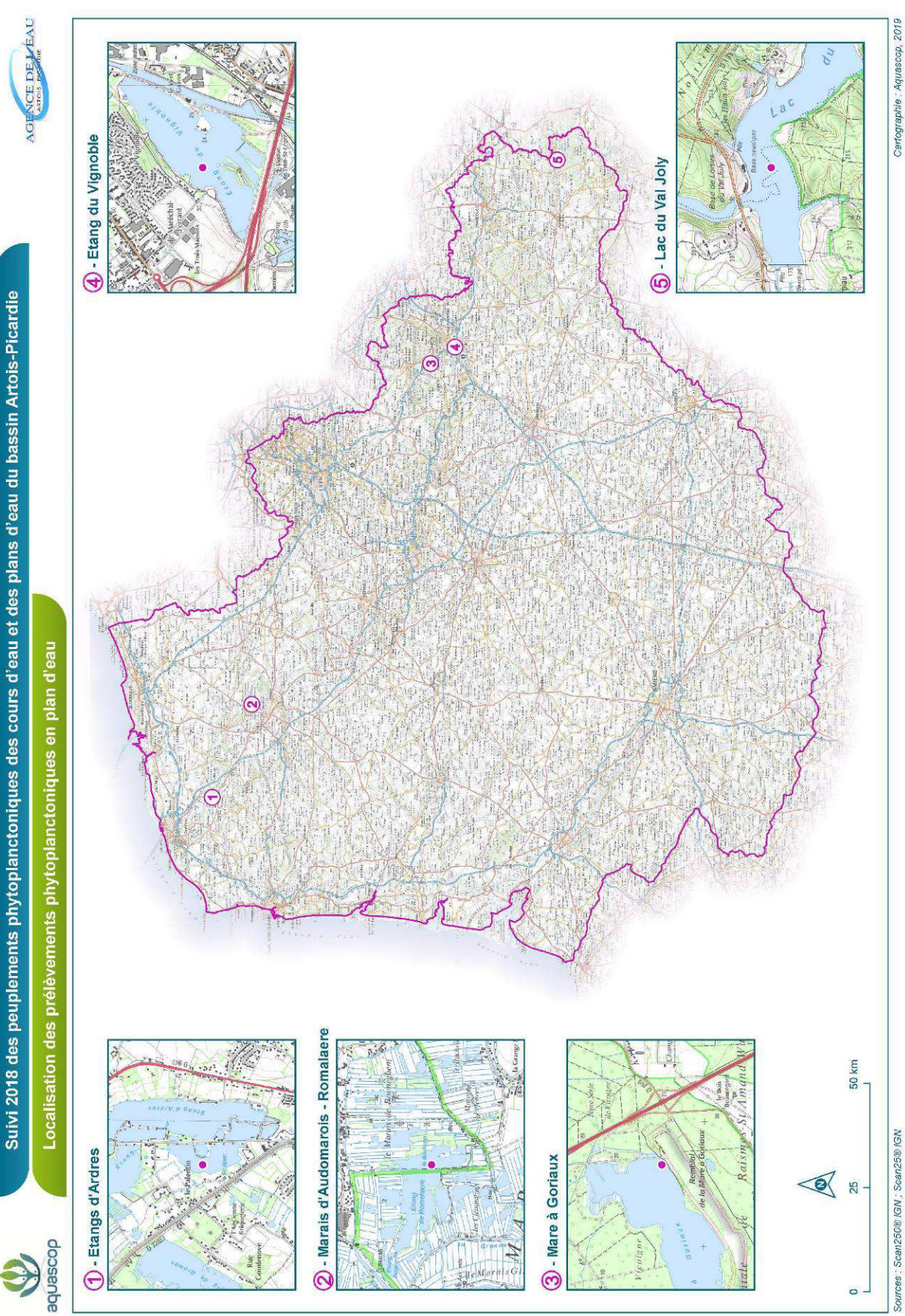
L'ensemble des prélèvements s'est déroulé dans de bonnes conditions. Seule une période orageuse est à signaler la veille du prélèvement du 29 mai.





Localisation des prélèvements phytoplanctoniques en plan d'eau

Suivi 2018 des peuplements phytoplanctoniques des cours d'eau et des plans d'eau du bassin Artois-Picardie





5. RÉSULTATS ET EXPERTISE DE LA DYNAMIQUE DU PHYTOPLANCTON

Les résultats des analyses quantitatives sont présentés par plan d'eau. Pour chaque station, un tableau présente les principales données algales ainsi que les concentrations en pigments chlorophylliens (valeurs selon les résultats des filtrations sur site). Les notes obtenues de l'IPLAC et de l'IPL sont données en fin de tableau avec la correspondance, en couleur, de la classe d'état.

De ces résultats sont extraits deux graphiques synthétisant les densités cellulaires et les biovolumes selon les groupes d'algues, puis un autre présente les données chlorophylliennes.

Les mesures *in situ* sur le profil vertical de chaque plan d'eau sont représentées en graphiques à la fin de ce rapport et analysés pour chaque station (voir annexes 7.4).

5.1. L'ETANG D'ARDRES

Ce plan d'eau fait partie d'un ensemble d'étangs et de marais de la commune d'Ardres (photographie en couverture). L'étang d'Ardres a comme usage actuel les activités nautiques et la pêche. Sa superficie est de 31,5 ha et la profondeur moyenne n'est que de 1,5 m avec un maximum de 2,0 m.

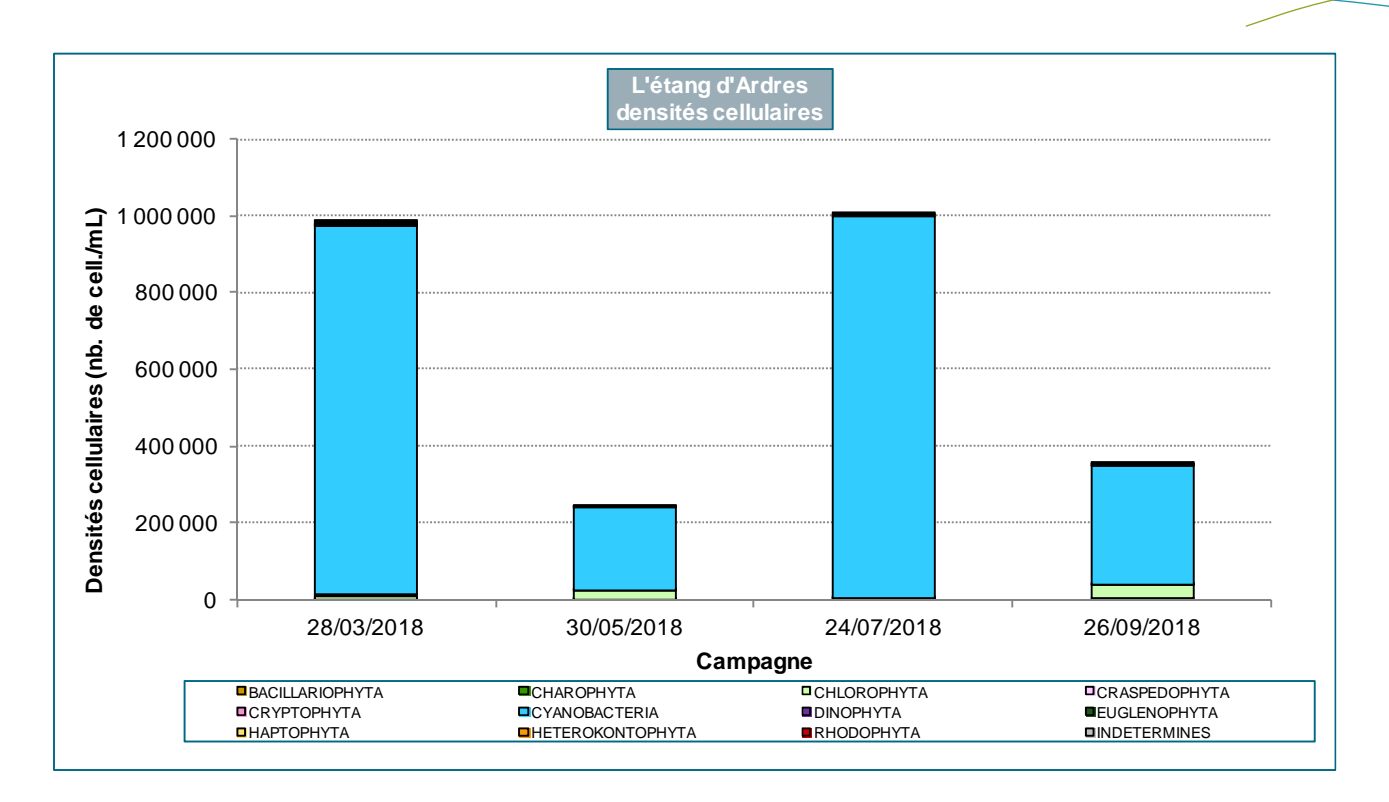
Date de prélèvement	28/03/2018	30/05/2018	24/07/2018	26/09/2018
Concentration algale (ind./mL)	70 850	21 200	48 300	35 800
Concentration cellulaire (cell./mL)	982 600	239 600	1 001 400	354 500
Biomasse algale totale (mg/L)	36,1	21,9	60,0	25,0
Richesse taxonomique (nb. taxons/récolte)	39	57	29	67
Espèce dominante (% de densité cell.)	Limnothrix redekei (76%)	Planktothrix agardhii (47%)	Planktothrix agardhii (62%)	Limnothrix redekei (65%)
Chlorophylle a (µg/L)	25,0	36,0	69,1	69,3
Phéopigments (µg/L)	21,0	18,1	15,1	39,3
Note de l'IPLAC			0,223	
Note de l'IPL			65	

Les mesures *in situ* du profil vertical, présentent une masse d'eau quasiment homogène sauf en juillet (voir graphiques en fin de document). Les mesures du **pH** sont stables et témoignent d'une eau basique (pH entre 8,0 et 9,0). La **conductivité** est presque toujours homogène le long de la colonne d'eau (mars, mai et septembre) mais les valeurs sont assez variables d'une campagne à l'autre (337 à 581 μ S/cm). En juillet, il existe une diminution de 50 μ S/cm entre la surface et le fond. Le graphique de la **température de l'eau** présente une légère thermocline en juillet (diminution de 4,5°C entre la surface et à 1,5m). La température de l'eau augmente très nettement au printemps (21°C en surface en mai). Quant à **l'oxygénation** du plan d'eau, elle est très variable d'une campagne à l'autre, elle est notamment assez faible en mai (< 5 mgO₂/l et 52% de saturation). En juillet, l'oxygénation est élevée et couplée à une variation en profondeur (18,7 mgO₂/l en surface et 11,1 mgO₂/l en profondeur). Enfin, ce paramètre redevient correct en septembre (autour de 10 mgO₂/l).

La **transparence** de l'eau est faible (0,3 à 0,6 m) et la zone euphotique n'est donc jamais très importante (0,75 à 1,5 m).

Le graphique ci-dessous présente l'évolution saisonnière des **concentrations cellulaires** selon la proportion de chaque groupe d'algues.





En termes de concentrations cellulaires, les densités atteintes sur l'étang sont très importantes produisant une moyenne sur les quatre campagnes de 645 000 cell./mL. Ce qui est surtout remarquable dans l'évolution temporelle est, d'une part la précocité du premier pic (en mars), d'autre part l'ampleur des pics de densités en mars et juillet de même ordre de grandeur (autour d'un million de cell./mL). Avec une chute importante en mai, la production du phytoplancton est sans doute nettement impactée par le broutage du zooplancton lors de la phase d'eau claire. En septembre, bien qu'en nette diminution, la densité reste encore très élevée (près de 350 000 cell./mL).

La **composition du peuplement phytoplanctonique** explique ces valeurs très conséquentes de nombre de cellules. En effet, ce sont les cyanobactéries qui dominent largement le peuplement (88 à 97%) avec en particulier deux espèces filamenteuses *Limnothrix redekei* et *Planktothrix agardhii*. Notons que cette dernière espèce est intégrée dans la liste des espèces potentiellement toxiques⁴ et sa concentration s'élève jusqu'à près de 620 000 cell./mL le 24 juillet ce qui est considérable. La concentration **de cyanobactéries toxiques** des quatre campagnes est bien au-dessus du seuil critique⁵ dans le cas de gestion d'eaux de baignades⁶. L'étang d'Ardres proposant des activités nautiques au public, ce type de suivi aurait nécessité une fréquence de prélèvement hebdomadaire et une recherche de toxines en parallèle. Rappelons que celles-ci peuvent éventuellement produire des neurotoxines ou hépatotoxines, et provoquer des cas d'intoxications par ingestion.

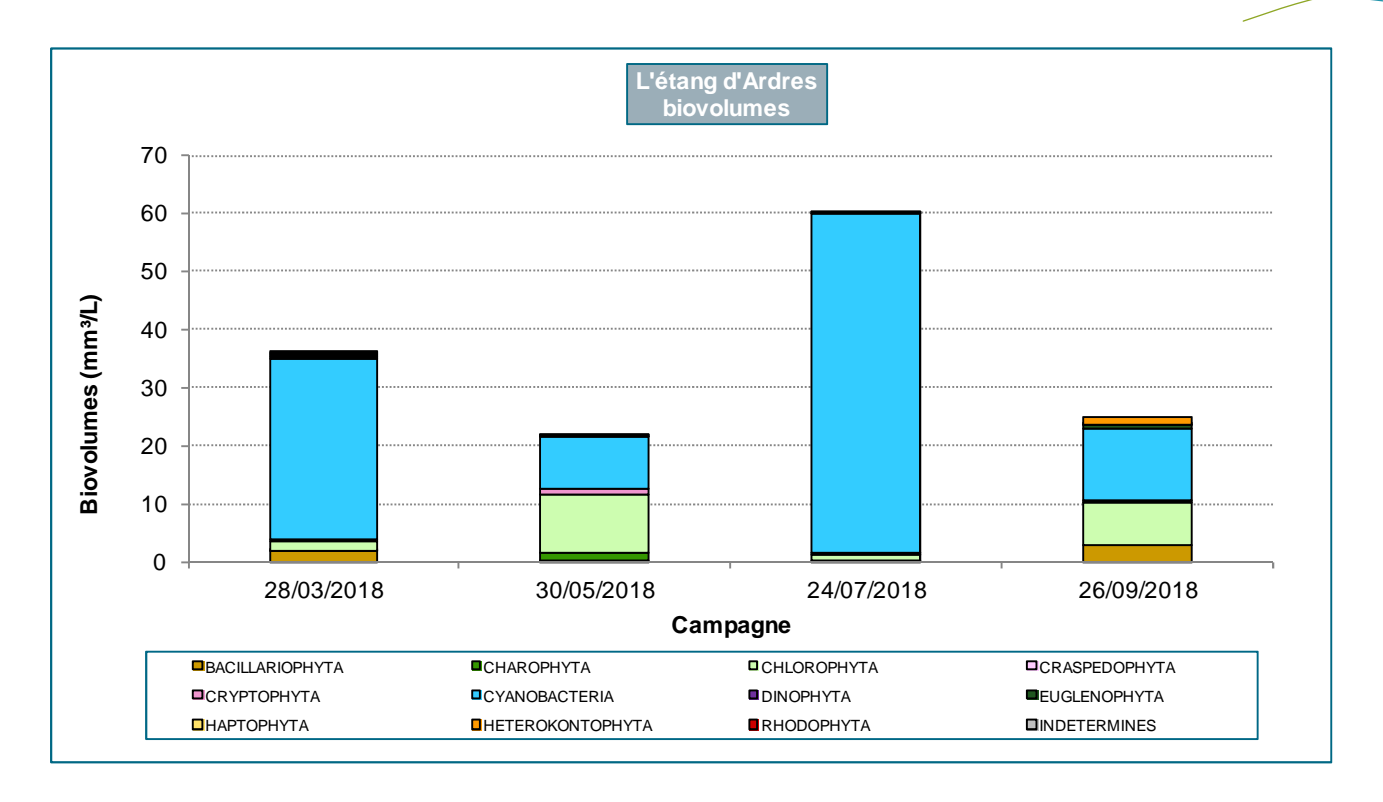
Le graphique ci-dessous présente l'évolution saisonnière des **biomasses algales** obtenues selon la proportion de chaque groupe d'algues.

⁴ La liste des espèces potentiellement toxiques est basée sur le guide de l'Afssa-Afsset « Rapport sur l'évaluation des risques liés à la présence de cyanobactéries et de leurs toxines dans les eaux destinées à l'alimentation, à la baignade et autres activités récréatives juillet 2006 ».

⁵ 20 000 cell./ml.

⁶ NOTE D'INFORMATION N° DGS/EA4/2014/166 du 23 mai 2014 relative aux modalités de recensement, d'exercice du contrôle sanitaire et de classement des eaux de baignade pour chaque saison balnéaire à compter de l'année 2014



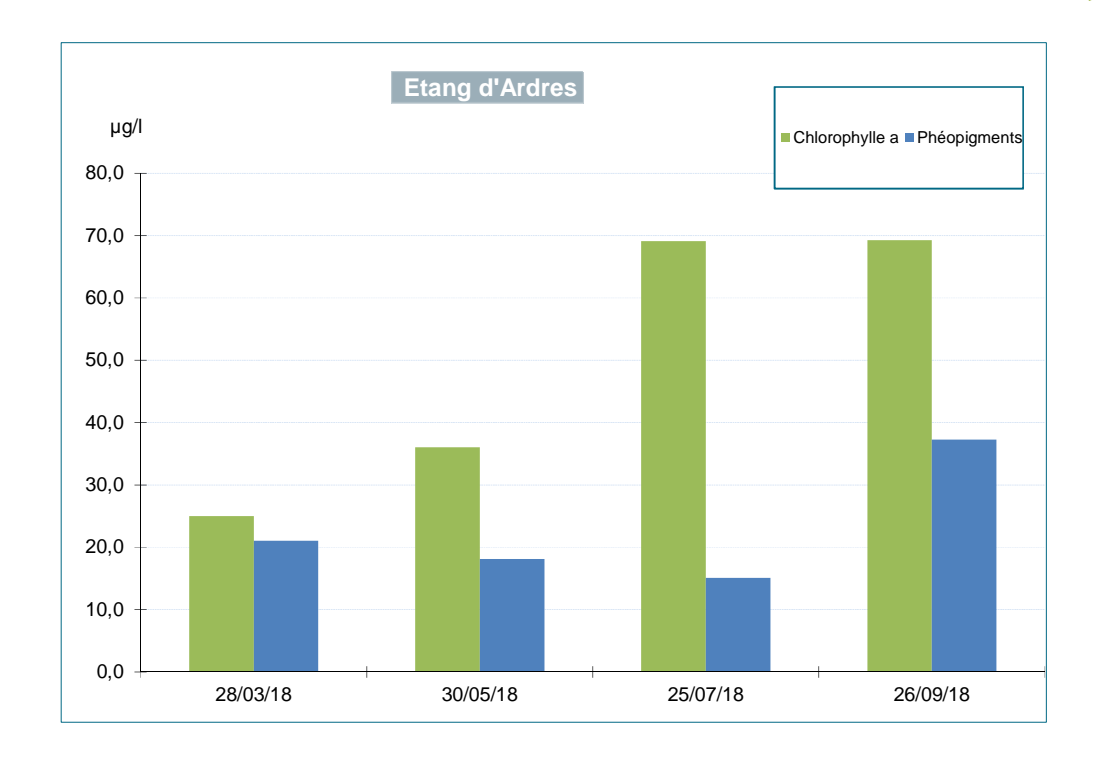


Les valeurs de biomasses algales sont très élevées, et ceci dès le printemps, et aboutissent à une moyenne annuelle de 35,7 mg/L. Ce sont bien évidemment les cyanobactéries qui représentent la plus grande proportion de la biomasse (42 à 97%) et plus particulièrement *Planktothrix agardhii* et *Limnothrix redekei*. Seule la grande chlorophycée coloniale *Pseudopediastrum boryanum* se distingue en mai, représentant alors 20% de la biomasse.

La **richesse taxonomique** est correcte en moyenne (de 48 taxons), cependant très variable d'une date à l'autre. Ainsi, la richesse est moyenne voire faible lorsque les cyanobactéries filamenteuses sont en plein développement (39 taxons en mars, 29 taxons en juillet) et qu'elles concurrencent les autres espèces, limitant ainsi leur croissance. En revanche, lorsque les concentrations en cyanobactéries diminuent considérablement, la richesse taxonomique progresse au profit des *Chlorophyta* (57 taxons en mai, 67 en septembre).

Les concentrations en **pigments chlorophylliens** ne concordent pas entièrement avec celles de biomasses algales. Sur le graphique ci-dessous, présentant l'évolution temporelle des mesures de chlorophylle *a* et de phéopigments, le pic chlorophyllien en septembre est celui qui parait le plus étonnant en comparaison avec les résultats de biomasse algale. En effet, la biomasse algale diminue de près de la moitié par rapport à juillet, alors que la chlorophylle reste dans des valeurs équivalentes pour ces deux campagnes. D'autre part, à la même date, les teneurs en phéopigments sont très élevées et démontrent une grande phase de dégradation du phytoplancton.

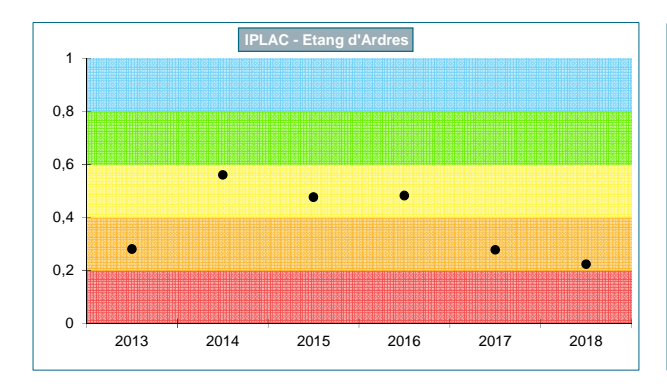


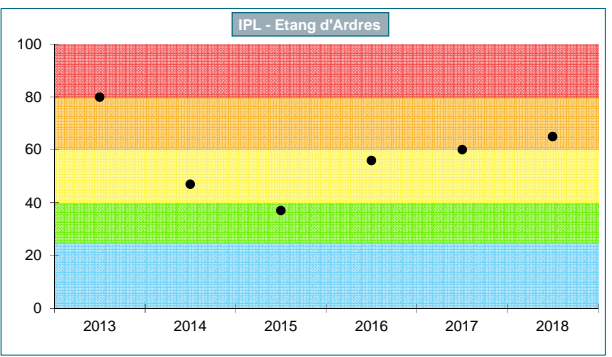


La note de **l'indice IPLAC** est de 0,223 ce qui classe le plan d'eau en état trophique **médiocre**. La note reste indicative car les paramètres de calcul ont été modifiés afin de pouvoir exécuter le calcul en changeant le seuil de % d'indéterminés de 15 au lieu de 10%.

La **note IPL** de 65, donnée à titre de comparaison, aboutit à la même classe de qualité **médiocre**. C'est la campagne de prélèvement de juillet qui augmente la note de façon considérable du fait de la grande proportion de cyanobactéries.

Les graphiques ci-dessous présentent l'évolution des deux indices IPLAC et IPL, sur les 6 années de suivi. Les deux indices évoluent de façon parallèle et présentent des résultats similaires en 2018 qui aboutissent au même statut trophique, à savoir médiocre, bien que légèrement plus pessimiste avec l'IPLAC proche de la classe mauvaise. Une dégradation du milieu est observée depuis les trois dernières années.





En conclusion, l'analyse du phytoplancton du plan d'eau d'Ardres, envahi par les cyanobactéries, témoigne d'une qualité médiocre de l'eau dont la dégradation se confirme depuis quelques années.



5.2. L'ÉTANG DE ROMELAERE (AUDOMAROIS)

Le marais Audomarois est une vaste zone de tourbière, entourée de cultures, situé près de la commune de Saint-Omer. De nombreuses mares et étangs se sont formés suite à l'exploitation de la tourbe et selon les différentes opérations de drainage et de régulation du cours d'eau. L'étang de Romelaere est une réserve naturelle depuis 2008, et fait l'objet de l'actuel suivi du phytoplancton. Aucune activité nautique n'y est pratiquée. La superficie de ce plan d'eau est de 20,8 ha, la profondeur moyenne est de 1,7 m et au maximum de 2,0 m.

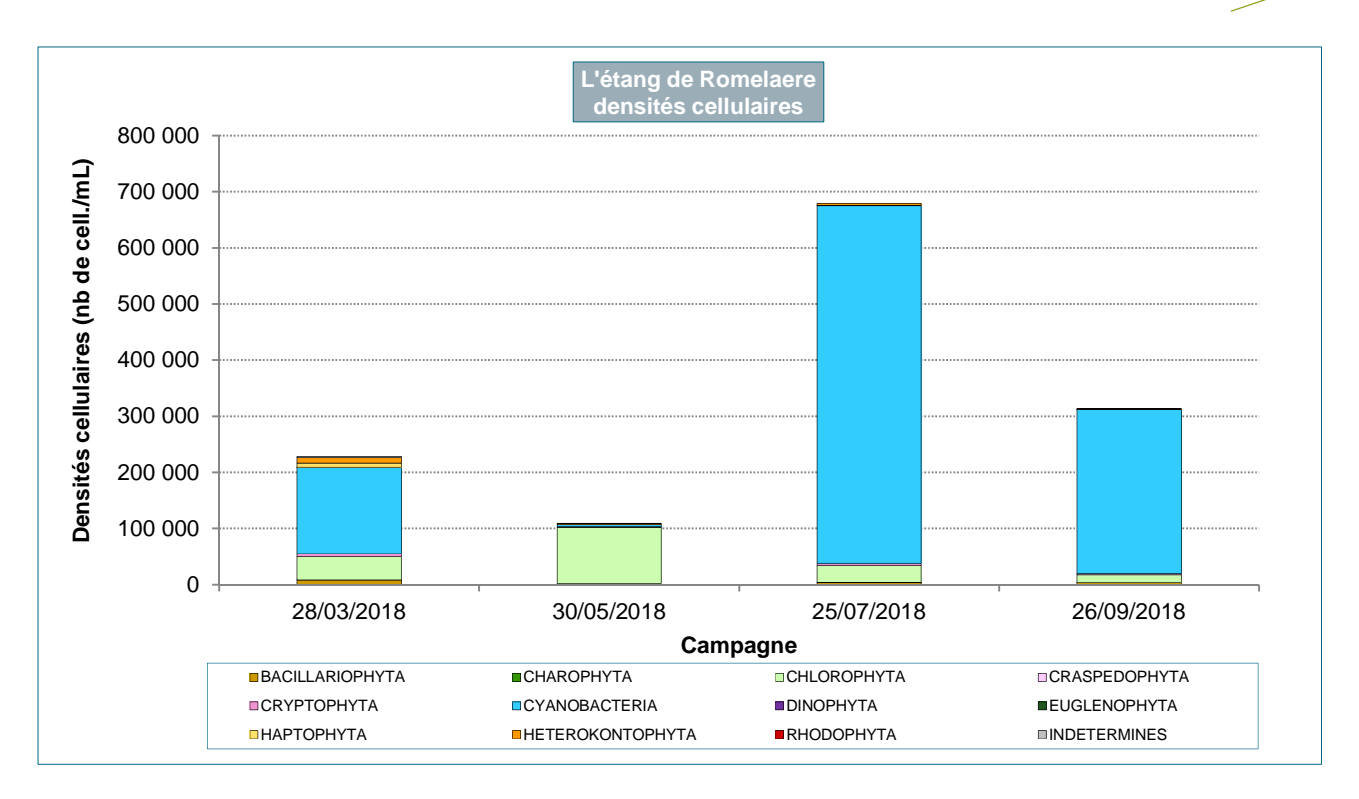
Date de prélèvement	28/03/2018	30/05/2018	25/07/2018	26/09/2018	
Concentration algale (ind./mL)	80 030	25 750	49 320	22 570	
Concentration cellulaire (cell./mL)	228 600	108 850	678 900	313 000	
Biomasse algale totale (mg/L)	12,5	19,9	44,4	22,5	
Richesse taxonomique (nb. taxons/récolte)	56	79	67	79	
Espèce dominante (% de densité cell.)	Merismopedia tenuissima (42%)	Coelastrum astroideum (31%)	Planktothrix agardhii (27%)	Planktothrix agardhii (69%)	
Chlorophylle a (µg/L)	63,0	44,9	159,0	43,3	
Phéopigments (µg/L)	38,1	46,2	41,1	23,9	
Note de l'IPLAC			0,249		
Note de l'IPL		62			

Les mesures *in situ* du profil vertical ont été réalisées sur une profondeur de 2 m (voir graphiques en fin de document, annexes 7.4). La plupart des paramètres présente une masse d'eau assez homogène. Le **pH** de l'eau est toujours nettement basique (8,1 à 9,6 en surface). La **conductivité** est assez élevée et relativement stable d'une campagne à l'autre ainsi que sur la colonne d'eau (entre 515 et 670 µS/cm). La **température de l'eau** varie de façon très importante en surface, entre mars et mai (de 8,5 à 22,6°C). Aucune thermocline n'a été mise en évidence. En revanche, une variation de **l'oxygénation** est mise en évidence en juillet à partir de 1 mètre de profondeur arrivant à une anoxie au fond de l'étang témoignant d'un manque de mélange des eaux en été. En dehors de ce phénomène, l'oxygénation reste correcte sauf en mai où les valeurs enregistrées sont faibles (5,1 mgO₂/l et 59%).

La **transparence**, comprise entre 0,2 et 0,6 m, est toujours faible voire très faible, la zone euphotique est alors très peu profonde.

Le graphique ci-dessous présente l'évolution saisonnière des **concentrations cellulaires** selon la proportion de chaque groupe d'algues.





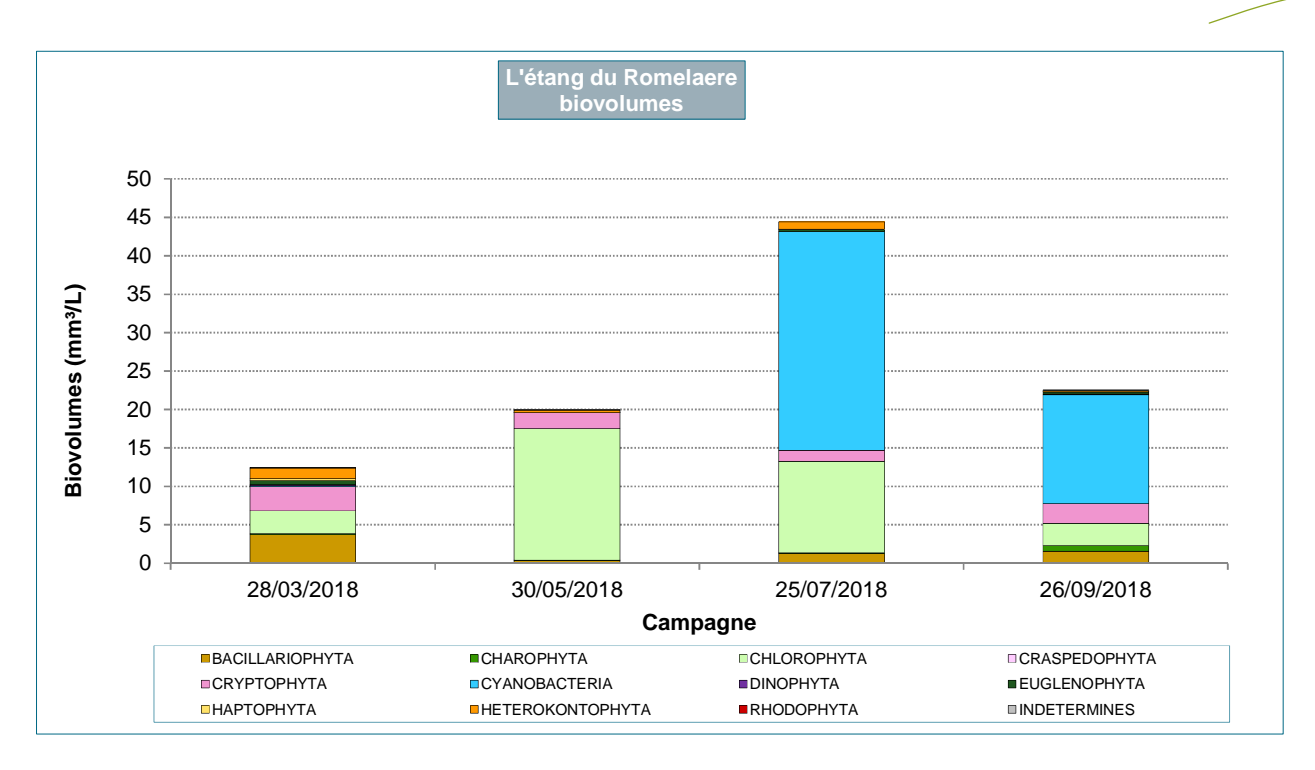
Les valeurs de concentrations cellulaires sont élevées et ceci dès le printemps (près de 228 600 cell./mL en mars). En revanche, fin mai, la concentration phytoplanctonique est divisée par deux ce qui correspond à la phase d'eau claire. Durant la période estivale, la dynamique de la communauté algale redevient très importante avec un pic très élevé en juillet (~679 000 cell./mL). Celle-ci diminue de nouveau très nettement en septembre, bien que la concentration soit encore très élevée (313 000 cell./mL).

La composition du peuplement phytoplanctonique est essentiellement basée sur les cyanobactéries hormis en mai qui est généralement la période de broutage par le zooplancton. En effet, le 30 mai, ce sont presque uniquement les chlorophycées qui dominent (92%) dont en particulier *Coelastrum astroideum* (31%) et de nombreuses espèces de *Desmodesmus/Scenedesmus* (26%). Ces taxons sont généralement caractéristiques de lacs peu profonds et très enrichis en nutriments. Pour les autres campagnes, les cyanobactéries sont majoritaires en termes de nombre de cellules (67 à 94%). En mars, ce sont deux espèces de *Merismopedia* qui composent 64% de la densité cellulaire (*M. tenuissima* et *M. warmingiana*). Ce sont des taxons qui préfèrent généralement des eaux moyennement riches et plutôt fraiches. Elles disparaissent presque complètement aux dates suivantes lorsque les eaux se réchauffent. En revanche, en juillet, lorsque le pic de concentration cellulaire est atteint, ce sont principalement des espèces filamenteuses, très peu impactées par le broutage du zooplancton, qui se développent, notamment *Planktothrix agardhii*, *Dolichospermum flos-aquae*, *Pseudanabaena galeata* et *Planktolyngbya cf. minor*. En septembre, la dominance des cyanobactéries perdurent (94%) notamment avec la prépondérance évidente de *Planktothrix agardhii* (69%).

Signalons que parmi les taxons observés, quelques espèces appartiennent aux cyanobactéries potentiellement toxiques (*Planktothrix agardhii, Dolichospermum flos-aquae...*). Leurs concentrations sont particulièrement importantes en juillet et en septembre (respectivement 328 300 et 221 400 cell./mL). Le seuil d'alerte est donc largement dépassé pour ce plan d'eau.

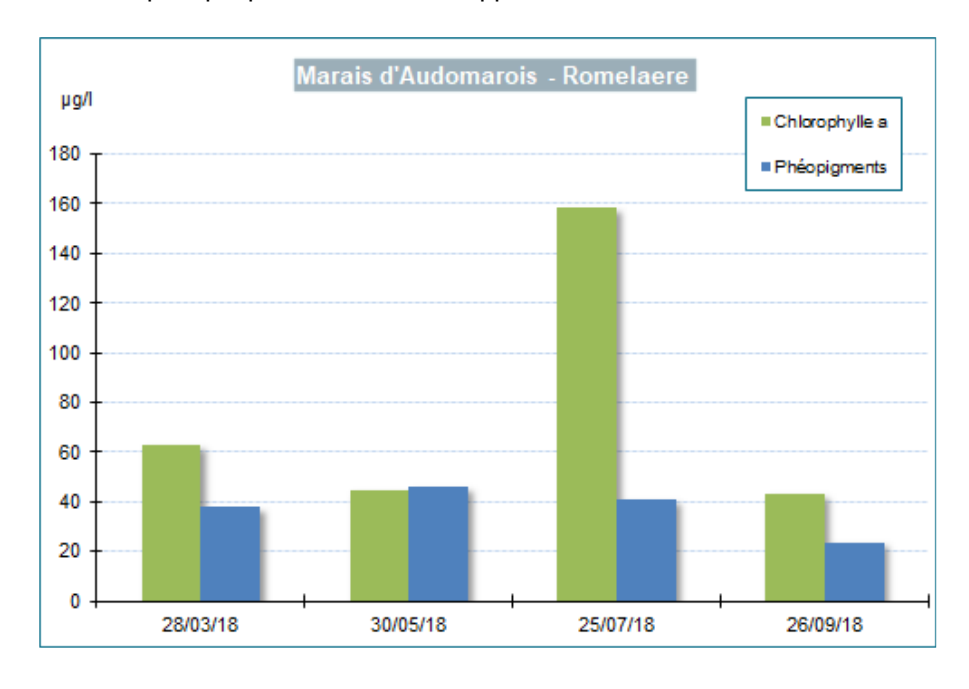
Le graphique ci-dessous présente l'évolution saisonnière des **biomasses algales** obtenues selon la proportion de chaque groupe d'algues.





La moyenne annuelle de la biomasse algale est élevée (25 mg/L) avec notamment un pic très élevé de près de 45 mg/L observé le 25 juillet. En mars, différents groupes d'algues participent à une biomasse déjà assez importante pour la saison (12,5 mg/L). En mai, ce sont principalement les *Chlorophyta* qui constituent la biomasse algale (86%) dont *Pseudopediastrum boryanum* (18%), *Coelastrum astroideum* (12%) et plusieurs espèces de *Desmodesmus* (*D. communis*, *D. subspicatus....* 33%). En été, ce sont bien évidemment les cyanobactéries qui dominent (63 à 64%) avec principalement les espèces filamenteuses déjà citées, toutes étant de grandes tailles (surtout *Dolichospermum flos-aquae* en juillet et *Planktothrix agardhii* en juillet et septembre).

La **richesse taxonomique** est toujours importante quelle que soit la campagne (moyenne annuelle élevée de 70 espèces) malgré la très forte dominance de quelques espèces. Elle est très importante aussi bien lors de la phase d'eau claire (en mai) qu'en fin d'été (en septembre). Les *Chlorophyta* sont particulièrement diversifiés surtout en mai puisque plus de 50 taxons appartiennent à cet embranchement.

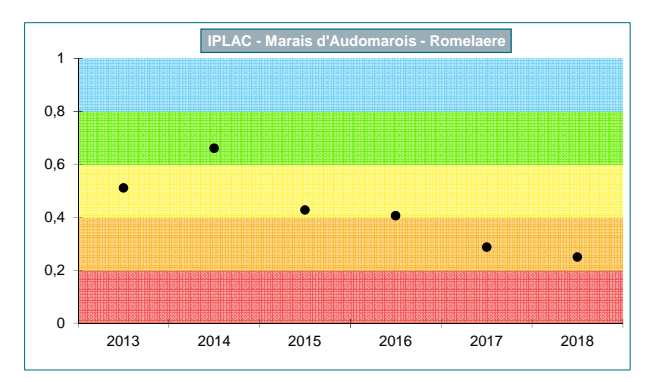


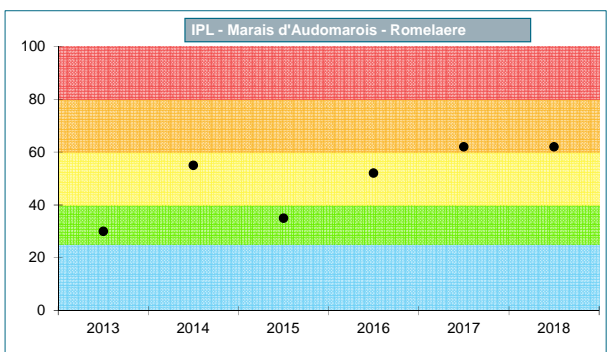


L'évolution saisonnière des **pigments chlorophylliens** concorde avec celle des biomasses algales. En effet, le pic de chlorophylle *a* se situe en juillet parallèlement à celui de la biomasse. Les autres dates présentent un taux de phéopigments presque équivalent à la chlorophylle *a* ce qui démontre une vitalité moyenne du développement algal (matière vivante = matière morte).

La note de **l'indice IPLAC** de 0,249 traduit un état trophique **médiocre** du plan d'eau. L'abondance des cyanobactéries, en particulier *Limnothrix redekei* et *Planktothrix agardhii*, dont la cote spécifique est faible, diminue fortement la note,. La note de **l'IPL** est de 62 et confirme ce diagnostic.

Les graphiques ci-dessous présentent l'évolution des deux indices IPLAC et IPL, sur les 6 années de suivi. Leurs résultats coïncident assez bien sur les trois dernières années et aboutissent tous les deux à un statut trophique **médiocre** en 2018 bien que légèrement plus pessimiste en tenant compte uniquement de l'IPLAC.





En conclusion, l'analyse du phytoplancton de ce plan d'eau témoigne d'une qualité de l'eau très dégradée, de classe médiocre, et d'un milieu **très eutrophe** dans lequel les cyanobactéries se développent favorablement en période estivale.

5.3. LA MARE À GORIAUX

Cette mare, située dans la forêt domaniale de Raismes-St-Amand (département 59), est classée en réserve biologique domaniale depuis 1982. Ce plan d'eau est suivi pour l'intérêt de la recolonisation par la flore et la faune du terril de la Mare. Il s'est formé artificiellement par creusement en lit majeur d'un cours d'eau, après affaissement de terrain suite à l'exploitation minière très intensive (charbon). Il est d'une superficie totale de 78 ha, et de faible profondeur (moyenne 1 m et maximum 1,3 m).

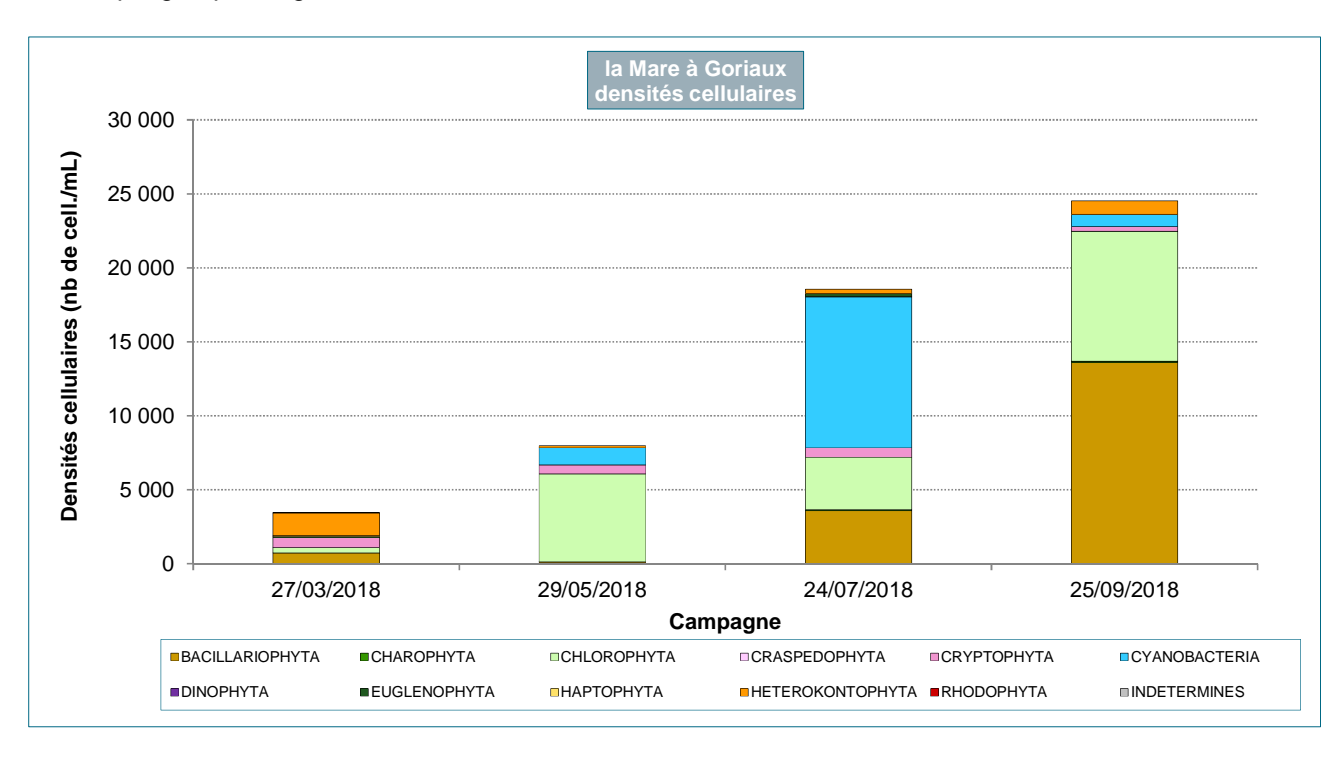
Date de prélèvement	27/03/2018	29/05/2018	24/07/2018	25/09/2018
Concentration algale (ind./mL)	3 400	1 970	6 720	16 960
Concentration cellulaire (cell./mL)	3 430	7 980	18 560	24 520
Biomasse algale totale (mg/L)	1,8	0,9	5,3	3,9
Richesse taxonomique (nb. taxons/récolte)	34	38	61	42
Espèce dominante (% de densité cell.)	Chrysophycées indéterminées (31%)	Hindakia cf. tetrachotoma (48%)	Merismopedia tenuissima (33%)	Aulacoseira pusilla (30%)
Chlorophylle a (µg/L)	7,3	2,6	14,2	12,4
Phéopigments (µg/L)	5,1	6,0	6,0	32,2
Note de l'IPLAC			0,723	
Note de l'IPL		44		



Les mesures *in situ* du profil vertical, présentent une masse d'eau assez homogène, ce qui est peu étonnant étant donné la faible profondeur de la mare (voir graphiques en fin de document). Le **pH** est basique et stable (de 8,2 à 8,6). Les mesures de **conductivité** sont particulièrement élevées (autour de 910 μ S/cm en mai jusqu'à près de 1280 μ S/cm en juillet) témoignant d'une eau très minéralisée. Ce plan d'eau se situe dans un environnement particulièrement acide (substrat sableux), avec une tendance à la pollution organique, et subit l'impact de la salinité (lessivage du terril entre autre). La **température de l'eau** augmente très rapidement au printemps passant de 8,9°C en mars à 24,5°C en mai en surface, puis subit un réchauffement à partir de 50 cm de profondeur en juillet. **L'oxygénation** est très variable au cours des saisons : correcte en mars (11 mgO₂/L), faible en mai (5,1 mgO₂/L et 61% de saturation), moyenne en juillet et septembre (8,0 mgO₂/L). D'autre part, signalons que l'oxygénation n'est pas homogène en été avec une chute vers le fond (1,9 mgO₂/L en juillet et 3,2 mgO₂/L en septembre).

La **transparence** de l'eau, comprise entre 0,7 et 1 m, est moyenne. La zone euphotique est donc assez limitée, la profondeur n'étant que d'environ 1,3 m au maximum.

Le graphique ci-dessous présente l'évolution saisonnière des **concentrations cellulaires** selon la proportion de chaque groupe d'algues.



La dynamique saisonnière du peuplement phytoplanctonique présente une augmentation lente et régulière des concentrations cellulaires au cours de l'année. En mars, le phytoplancton, en dessous de 3 500 cell./mL, reste discret ; en mai, le peuplement s'enrichit progressivement principalement avec les chlorophycées ; puis en juillet, les cyanobactéries s'installent contribuant ainsi à l'augmentation régulière des concentrations cellulaires. Enfin, en septembre, le phytoplancton continue sa progression et atteint le pic annuel proche de 25 000 cell./mL, grâce surtout à la contribution des diatomées.

La **composition du peuplement phytoplanctonique** est très variable d'une campagne à l'autre. En mars, les chrysophycées sont nettement dominantes (45%) avec notamment une algue flagellée⁷ qui domine à près d'un tiers la concentration cellulaire. En mai, ce sont les chlorophycées composés d'algues pluricellulaires (*Hindakia* cf. *tetrachotoma* 48% et *Crucigenia tetrapedia* 11%) qui prennent le relai. En période estivale, de petites cyanobactéries coloniales, *Merismopedia tenuissima* et *Cyanogranis* sp. (53%), s'installent abondamment. Alors que la température de l'eau diminue nettement en septembre (14,4 °C), les diatomées redeviennent majoritaires (56%) et en particulier *Aulacoseira pusilla* (30%).

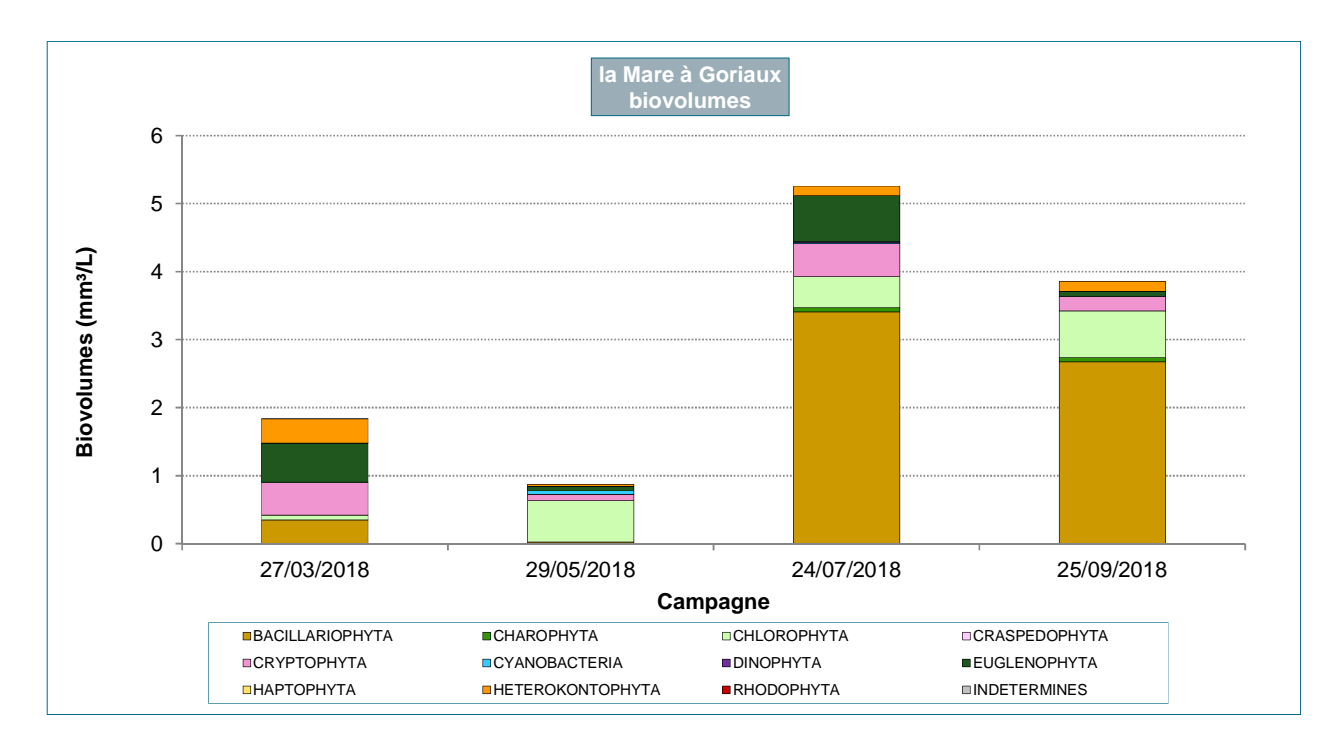
-

⁷ Non identifiée précisément.



La concentration en **cyanobactéries potentiellement toxiques** est très faible en juillet, atteignant à peine 1 000 cell./mL.

Le graphique ci-dessous présente l'évolution saisonnière des **biomasses algales** obtenues selon la proportion de chaque groupe d'algues.

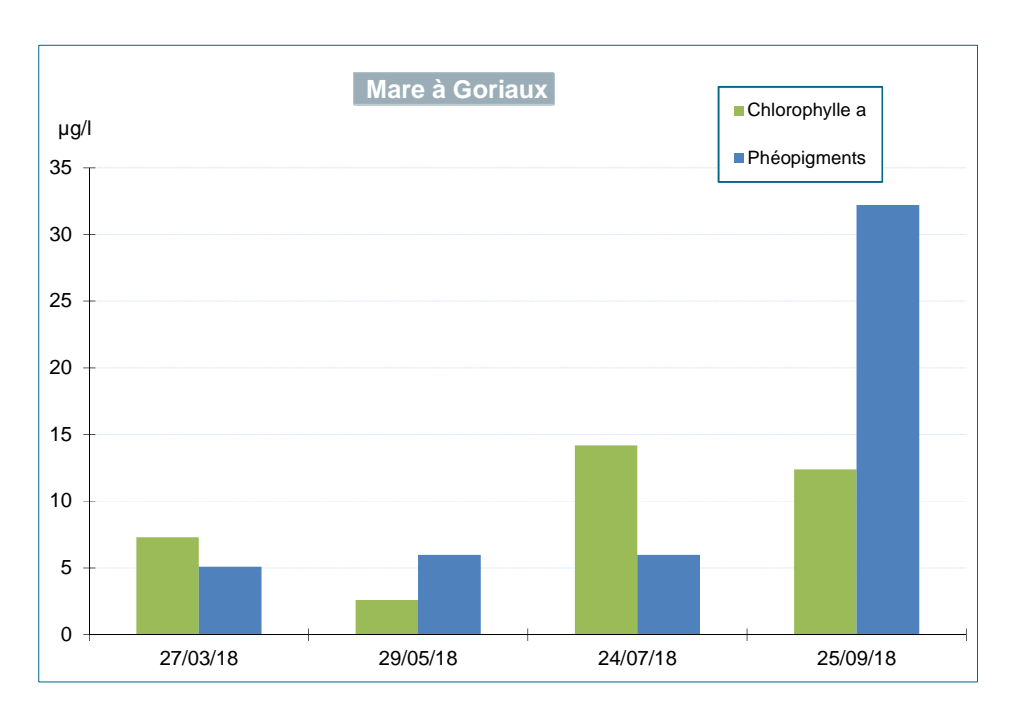


La biomasse algale est globalement faible (0,9 à 5,3 mg/L), notamment en mai lors de la phase d'eau claire. Le phytoplancton se développe principalement en juillet grâce en majorité aux diatomées centriques (65% de la biomasse) dont les espèces *Cyclotella scaldensis*, *Cyclostephanos dubius* et *Cyclotella meneghiniana*. Notons que l'espèce *Cyclotella scaldensis* est considérée comme liée à des milieux salins voire marins. En septembre, les diatomées centriques sont toujours nettement dominantes (69%) avec principalement *Cyclostephanos dubius* (31%) et une autre diatomée qui se développe uniquement à cette date : *Aulacoseira pusilla* (18%).

La **richesse taxonomique** est très variable tout comme le peuplement phytoplanctonique. La moyenne annuelle est assez correcte (44 taxons) mais cette richesse varie de 34 taxons en mars à 61 taxons en juillet. D'autre part, signalons que tous les groupes d'algues sont représentés dans le peuplement.

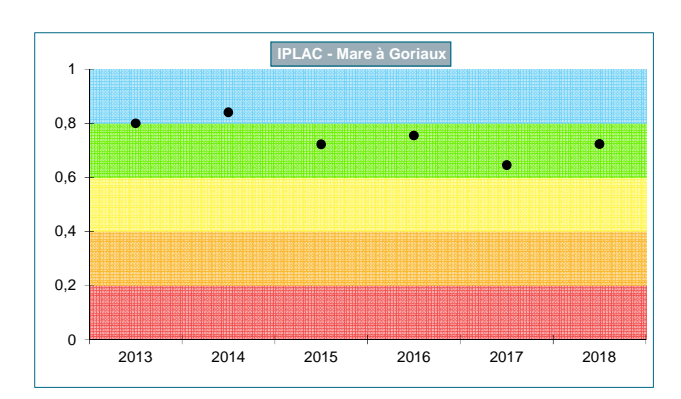
Les teneurs en **pigments chlorophylliens**, assez faible en mars et mai, puis moyenne en juillet et septembre, suivent une évolution temporelle similaire à celle de la biomasse. En septembre, la valeur de phéopigments, 2,5 fois plus élevée que celle de la chlorophylle *a,* est plus étonnante. Ce phénomène traduit une période de forte dégradation du phytoplancton, plus conséquente que sa croissance, et donc un état déséquilibré du milieu (matière morte > matière vivante).

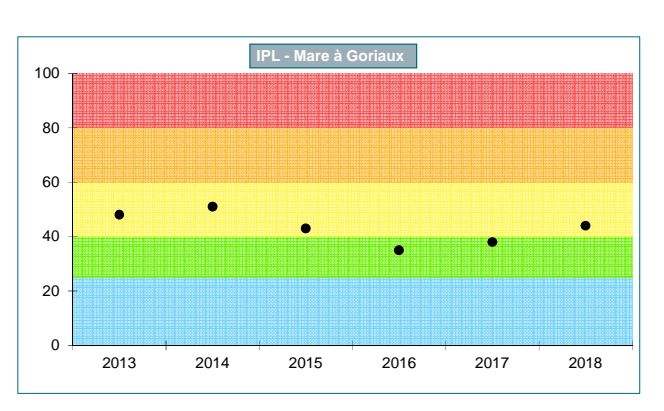




Quant à l'indice **IPLAC**, la note obtenue est de 0,723 plaçant ainsi le plan d'eau en classe d'état « **bonne** ». La note de **l'IPL** est légèrement plus pessimiste (= 44), atteignant ainsi la classe « moyenne », en limite inférieure de la classe « bonne ».

Les graphiques ci-dessous présentent **l'évolution des deux indices**, sur les 6 années de suivi, et les résultats sont un peu différents. En effet, l'IPLAC indique une classe très bonne en 2013 et 2014 puis une légère dégradation en classe bonne à partir de 2015 jusqu'à 2018. A l'inverse, l'IPL indique plutôt une classe médiocre puis bonne en 2016 et 2017. L'évolution de la qualité de l'eau sur les 6 ans est faible et les différences entre les années sont peu marquées.





En conclusion, l'analyse du phytoplancton de ce plan d'eau, assez peu productif en biomasse algale et peu envahi par les cyanobactéries, témoigne en 2018 d'une bonne qualité de l'eau.

5.4. L'ÉTANG DU VIGNOBLE

Ce plan d'eau, d'une superficie d'environ 52 ha, possède une profondeur maximale de 3,3 m et une profondeur moyenne de 1,6 m. Il est longé par l'Escaut, en pleine ville de Valenciennes, et est utilisé pour des activités nautiques et la pratique de la pêche.



Date de prélèvement	27/03/2018	29/05/2018	24/07/2018	25/09/2018
Concentration algale (ind./mL)	62 500	5 800	13 650	2 350
Concentration cellulaire (cell./mL)	63 000	6 800	48 200	9 550
Biomasse algale totale (mg/L)	7,0	2,9	3,6	3,5
Richesse taxonomique (nb. taxons/récolte)	14	33	54	29
Espèce dominante (% de densité cell.)	Chrysochromulina parva (88%)	Ankyra judayi (33%)	Dictyosphaerium subsolitarium (58%)	Microcystis sp. (66%)
Chlorophylle a (µg/L)	6,5	11,3	12,3	9,1
Phéopigments (µg/L)	14,8	6,0	5,6	7,4
Note de l'IPLAC			0,611	
Note de l'IPL	49			

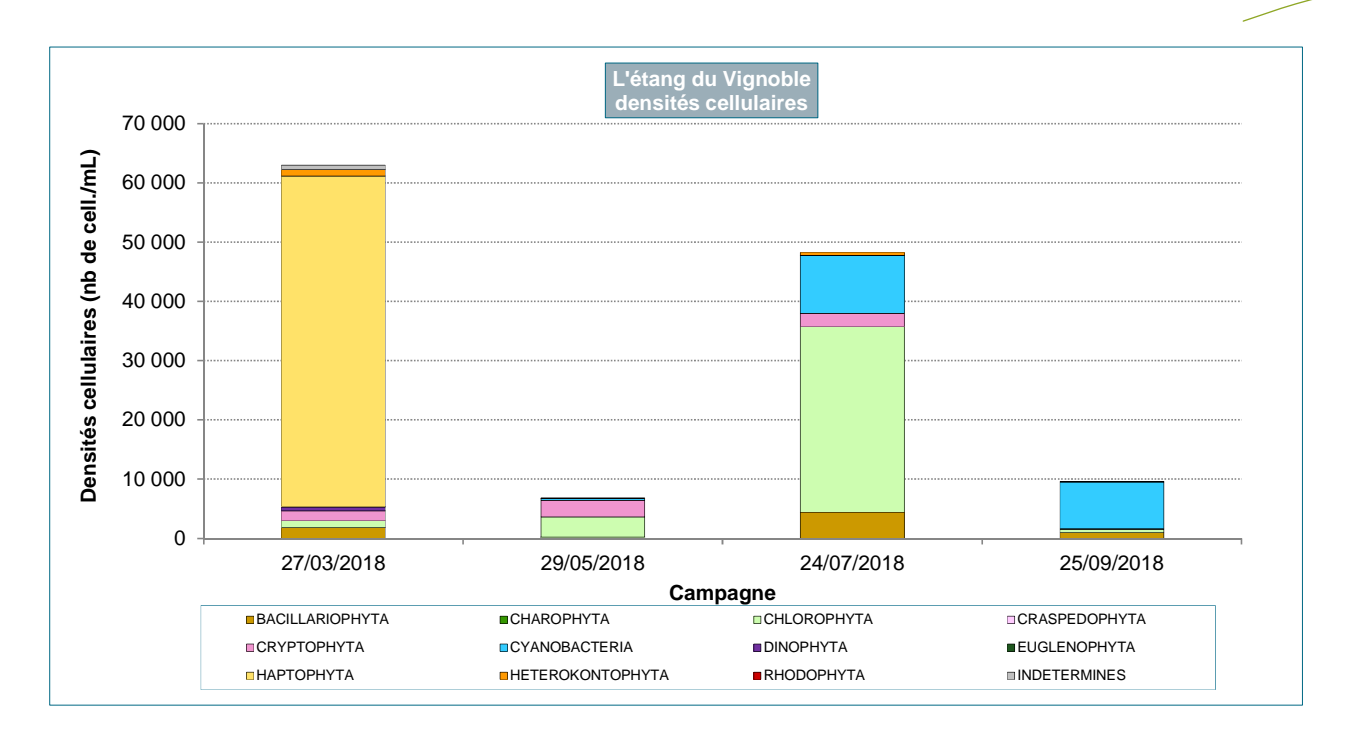
Notons une période perturbée lors de la campagne de mai avec un épisode orageux la veille du prélèvement.

Les **mesures** *in situ* du profil vertical ont été réalisées sur 2,5 m maximum. La masse d'eau est assez homogène sans variations longitudinales visibles des paramètres sauf en été. Le **pH**, variant de 8 à 8,5, est assez stable et basique. La **conductivité** varie assez peu (autour de 550 μ S/cm) sauf en juillet où les valeurs sont les plus élevées (690 μ S/cm). La **température** de l'eau en surface du plan d'eau est fraiche au printemps, en revanche, elle augmente très rapidement en mai (24,0°C) et reste presque identique en juillet (24,5°C). En septembre, la température diminue lentement à 15,8°C. **L'oxygénation** du plan d'eau est correcte en mars et juillet mais insuffisante en mai et septembre (autour de 5,0 mgO₂/L). D'autre part, il existe une variation dans la colonne d'eau en juillet avec une première chute de l'oxygène dissous à 1 m (3,8 mgO₂/L), puis à 2 m (4,1 mgO₂/L).

La **transparence** de l'eau est très variable (entre 0,7 et 2,2 m), la valeur la plus élevée étant observée en mai d'où une zone euphotique supérieure (5,5 m en théorie) à la profondeur du plan d'eau (3,3 m). Ceci correspond à la période dite des « eaux claires », c'est-à-dire à la phase de transition entre la phase de croissance printanière et estivale (chute de production algale souvent causée par le broutage du zooplancton).

Le graphique ci-dessous présente l'évolution saisonnière des **concentrations cellulaires** selon la proportion de chaque groupe d'algues.





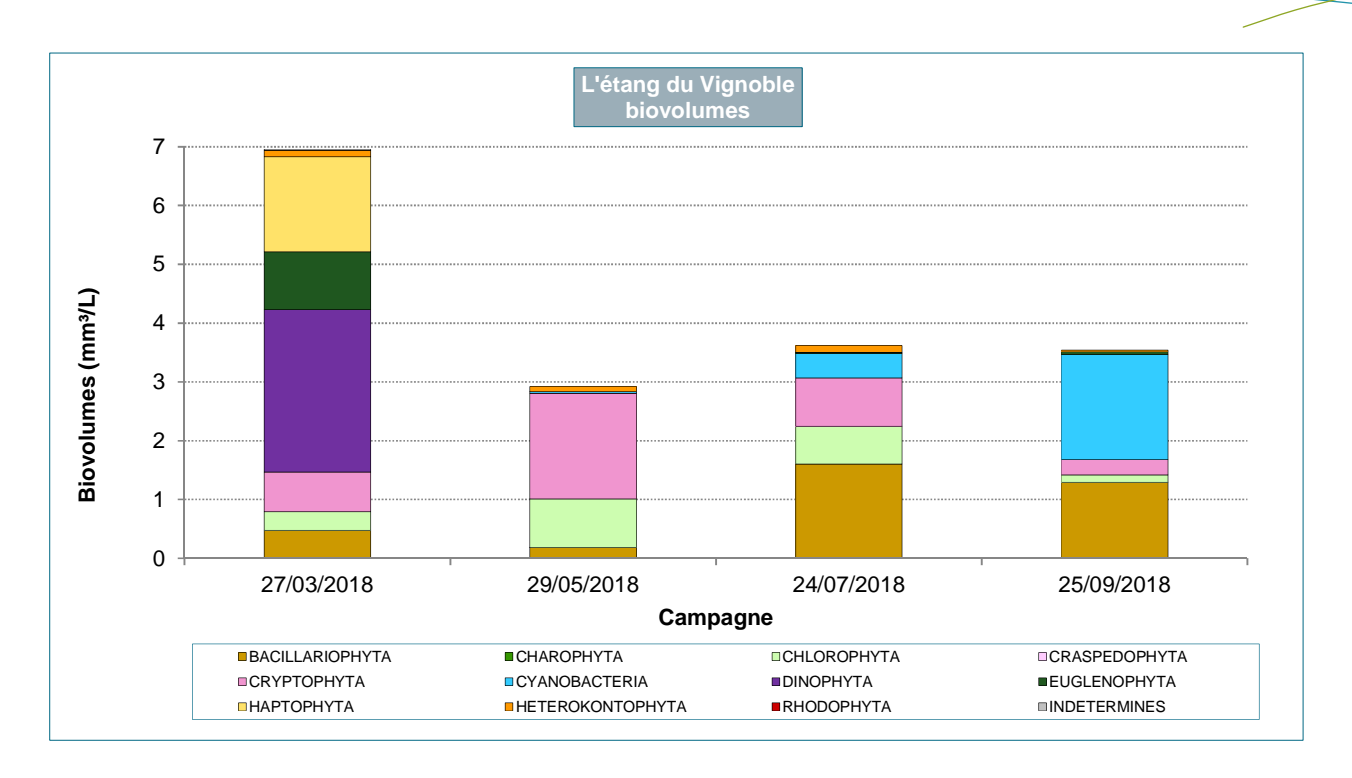
Etonnamment, comme en 2017, ce sont les concentrations cellulaires de fin d'hiver qui sont les plus élevées parmi les 4 campagnes. En mai, comme l'indique également la transparence (2,2 m), la production algale est faible. En juillet, les concentrations cellulaires augmentent de façon importante, en particulier avec une espèce très majoritaire, *Dictyosphaerium subsolitarium* (58%, algue verte coloniale). En fin d'été, la densité cellulaire diminue fortement ; cependant, les cyanobactéries, ayant alors pris le relai, sont désormais très abondantes (82%).

La **composition du peuplement** parait assez atypique puisque la plupart des espèces dominantes ne perdurent pas d'une campagne à l'autre. En mars, le peuplement est très nettement dominé par une petite flagellée, *Chrysochromulina parva* (*Haptophyta*) à 88% de la densité cellulaire. En mai, lors de la phase d'eau claire, la répartition se fait pour un tiers entre une petite algue verte, *Ankyra lanceolata* (33%), et différentes cryptophycées (41%). En juillet, le peuplement se diversifie nettement (54 taxons) surtout parmi les chlorophycées, *Dictyosphaerium subsolitarium* représente alors plus de la moitié de la concentration cellulaire. En septembre, l'algue principale appartient au genre *Microcystis* (cyanobactérie) mais son état de conservation n'a pas permis d'aboutir à une espèce avec certitude. Cependant, elle reste associée aux **espèces potentiellement toxiques** et sa concentration est de presque 6 300 cell./mL. Cette densité reste modérée mais suffisante pour être à surveiller dans les prochains suivis.

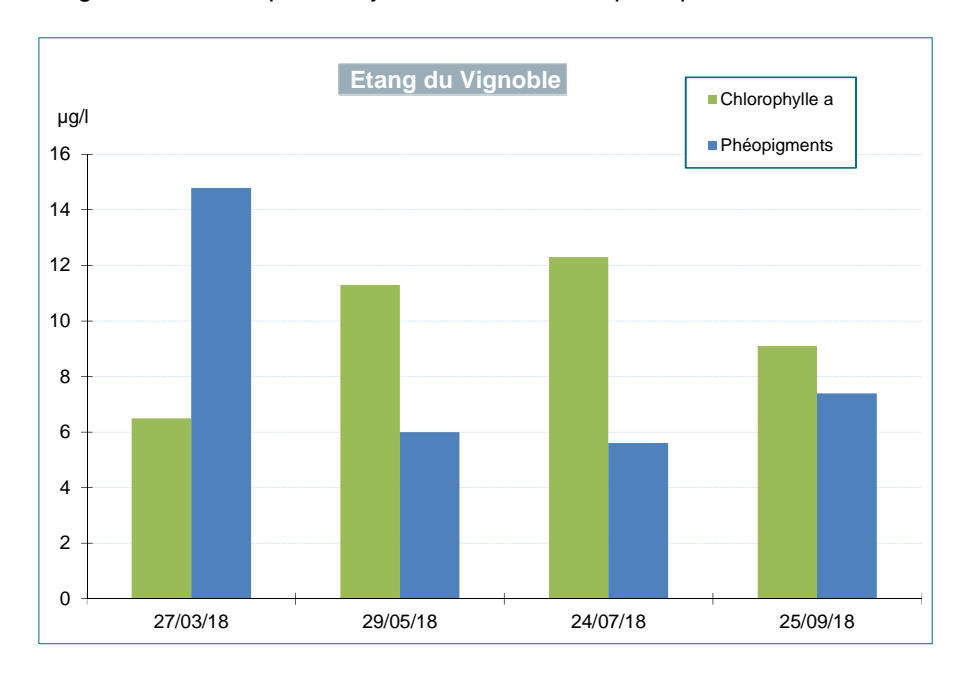
Le graphique ci-après présente l'évolution saisonnière **des biomasses algales** obtenues selon la proportion de chaque groupe d'algues.

L'évolution temporelle de la biomasse algale est peu importante et ne présente qu'un léger pic au printemps, qui ne se reproduit pas ensuite. En mars, la répartition des groupes algaux selon leur biovolume est peu habituelle puisque les *Dinophyta* sont majoritaires (40%) suivi par les *Haptophyta* (*Chrysochromulina parva* unique représente à 23%) puis les euglènes (14%). Lors des trois campagnes suivantes, la biomasse reste assez faible (2,9 à 3,6 mg/L). Successivement, ce sont les Cryptophycées qui dominent en mai (61%), les diatomées dont les centriques (27%) en juillet, puis les cyanobactéries en septembre (*Microcystis* sp. 47%) accompagnées de la diatomée centrique *Aulacoseira granulata* (36%).





La **richesse taxonomique** est peu élevée en moyenne (33 taxons identifiés). Elle est d'abord très faible au printemps avec à peine une quinzaine de taxons au moment du pic de biomasse. En mai, malgré une concentration cellulaire modérée, la diversité augmente tout en demeurant moyenne (33 taxons), puis devient maximale en juillet (54 taxons) lorsque les chlorophycées se développent. En septembre, la richesse du peuplement, largement dominé par les cyanobactéries, n'est plus que de 29 taxons.

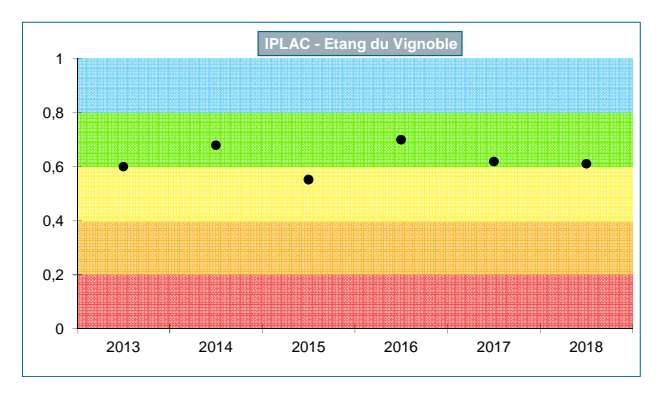


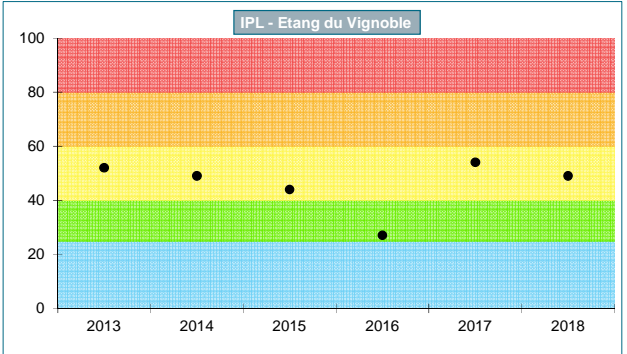
L'évolution des **pigments chlorophylliens** présente une similitude avec les biomasses algales. Globalement, la somme des pigments chlorophylliens (chlorophylle a + phéopigments) est peu variable (entre 16,5 et 21,3 μ g/L). Le maximum se situe en mars lorsque *Chrysochromulina parva* domine. Cependant, il faut noter qu'il s'agit surtout d'une concentration élevée en phéopigments, nettement supérieure à celle de la chlorophylle a, ce qui témoigne d'une phase décroissante de la vitalité du phytoplancton à cette période.



Quant à l'indice **IPLAC**, la note obtenue de 0,611 place le plan d'eau en limite inférieure de classe d'état « **bonne** ». La note de **l'IPL** de 49 est légèrement plus pessimiste en atteignant la classe « moyenne ». Notons que pour effectuer le calcul de l'IPLAC, nous avons dû intervenir sur les paramètres de contraintes afin de pouvoir intégrer un pourcentage de genres plus important (36 % au lieu de 30%).

Les graphiques ci-dessous présentent **l'évolution des deux indices**, sur les 6 années de suivi. Ceux-ci présentent des résultats différents puisque l'IPLAC indique une classe bonne, hormis en 2015 où elle est moyenne, alors que l'IPL indique plutôt une classe moyenne, sauf en 2016 où à l'inverse l'indice indique une classe bonne.





En conclusion, l'évolution de la qualité de l'eau de ce plan d'eau est assez stable depuis 6 ans, et l'analyse du phytoplancton témoigne, via l'IPLAC, d'une bonne qualité de l'eau.

5.5. LE LAC DU VAL JOLY

Ce réservoir artificiel, créé en 1966, est le plus grand et le plus profond des 5 plans d'eau suivis (superficie de près de 110 ha, profondeur moyenne de 3,3 m et maximale de 7,9 m). Il est situé dans une zone boisée de la vallée de l'Helpe Majeure. Ce lac très touristique sert à de nombreuses activités nautiques et à la pêche. Il est suivi depuis très longtemps au niveau de la faune et de la flore, et a présenté fréquemment des efflorescences algales importantes dont les cyanobactéries sont devenues habituelles.

Les campagnes de prélèvements ont été effectuées au même titre que les autres plans d'eau, cependant lors de la dernière campagne, en septembre, suite à un oubli d'ajout de conservateur, l'échantillon n'a pas pu être traité dans les conditions normales de conservation. En revanche, les analyses des pigments chlorophylliens ont pu être réalisées.

Date de prélèvement	27/03/2018	29/05/2018	24/07/2018	25/09/2018
Concentration algale (ind./mL)	11 300	6 300	30 000	
Concentration cellulaire (cell./mL)	11 500	9 800	647 800	
Biomasse algale totale (mg/L)	2,6	2,6	51,8	
Richesse taxonomique (nb. taxons/récolte)	39	66	40	
Espèce dominante (% de densité cell.)	Chrysochromulina parva (33%)	Chrysochromulina parva (21%)	Aphanizomenon klebahnii (77%)	
Chlorophylle a (µg/L)	14,0	12,7	144,0	11,9
Phéopigments (µg/L)	5,7	7,3	20,7	48,7
Note de l'IPLAC		0,43		
Note de l'IPL		52		

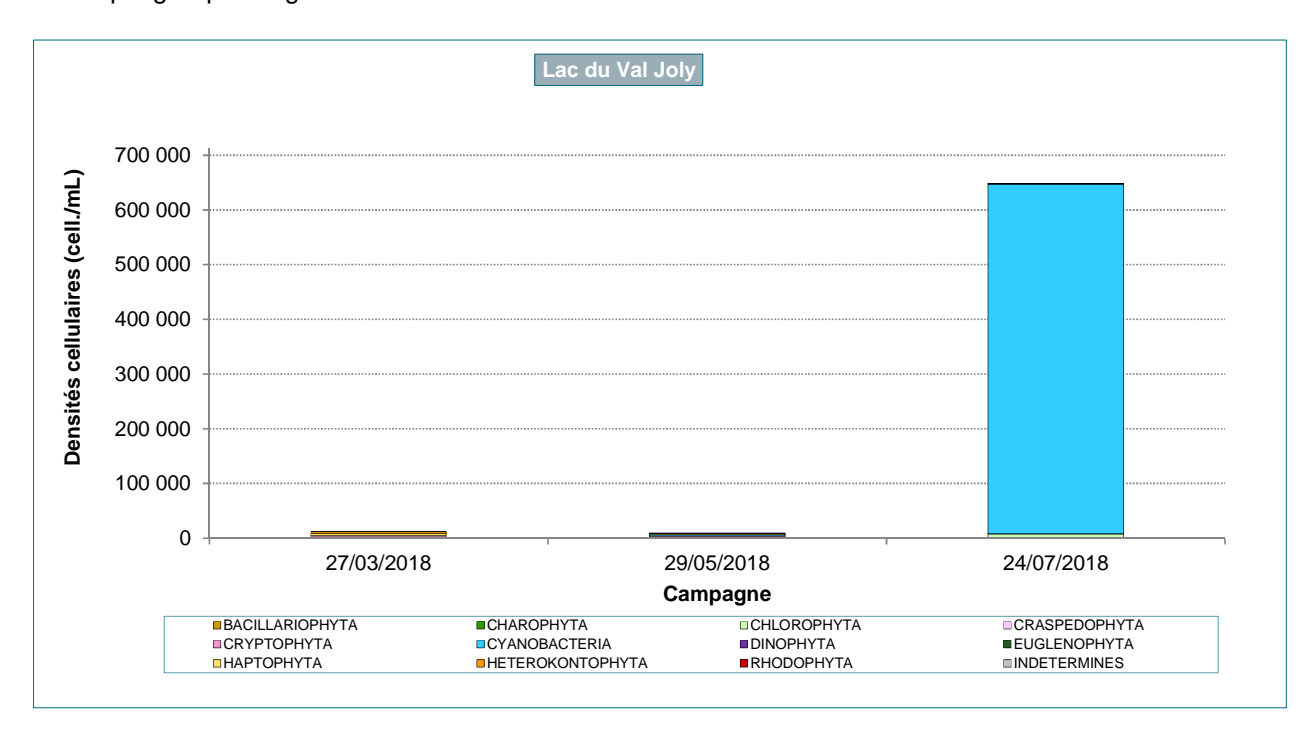


Les mesures *in situ* du profil vertical ont été effectuées jusqu'à 4 voire 5,5 m de profondeur, ce qui est plus profond que dans les autres plans d'eau. Les mesures des relevés *in situ* sont assez variables d'une campagne à l'autre. Le pH est toujours basique et augmente particulièrement en mai avec des valeurs de 9,8 en surface. Ce phénomène est peut-être à relier à une **conductivité** assez faible (202 à 283 μS/cm). Une légère augmentation de la minéralisation en mai vers le fond est observée (élévation de 50 μS /cm). La température de l'eau varie rapidement en surface et en profondeur au cours des 4 campagnes. Elle est d'abord faible et stable en mars (6,5°C en surface), tandis que dès le mois de mai elle augmente considérablement en surface et diminue vers le fond (23,5°C en surface puis 15,2°C à 5,5 m). Elle continue d'augmenter en juillet et atteint 26,6°C en surface et diminue progressivement en profondeur pour atteindre 22,1°C à 4,2 m. L'oxygénation de l'eau est très variable, elle est d'abord correcte en mars, moyenne en mai, en sursaturation en juillet et moyenne en septembre.

En mai et juillet, la colonne d'eau est marquée par un déséquilibre avec une baisse de l'oxygénation, de la température et une augmentation de la conductivité. En septembre, la colonne d'eau est très homogène puisque tous les paramètres sont très stables.

La **transparence de l'eau**, comprise entre 0,3 et 1,7 m, est très variable. Le maximum est observé au mois de mai, lors de la période d'eau claire.

Le graphique ci-après présente l'évolution saisonnière des **concentrations cellulaires** selon la proportion de chaque groupe d'algues.



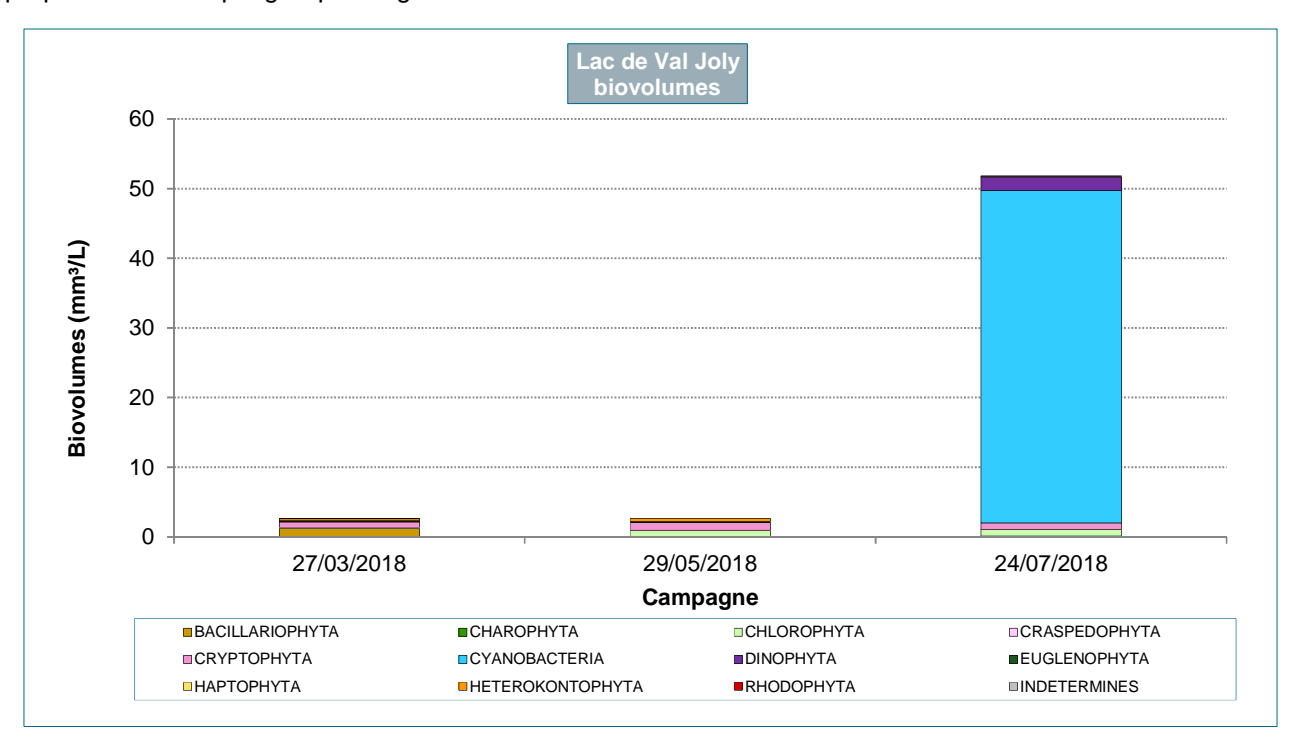
Les concentrations cellulaires observées dans ce plan d'eau varient sur deux périodes bien distinctes : une période printanière moyennement productive (autour de 10 000 cell./mL) puis une période estivale marquée par un fort développement algal (647 800 cell./mL). Lors du pic de concentration cellulaire, la transparence n'est plus que de 0,4 m. Cependant, la valeur minimale enregistrée est de 0,3 m en septembre, ce qui laisse supposer que le développement du phytoplancton était encore très important en fin d'été. Contrairement aux autres plans d'eau, il n'y a pas de phase d'eau claire marquée en mai puisque la concentration cellulaire est assez similaire à celle du mois de mars.

Le **peuplement phytoplanctonique** est tout d'abord très diversifié pendant la période printanière. En effet, trois groupes algaux se distinguent tout d'abord en mars avec les *Haptophyta*, dont l'unique espèce représentante est *Chrysochromulina parva* (33%), les chrysophycées (dont *Chrysococcus*) à 16,5%, et les *Bacillariophyta* (20%) dont plus particulièrement les centriques. En mai, *Chrysochromulina* perdure (21%) tandis que les chlorophycées se diversifient et se développent majoritairement (28% de la concentration



cellulaire). Enfin, en juillet, le pic de concentrations cellulaires est exclusivement constitué par des cyanobactéries avec comme espèce dominante *Aphanizomenon klebahnii* (77%). Bien qu'elle atteigne une concentration importante supérieure à 500 000 cell./mL, cette espèce n'est pas considérée comme potentiellement toxique. En revanche, la totalité des **taxons potentiellement toxiques** dépasse le seuil de 20 000 cell./mL (35 000 cell./mL exactement) dont deux des espèces principales : *Dolichospermum flosaquae* et *D. planctonicum*, accompagnées de *Microcystis*.

Le graphique ci-dessous présente l'évolution saisonnière des biomasses algales obtenues selon la proportion de chaque groupe d'algues.

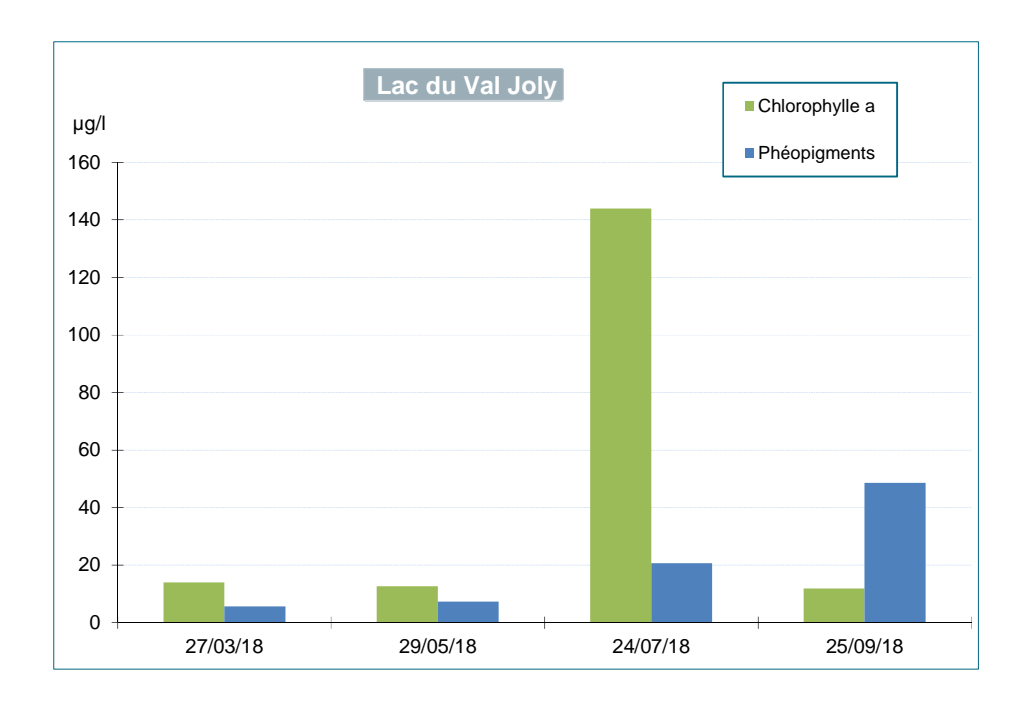


La **richesse taxonomique** est correcte (moyenne de 48 taxons sur 3 campagnes) avec un maximum en mai de 66 taxons dont la moitié sont des chlorophycées.

La **biomasse algale** présente tout d'abord au printemps des valeurs faibles et équivalentes en mars et mai (2,6 mg/L). En mars, une grande partie est représentée par les diatomées (45,5%), en particulier des fragilariacées, mais également des cryptophycées (28%). En mai, la répartition est différente puisque les diatomées ne participent quasiment plus à la biomasse, les cryptophycées sont en revanche toujours très présentes (43%) rejointes par les chlorophycées (33%). En juillet, la biomasse augmente considérablement (52 mg/L) dont 77% est représenté par la cyanobactérie *Aphanizomenon klebahnii*.

Les teneurs en **pigments chlorophylliens** suivent la progression de la biomasse algale. Les valeurs sont en effet moyennes en mars et mai, puis les concentrations en chlorophylle a augmentent considérablement en juillet (159 μ g/L) pour chuter brutalement en septembre (43,3 μ g/L). En revanche, les teneurs en phéopigments en septembre sont assez conséquentes et supérieures à la chlorophylle a, ce qui dénote d'une forte dégradation du peuplement algal. En absence des analyses algales pour cette campagne de septembre, les valeurs de chlorophylle démontrent une très faible activité du phytoplancton.





La note IPLAC de 0,43 concorde avec les résultats du calcul de l'IPL, les deux méthodes témoignant ainsi d'une classe d'état qualifiée de « moyenne ». Signalons qu'il a été nécessaire de changer les paramètres de calcul de l'IPLAC afin d'obtenir le calcul malgré 2 campagnes pendant la période conseillée et l'augmentation du % d'individus indéterminés (12% au lieu de 10%).

Les graphiques ci-dessous présentent l'évolution des deux indices, sur les 6 années de suivi. L'évolution temporelle des deux indices présente des résultats globalement assez similaires, en effet les classes de qualité sont soit moyennes soit bonnes selon les années. Seul l'IPLAC présente en 2014 une classe de qualité très bonne ce qui semble assez étonnant pour ce plan d'eau considéré comme eutrophe. Aucune amélioration ne semble se profiler sur les dernières années de suivi, au contraire une légère dégradation est visible depuis 2016.



En conclusion, le plan d'eau de Val Joly, particulièrement envahi par les cyanobactéries en milieu d'été, présente une qualité de l'eau moyenne.



6. SYNTHESE

Les résultats des analyses du phytoplancton sont extrêmement variables d'un plan d'eau à l'autre, bien qu'appartenant au même bassin d'Artois Picardie. Certaines valeurs de biomasses phytoplanctoniques sont exceptionnellement élevées, comme c'est le cas à Ardres ou Romelaere, et d'autres restent dans des concentrations plus moyennes. Le classement ci-dessous reprend les plans d'eau dans l'ordre croissant de la qualité de l'eau.

Le plan d'eau le plus productif en biomasse algale et en densité cellulaire est l'étang d'Ardres en période estivale. C'est aussi celui qui obtient la plus mauvaise note IPLAC. Les cyanobactéries sont très abondantes et peuvent presque exclure les autres groupes d'algues par leur capacité de compétition. C'est le plan d'eau apparaissant comme le plus dégradé et particulièrement eutrophe. Classé comme médiocre, il semble encore se dégrader au fil des années. Notons également que c'est le plan d'eau où les concentrations en cyanobactéries potentiellement toxiques sont les plus préoccupantes d'autant que des activités nautiques y sont pratiquées.

Ensuite, le plan d'eau de **Romelaere** est légèrement moins dégradé. Les concentrations cellulaires ne sont pas aussi extrêmes que pour Ardres, mais restent très élevées également. Les teneurs en pigments chlorophylliens et la biomasse algale sont très élevées. D'autre part, une anoxie du plan d'eau est observée en juillet, témoignant d'une très forte activité phytoplanctonique. La note IPLAC, et donc la classe d'état, est médiocre. Les cyanobactéries, et en particulier des espèces potentiellement dangereuses, sont très abondantes en été. Sa richesse taxonomique par contre est la plus élevée de tous les plans d'eau.

Le lac du **Val Joly** présente des résultats quasiment aussi élevés que le précédent. La biomasse algale est toutefois discrète au printemps mais brutalement très élevée en juillet. Les cyanobactéries sont très abondantes et les espèces toxiques présentent des densités plus raisonnables, bien que supérieures au seuil de 20 000 cell./mL. La qualité trophique de ce plan d'eau est moyenne depuis plusieurs années et semble même se dégrader légèrement depuis 3 ans.

L'étang du **Vignoble**, de meilleure qualité que les précédents, présente une évolution moins habituelle puisque les concentrations cellulaires sont particulièrement élevées en mars, puis en juillet. Les teneurs en pigments chlorophylliens sont modérées. Le peuplement phytoplanctonique est le moins diversifié, avec peu de cyanobactéries. La qualité de l'eau est très stable depuis plusieurs années et de classe de qualité bonne (selon l'IPLAC).

Quant à la mare à **Goriaux**, les biomasses algales et les valeurs de pigments chlorophylliens y sont correctes voire faibles. La classe d'état est bonne (selon l'IPLAC) et les quelques cyanobactéries qui se développent en été ne produisent pas d'efflorescence ni de risque de toxicité.

Selon le suivi des résultats des indices phytoplanctoniques sur les 6 dernières années, aucun plan d'eau ne tend vers une amélioration de la qualité.

Parmi les 5 plans d'eau suivis, ceux de Val Joly, de Vignoble et l'étang d'Ardres offrent la possibilité d'activités nautiques. Bien que la réglementation ne soit pas aussi stricte que pour les baignades, la pratique de loisirs nautiques n'est pas sans risque sur le plan sanitaire, eu égard à la mauvaise qualité bactériologique de certains tronçons de cours d'eau ou aux proliférations algales (cyanobactéries). Les densités de cyanobactéries observées dans ces 3 plans d'eau, surtout l'étang d'Ardres et de Val Joly, sont en effet très importantes, dépassant souvent le seuil critique fixé pour les sites de baignades. Rappelons que dans le cas d'observation d'une écume en surface de l'eau, l'interdiction porte aussi bien sur la baignade que sur les activités nautiques.



7. ANNEXES

7.1. MÉTHODE DÉTAILLÉE D'ANALYSE DU PHYTOPLANCTON

■ selon la norme AFNOR NF EN 15204/T 90-379 de déc. 2006 (méthode Utermöhl)

- Homogénéisation de l'échantillon,
- Prélèvement d'un volume précis pour la sédimentation en chambre de décantation (type Hydrobios),
- Sédimentation simultanée, le cas échéant, du même échantillon à des volumes différents afin de choisir le plus approprié pour le comptage,
- Mise en sédimentation pendant 4 à 12 heures environ (selon le volume),
- Dénombrement au grossissement x 400 ou x 630, au microscope inversé,
- Comptage d'un minimum de 400 individus sur plusieurs champs choisis aléatoirement, un transect ou sur la surface totale de la cuve par déplacement sur des transects parallèles,

Conformément à la norme, une fidélité de comptage de 5% a été respectée.

Déterminations

- Au genre au minimum si possible (à la famille ou la classe s'il y a un doute),
- A l'espèce pour les genres dominants, remarquables, ou facilement identifiables et pour certaines diatomées.
- Lorsque les diatomées sont dominantes (>20% de la densité algale), ou posent des problèmes d'identification, une préparation spécifique est effectuée (traitement à l'eau oxygénée à chaud, séchage sur lamelle, montage en résine, observation à l'objectif x 1000 à immersion),
- Pour les formes simples, le nombre de cellules est compté directement lors du comptage au microscope inversé,
- Un filament est considéré comme un individu,
- Lorsque les cellules sont difficilement discernables lors du comptage, cas des algues coloniales ou filamenteuses, le comptage est fait séparément avec une estimation du nombre moyen de cellules par colonie ou filament. Un facteur multiplicateur est alors affecté au nombre d'individus de l'échantillon (il peut y avoir une variation du nombre de cellules par espèce d'un échantillon à l'autre),
- pour les espèces importantes posant quelques problèmes d'identification l'avis d'un expert extérieur à aquascop est demandé (collaboration avec M. Laplace-Treyture à l'IRSTEA de Bordeaux)
- Les cellules vides (sans plaste) ne sont pas comptées

Mesure de la biomasse

La biomasse algale totale est exprimée en µg/L (ou mm³/L8) et est calculée à partir de la somme des biovolumes cellulaires de chaque taxon. Ce biovolume cellulaire est évalué à l'aide de formules géométriques appropriées correspondant à la taille et à la forme des cellules considérées.

Les biovolumes utilisés sont donnés par défaut par le logiciel Phytobs ainsi que par nos propres biovolumes lorsque d'expérience nous remarquons des différences récurrentes. Après avoir effectué le comptage, nous réajustons ces biovolumes pour les espèces les plus abondantes si leurs volumes varient de la valeur par défaut (nommées « valeurs personnelles » dans les listes). Plusieurs individus sont observés au microscope droit et mesurés (longueur, largeur, diamètre...) afin de calculer le biovolume de l'espèce à modifier. La formule géométrique utilisée est la plus proche de la forme observée,

_

⁸ En considérant que 1mm³/L=1mg/L



Conversion de la biomasse à la biomasse carbone

Les facteurs de conversion permettant de passer de la biomasse à la biomasse carbone proviennent de l'ouvrage intitulé « Limnological Analyses » écrit par R.G Wetzel. & G.E. Lickens en 2000. Les facteurs de conversion, aussi appelés rapport carbone, sont spécifiques à chaque embranchement comme illustré dans le tableau suivant :

Embranchements	Facteurs de conversion
Chlorophyta, Charophyta et Euglenophyta	0,16
Bacillariophyta	0,11
Cyanophyta	0,22
Dinophyta	0,13
Autres embranchements Craspedophyta, Cryptophyta, Haptophyta, Heterokontophyta, Rhodophyta et Indéterminés	0,11

La biomasse carbone totale résulte de la somme des biomasses calculées pour chaque embranchement.

Présentation des résultats

Les données sont au format « Phytobs » (fichiers .csv)

codification SANDRE

Lorsque les codes ne sont pas renseignés dans les listes exportées de Phytobs (cas des taxons ajoutés), ceux-ci sont complétés en se référant au site du SANDRE.

7.2. BIBLIOGRAPHIE

- Laplace-Treyture C., Barbe J., Dutartre A., Druart J.C., Rimet F., Anneville O., sept. 2009. Protocole standardisé d'échantillonnage, de conservation, d'observation et de dénombrement du phytoplancton en plan d'eau pour la mise en oeuvre de la DCE version 3.3.1.
- Wetzel, R.G., Lickens G.E., 2000. *Limnological Analyses*, 3rd ed. Springer Science and Business Media.
- NF EN 15204, décembre 2006. Qualité de l'eau, norme guide pour le dénombrement du phytoplancton par microscopie inversée (méthode Utermöhl), AFNOR. 39 p.
- NF T 90-117 « Dosage de la chlorophylle a et d'un indice phéopigments » Décembre 1999
- L'Indice Phytoplanctonique Lacustre IPLAC Méthodologie d'application pour l'évaluation écologique des plans d'eau Mars 2011. Rapport d'avancement 2010

7.3. COMPOSITION DES PEUPLEMENTS PHYTOPLANCTONIQUES, DENSITES ALGALE ET CELLULAIRE, ET BIOMASSE



prélèvements et déterminations AQUASCOP								
re	sultats exprimés e	en densité algale (ind Code Sandre		30/05/2018	24/07/2018	26/09/201		
BACILLARIOPHYTA	Code Taxon	Code Sandre	20/03/2010	30/03/2010	24/01/2010	20/03/201		
BACILLARIOPHYCEAE								
Nitzschia	NIZSPX	9804	928		223	103		
Nitzschia acicularis Cf.	NIZACI	8809		51		154		
Surirella biseriata Cf. COSCINODISCOPHYCEAE	SURBIS	8488	2					
Aulacoseira ambigua	AULAMB	8554		103		3 084		
Aulacoseira granulata	AULGRA	8559		100		411		
FRAGILARIOPHYCEAE								
Fragilaria	FRASPX	9533	279					
INDETERMINES (classe)								
Diatomées centriques indéterminées <10 µm Diatomées centriques indéterminées > 10 µm	INDCE5 INDCEN	6598 6598		103 103	223 223	154 925		
CHAROPHYTA	INDCEN	0090		103	223	920		
CONJUGATOPHYCEAE								
Closterium acutum	CLOACU	5529	2					
Closterium acutum var. linea	CLOALI	9149		103				
Cosmarium	COSSPX	1127		154				
Staurastrum tetracerum	STATET	5495		51				
CHLOROPHYTA								
CHLOROPHYCEAE Acutodesmus acuminatus	ACUACU	33639		51		1 851		
Ankistrodesmus	ANKSPX	4749		JI		154		
Ankyra judayi	ANYJUD	5596		103		107		
Chlamydomonas < 10 μm	CHLSP5	6016				51		
Coelastrum	COESPX	4753	186					
Coelastrum astroideum	COEAST	5608		257		771		
Coelastrum microporum	COEMIC	5610			112	103		
Crucigenia tetrapedia	CRUTET	5633		51		51		
Desmodesmus armatus	DEDARM	31930		257		308		
Desmodesmus communis Desmodesmus intermedius	DEDCOM DEDINT	31933 30028		925 154		308		
Desmodesmus opoliensis	DEDOPO	30006		51		154		
Desmodesmus subspicatus	DEDSUB	31950		308		463		
Hariotina reticulata	HARRET	31974		154				
Kirchneriella	KIRSPX	4755	1 950	51		51		
Kirchneriella irregularis	KIRIRR	5699		51				
Monoraphidium	MONSPX	5728	279					
Monoraphidium arcuatum	MONARC	5729	186			103		
Monoraphidium contortum	MONCON	5731	557		446	206		
Monoraphidium griffithii Pediastrum duplex	MONGRI PEDDUP	5734 5772	186	103		154		
Phacotus	PHTSPX	6047		360		51		
Pseudodidymocystis planctonica	PSDPLA	5787		51				
Pseudopediastrum boryanum	PPEBOR	42835		514		51		
Raphidocelis danubiana	RDODAN	31999				51		
Scenedesmus	SCESPX	1136	650	360		154		
Scenedesmus arcuatus	SCEARC	5807		103		51		
Scenedesmus ecornis	SCEECO	5824		51				
Scenedesmus ellipticus	SCEELL	5826			112	200		
Selenastrum bibraianum Sparmatozopsis eysultans	SELBIB	9335	93			206		
Spermatozopsis exsultans Stauridium tetras	SRITET	42839	93	51		154		
Tetradesmus wisconsinensis	TEDWIS	5883		31	112	103		
Tetraedron caudatum	TEACAU	5885		51	112	51		
Tetraedron minimum	TEAMIN	5888		1 285	223	720		
Tetraedron triangulare	TEATRI	5893		154	335	411		
Tetrastrum heteracanthum	TERHET	5898				51		
Tetrastrum komarekii	TERKOM	5900		103		51		
Tetrastrum staurogeniaeforme	TERSTA	5904	400	51	225	51		
Chlorococcales indéterminées TREBOUXIOPHYCEAE	INDCHO	4746	186	463	335	360		
Actinastrum hantzschii	ACSHAN	5591			112			
Closteriopsis acicularis	CLPACI	24401			112			
Crucigeniella	CRCSPX	5634			·	51		
Crucigeniella apiculata	CRCAPI	5635		103		206		
Dictyosphaerium	DICSPX	5645	93					
Dictyosphaerium subsolitarium	DICSUB	9192	371					
Didymocystis inconspicua	DIDINS	20628				51		
Didymocystis inermis	DIDINE	5653	650	103				
Koliella Koliella longiseta	KOLSPX	5285	650 2 228		440	F4		
Koliella longiseta Lagerheimia ciliata	KOLLON LAGCIL	5286 5713	2 228		112	51 51		
Nephrochlamys rostrata	NECROS	5745				1 028		
Oocystis	OOCSPX	5752		411		. 020		
Oocystis lacustris	OOCLAC	5757		206	***************************************	103		
Oocystis parva	OOCPAR	5758		103				
o o o o o o o o o o o o o o o o o o o						,		



prélèvements et déterminations AQUASCOP résultats exprimés en densité algale (ind./mL)								
	Code Taxon	Code Sandre	28/03/2018	30/05/2018	24/07/2018	26/09/201		
CRYPTOPHYTA								
CRYPTOPHYCEAE								
Chroomonas coerulea Cf.	CHMCOE	9625			112			
Cryptomonas	CRYSPX	6269	93	154	223			
Cryptomonas erosa Cf.	CRYERO	6271				154		
Cryptomonas marssonii	CRYMAR	6273		257		***************************************		
Cryptomonas ovata Cf.	CRYOVA	6274		154		51		
Plagioselmis nannoplanctica	PLGNAN	9634	1 950	925				
CYANOBACTERIA								
CYANOPHYCEAE								
Aphanizomenon	APHSPX	1103	93			51		
Aphanizomenon gracile Cf.	APHGRA	6292			2 566	565		
Aphanocapsa planctonica Cf.	APAPLA	20036	2					
Aphanothece	APOSPX	6346			112			
Cuspidothrix issatschenkoi	CUSISS	33634			335			
Cyanogranis ferruginea	CYGFER	33848	186					
Limnothrix	LIMSPX	6445		154	893	154		
Limnothrix obliqueacuminata	LIMOBL	31995	2 321	-	670	103		
Limnothrix redekei	LIMRED	6448	46 790	6 015	13 055	15 474		
Merismopedia tenuissima	MERTEN	6330		51				
Microcystis	MIOSPX	4740				565		
Planktolyngbya limnetica	PLLLIM	6467		308	223			
Planktolyngbya minor Cf.	PLLMIN	32021		103	3 013	411		
Planktothrix agardhii	PLAAGA	6430	2 785	4 318	21 424	1 439		
Pseudanabaena galeata	PSEGAL	6458	2,700	1010	112	1 100		
Pseudanabaena limnetica	PSELIM	6459		51		51		
Chrococcales indéterminées	INDCRO	4737	279	J1		- 01		
Oscillatoriales indéterminées	INDOSC	6391	93					
EUGLENOPHYTA	паросо	0001	30					
EUGLENOPHYCEAE								
Euglena	EUGSPX	6479	93					
Euglena acus	EUGACU	6480	35			51		
Phacus tortus	PHATOR	6521				51		
HAPTOPHYTA	THATOK	0021				- 31		
COCCOLITHOPHYCEAE								
Chrysochromulina parva	CCHPAR	31903	2 878	103	2 455	411		
HETEROKONTOPHYTA	CONFAR	31903	2010	103	2 400	411		
CHRYSOPHYCEAE						-		
	CHSSPX	9570	186					
Chrysococcus								
Chrysophycées flagellés	NEW023	1160	186					
Ochromonas	OCHSPX	6158	2 507					
Stomatocyste	NEW008	24943	93					
EUSTIGMATOPHYCEAE	ELIODY	0500				4-4		
Ellipsoidion	ELISPX	9590				154		
Pseudostaurastrum	PSTSPX	5944				51		
SYNUROPHYCEAE	MALOSY	0000						
Mallomonas	MALSPX	6209				411		
XANTHOPHYCEAE								
Goniochloris	GOCSPX	6234		51		51		
Goniochloris pulchra	GOCPUL	20149		51		565		
Nephrodiella lunaris	NEHLUN	9616	279	360	223	103		
Pleurochloris	(vide)	(vide)				565		
Trachydiscus	TRDSPX	20281	186	154	112	308		
Trachydiscus lenticularis	TRDLEN	20282				257		
Xanthophycées indéterminées	INDXAN	1165	93	103		103		
NDETERMINES								
INDETERMINES (classe)								
Flagellés indéterminés	INDFLA	0	464					
Taxons indéterminés	INDTAX	0	371					
Densité Algale totale (nb. d'individus/mL)			70 841	21 231	48 316	35 779		
Richesse taxonomique (nb. de taxons identifiés)		-	39	57	29	67		



	prélèvements et déterminations AQUASCOP résultats exprimés en densité cellulaire (cell./mL)							
Te	Code Taxon	Code Sandre	28/03/2018	30/05/2018	24/07/2018	26/09/201		
ACILLARIOPHYTA								
BACILLARIOPHYCEAE								
Nitzschia	NIZSPX	9804	928		223	103		
Nitzschia acicularis Cf.	NIZACI	8809		51		154		
Surirella biseriata Cf.	SURBIS	8488	2					
COSCINODISCOPHYCEAE Aulacoseira ambigua	AULAMB	8554		103		3 084		
Aulacoseira arribigua Aulacoseira granulata	AULGRA	8559		103		411		
FRAGILARIOPHYCEAE	AOLONA	0000				711		
Fragilaria	FRASPX	9533	279					
INDETERMINES (classe)								
Diatomées centriques indéterminées <10 µm	INDCE5	6598		103	223	154		
Diatomées centriques indéterminées > 10 µm	INDCEN	6598		103	223	925		
HAROPHYTA								
CONJUGATOPHYCEAE								
Closterium acutum	CLOACU	5529	2					
Closterium acutum var. linea	CLOALI	9149		103				
Cosmarium	COSSPX	1127		154				
Staurastrum tetracerum	STATET	5495		51				
HLOROPHYTA CHLOROPHYCEAE								
Acutodesmus acuminatus	ACUACU	33639		206		7 403		
Ankistrodesmus	ANKSPX	4749		200		154		
Ankyra judayi	ANYJUD	5596		103		104		
Chlamydomonas < 10 μm	CHLSP5	6016		100		51		
Coelastrum	COESPX	4753	186			Ŭ.		
Coelastrum astroideum	COEAST	5608	.55	1 028		4 627		
Coelastrum microporum	COEMIC	5610			893	617		
Crucigenia tetrapedia	CRUTET	5633		206		206		
Desmodesmus armatus	DEDARM	31930		1 028		1 234		
Desmodesmus communis	DEDCOM	31933		2 776		1 234		
Desmodesmus intermedius	DEDINT	30028		617				
Desmodesmus opoliensis	DEDOPO	30006		206		617		
Desmodesmus subspicatus	DEDSUB	31950		925		1 851		
Hariotina reticulata	HARRET	31974		1 080				
Kirchneriella	KIRSPX	4755	1 950	51		51		
Kirchneriella irregularis	KIRIRR	5699		308				
Monoraphidium	MONSPX	5728	279					
Monoraphidium arcuatum	MONARC	5729	186			103		
Monoraphidium contortum	MONCON	5731	557		446	206		
Monoraphidium griffithii	MONGRI	5734	186					
Pediastrum duplex	PEDDUP	5772		823		1 080		
Phacotus	PHTSPX	6047		360		51		
Pseudodidymocystis planctonica	PSDPLA	5787		103		057		
Pseudopediastrum boryanum	PPEBOR	42835		5 655		257		
Raphidocelis danubiana	RDODAN	31999	1.050	4 000		823		
Scenedesmus	SCESPX	1136	1 950	1 080		617		
Scenedesmus arcuatus Scenedesmus ecornis	SCEARC SCEECO	5807 5824		617 206		411		
				200	116			
Scenedesmus ellipticus Selenastrum bibraianum	SCEELL SELBIB	5826 5869			446	617		
Spermatozopsis exsultans	SZOEXU	9335	93			017		
Stauridium tetras	SRITET	42839	371	411		1 080		
Tetradesmus wisconsinensis	TEDWIS	5883	3/ 1	711	223	308		
Tetraedron caudatum	TEACAU	5885		51	112	51		
Tetraedron minimum	TEAMIN	5888		1 285	223	720		
Tetraedron triangulare	TEATRI	5893		154	335	411		
Tetrastrum heteracanthum	TERHET	5898				206		
Tetrastrum komarekii	TERKOM	5900		411		206		
Tetrastrum staurogeniaeforme	TERSTA	5904		206		206		
Chlorococcales indéterminées	INDCHO	4746	186	463	335	360		
TREBOUXIOPHYCEAE								
Actinastrum hantzschii	ACSHAN	5591			893			
Closteriopsis acicularis	CLPACI	24401			112			
Crucigeniella	CRCSPX	5634				411		
Crucigeniella apiculata	CRCAPI	5635		411		3 290		
Dictyosphaerium	DICSPX	5645	186					
Dictyosphaerium subsolitarium	DICSUB	9192	1 485					
Didymocystis inconspicua	DIDINS	20628				103		
Didymocystis inermis	DIDINE	5653		206				
Koliella	KOLSPX	5285	650					
Koliella longiseta	KOLLON	5286	2 228		112	51		
Lagerheimia ciliata	LAGCIL	5713				51		
Nephrochlamys rostrata	NECROS	5745				4 113		
Oocystis	OOCSPX	5752		411				
Oocystis lacustris	OOCLAC	5757		823		206		
Oocystis parva	OOCPAR	5758		308				
Quadricoccus ellipticus	QUDELL	5795		411				
Siderocelis ornata	SIDORN	5873	1	103	1	51		



	position du phytoplancton dans l'étang d'Ardres - campagne 2018 prélèvements et déterminations AQUASCOP							
1								
	Code Taxon	Code Sandre	28/03/2018	30/05/2018	24/07/2018	26/09/2018		
CRYPTOPHYTA								
CRYPTOPHYCEAE	OLIMOOF	0005			440			
Chroomonas coerulea Cf.	CHMCOE	9625	00	454	112			
Cryptomonas Cryptomonas erosa Cf.	CRYSPX CRYERO	6269 6271	93	154	223	154		
Cryptomonas marssonii	CRYMAR	6273		257		104		
Cryptomonas ovata Cf.	CRYOVA	6274	_	154		51		
Plagioselmis nannoplanctica	PLGNAN	9634	1 950	925		J1		
CYANOBACTERIA	I LOIVII	3004	1 550	323				
CYANOPHYCEAE								
Aphanizomenon	APHSPX	1103	3 714			1 645		
Aphanizomenon gracile Cf.	APHGRA	6292	0		59 028	11 310		
Aphanocapsa planctonica Cf.	APAPLA	20036	402		00 020	11.010		
Aphanothece	APOSPX	6346			2 009			
Cuspidothrix issatschenkoi	CUSISS	33634			7 365			
Cyanogranis ferruginea	CYGFER	33848	2 971					
Limnothrix	LIMSPX	6445		5 552	23 209	4 472		
Limnothrix obliqueacuminata	LIMOBL	31995	46 419		14 060	2 056		
Limnothrix redekei	LIMRED	6448	748 644	84 205	195 830	232 104		
Merismopedia tenuissima	MERTEN	6330		823				
Microcystis	MIOSPX	4740				565		
Planktolyngbya limnetica	PLLLIM	6467		6 477	5 356			
Planktolyngbya minor Cf.	PLLMIN	32021		3 290	63 268	12 749		
Plank tothrix agardhii	PLAAGA	6430	153 182	112 273	621 299	46 061		
Pseudanabaena galeata	PSEGAL	6458			2 009			
Pseudanabaena limnetica	PSELIM	6459		977		1 337		
Chroococcales indéterminées	INDCRO	4737	5 292					
Oscillatoriales indéterminées	INDOSC	6391	928					
EUGLENOPHYTA								
EUGLENOPHYCEAE								
Euglena	EUGSPX	6479	93					
Euglena acus	EUGACU	6480				51		
Phacus tortus	PHATOR	6521				51		
HAPTOPHYTA								
COCCOLITHOPHYCEAE								
Chrysochromulina parva	CCHPAR	31903	2 878	103	2 455	411		
HETEROKONTOPHYTA					***************************************			
CHRYSOPHYCEAE	OLIOODY	0570	400					
Chrysococcus	CHSSPX	9570	186					
Chrysophycées flagellés Ochromonas	NEW023	1160 6158	186 2 507					
	OCHSPX							
Stomatocyste EUSTIGMATOPHYCEAE	NEW008	24943	93					
Ellipsoidion	ELISPX	9590				154		
Pseudostaurastrum	PSTSPX	5944	-			51		
SYNUROPHYCEAE	1 0105 /	JJTT				JΙ		
Mallomonas	MALSPX	6209				411		
XANTHOPHYCEAE	IVIALOFA	0203				411		
Goniochloris	GOCSPX	6234		51		51		
Goniochloris pulchra	GOCPUL	20149		51		565		
Nephrodiella lunaris	NEHLUN	9616	279	360	223	103		
Pleurochloris	(vide)	(vide)	213	500	220	565		
Trachydiscus	TRDSPX	20281	186	154	112	308		
Trachydiscus lenticularis	TRDLEN	20282	100	104	114	257		
Xanthophycées indéterminées	INDXAN	1165	93	103		103		
NDETERMINES	1145/4/114	1100	- 35	100		100		
INDETERMINES (classe)								
Flagellés indéterminés	INDFLA	0	464					
Taxons indéterminés	INDTAX	0	371					
Densité Cellulaire totale (nb. de cellules/mL)		1	982 629	239 609	1 001 354	354 453		
Richesse taxonomique (nb. de taxons identifiés)			39	57	29	67		
Densité totale de Cyanobactéries pot. toxiques			163 116	112 273	628 664	48 271		

Les prestations rapportées dans ce tableau sont couvertes par l'accréditation, exceptés les "amas flottants de cyanobactéries" (CYANOBACTERIA) non couverts par l'accréditation



prélèvements et déterminations AQUASCOP								
		en biovolume (mm3		20/05/2049	24/07/2049	26/00/204		
BACILLARIOPHYTA	Code Taxon	Code Sandre	28/03/2018	30/05/2018	24/07/2018	26/09/201		
BACILLARIOPHYCEAE								
Nitzschia	NIZSPX	9804	0,743		0,179	0,082		
Nitzschia acicularis Cf.	NIZACI	8809		0,015		0,045		
Surirella biseriata Cf.	SURBIS	8488	0,520					
COSCINODISCOPHYCEAE								
Aulacoseira ambigua	AULAMB	8554		0,052		1,567		
Aulacoseira granulata	AULGRA	8559				0,555		
FRAGILARIOPHYCEAE	EDIADO	0=00						
Fragilaria	FRASPX	9533	0,674					
INDETERMINES (classe) Diatomées centriques indéterminées <10 μm	INDCE5	6598		0,011	0,025	0,017		
Diatomées centriques indéterminées < 10 µm	INDCES	6598		0,011	0,025	0,017		
CHAROPHYTA	INDOLIN	0090		0,000	0,120	0,431		
CONJUGATOPHYCEAE								
Closterium acutum	CLOACU	5529	0.001			,		
Closterium acutum var. linea	CLOALI	9149		0,072				
Cosmarium	COSSPX	1127		1,080				
Staurastrum tetracerum	STATET	5495		0,345		,,,,,,,,,,,,,,,,,,,,,,,,,,,,,,,,,,,,,,,		
CHLOROPHYTA								
CHLOROPHYCEAE								
Acutodesmus acuminatus	ACUACU	33639		0,064		2,295		
Ankistrodesmus	ANKSPX	4749				0,035		
Ankyra judayi	ANYJUD	5596		0,011				
Chlamydomonas < 10 μm	CHLSP5	6016				0,001		
Coelastrum	COESPX	4753	0,026					
Coelastrum astroideum	COEAST	5608		0,074		0,333		
Coelastrum microporum	COEMIC	5610			0,167	0,115		
Crucigenia tetrapedia	CRUTET	5633		0,028		0,028		
Desmodesmus armatus	DEDARM	31930		0,363		0,436		
Desmodesmus communis	DEDCOM	31933		1,010		0,449		
Desmodesmus intermedius	DEDINT	30028		0,054				
Desmodesmus opoliensis	DEDOPO	30006		0,063		0,189		
Desmodesmus subspicatus	DEDSUB	31950		0,466		0,700		
Hariotina reticulata	HARRET	31974		0,155				
Kirchneriella	KIRSPX	4755	0,320	0,008		0,008		
Kirchneriella irregularis	KIRIRR	5699		0,033				
Monoraphidium	MONSPX	5728	0,014					
Monoraphidium arcuatum	MONARC	5729	0,006			0,003		
Monoraphidium contortum	MONCON	5731	0,063		0,050	0,023		
Monoraphidium griffithii	MONGRI	5734	0,043					
Pediastrum duplex	PEDDUP	5772		0,666		0,874		
Phacotus	PHTSPX	6047		0,824		0,118		
Pseudodidymocystis planctonica	PSDPLA	5787		0,010		0.407		
Pseudopediastrum boryanum	PPEBOR	42835		4,343		0,197		
Raphidocelis danubiana	RDODAN	31999	0.450	0.000		0,065		
Scenedesmus	SCESPX	1136 5807	0,156	0,086		0,049		
Scenedesmus arcuatus	SCEARC			0,191		0,127		
Scenedesmus ecornis	SCEECO	5824		0,009	0.104			
Scenedesmus ellipticus	SCEELL SELBIB	5826 5869			0,104	0,317		
Selenastrum bibraianum Spermatozopsis exsultans	SZOEXU		0,001			0,317		
Stauridium tetras	SRITET	9335 42839	0,001	0,144		0 270		
Tetradesmus wisconsinensis	TEDWIS	5883	0,130	U, 1 44	0,021	0,378 0,028		
Tetradesmus wisconsmensis Tetraedron caudatum	TEACAU	5885	-	0,023	0,021	0,028		
Tetraedron minimum	TEAMIN	5888		0,023	0,049	0,023		
Tetraedron triangulare	TEATRI	5893		0,450	0,078	0,232		
Tetrastrum heteracanthum	TERHET	5898		0,000	3,100	0,133		
Tetrastrum komarekii	TERKOM	5900		0,043		0,023		
Tetrastrum staurogeniaeforme	TERSTA	5904		0,043		0,022		
Chlorococcales indéterminées	INDCHO	4746	0,041	0,103	0,074	0,010		
TREBOUXIOPHYCEAE			5,5 71	5,.50	3,0	3,300		
Actinastrum hantzschii	ACSHAN	5591			0,115			
Closteriopsis acicularis	CLPACI	24401			0,007			
Crucigeniella	CRCSPX	5634			-,	0,021		
Crucigeniella apiculata	CRCAPI	5635		0,020		0,161		
Dictyosphaerium	DICSPX	5645	0,005					
Dictyosphaerium subsolitarium	DICSUB	9192	0,012					
Didymocystis inconspicua	DIDINS	20628	-,			0,003		
Didymocystis inermis	DIDINE	5653		0,023				
Koliella	KOLSPX	5285	0,149					
Koliella longiseta	KOLLON	5286	0,668		0,033	0,015		
Lagerheimia ciliata	LAGCIL	5713	.,		,	0,016		
Nephrochlamys rostrata	NECROS	5745				0,107		
Oocystis	OOCSPX	5752		0,099		-,,		
Oocystis lacustris	OOCLAC	5757		0,087		0,022		
Oocystis parva	OOCPAR	5758		0,019				
				0,378				
Quadricoccus ellipticus	QUDELL	5795		0,376				



		prélèvements et déterminations AQUASCOP résultats exprimés en biovolume (mm3/L)						
	resultats exprimes	Code Sandre	/L) 28/03/2018	30/05/2018	24/07/2018	26/09/2018		
СКУРТОРНУТА	Code Taxon	Code Sandre	20/03/2010	30/03/2018	24/01/2016	20/03/2010		
CRYPTOPHYCEAE								
Chroomonas coerulea Cf.	CHMCOE	9625			0,015			
Cryptomonas	CRYSPX	6269	0,165	0,273	0,395			
Cryptomonas erosa Cf.	CRYERO	6271				0,175		
Cryptomonas marssonii	CRYMAR	6273		0,308				
Cryptomonas ovata Cf.	CRYOVA	6274		0,323		0,108		
Plagioselmis nannoplanctica	PLGNAN	9634	0,136	0,065				
CYANOBACTERIA								
CYANOPHYCEAE								
Aphanizomenon	APHSPX	1103	0,267			0,118		
Aphanizomenon gracile Cf.	APHGRA	6292			14,167	2,714		
Aphanocapsa planctonica Cf.	APAPLA	20036	0,003					
Aphanothece	APOSPX	6346			0,020			
Cuspidothrix issatschenkoi	CUSISS	33634			0,295			
Cyanogranis ferruginea	CYGFER	33848	0,003					
Limnothrix	LIMSPX	6445		0,172	0,719	0,139		
Limnothrix obliqueacuminata	LIMOBL	31995	1,142		0,346	0,051		
Limnothrix redekei	LIMRED	6448	20,213	2,274	5,287	6,267		
Merismopedia tenuissima	MERTEN	6330		0,001				
Microcystis	MIOSPX	4740				0,150		
Planktolyngbya limnetica	PLLLIM	6467		0,019	0,016			
Planktolyngbya minor Cf.	PLLMIN	32021		0,008	0,152	0,031		
Planktothrix agardhii	PLAAGA	6430	9,191	6,736	37,278	2,764		
Pseudanabaena galeata	PSEGAL	6458			0,018			
Pseudanabaena limnetica	PSELIM	6459		0,010		0,013		
Chroococcales indéterminées	INDCRO	4737	0,106					
Oscillatoriales indéterminées	INDOSC	6391	0,040					
EUGLENOPHYTA								
EUGLENOPHYCEAE								
Euglena	EUGSPX	6479	0,552					
Euglena acus	EUGACU	6480				0,059		
Phacus tortus	PHATOR	6521				0,514		
НАРТОРНҮТА								
COCCOLITHOPHYCEAE	OOLIDAD	04000	0.000	0.000	0.074	0.010		
Chrysochromulina parva	CCHPAR	31903	0,083	0,003	0,071	0,012		
HETEROKONTOPHYTA								
Chrososowa	CHSSPX	9570	0,016					
Chrysococcus Chrysophycées flagellés	NEW023	1160	0,016					
Ochromonas	OCHSPX	6158	0,020					
Stomatocyste	NEW008	24943	0,251					
EUSTIGMATOPHYCEAE	INEVVUUO	24943	0,049					
Ellipsoidion	ELISPX	9590				0,046		
Pseudostaurastrum	PSTSPX	5944				0,046		
SYNUROPHYCEAE	FOIGEN	JUTT				0,021		
Mallomonas	MALSPX	6209				1,099		
XANTHOPHYCEAE	IVIALOFA	0203				1,055		
Goniochloris	GOCSPX	6234		0,041		0,041		
Goniochloris pulchra	GOCPUL	20149		0,041		0,041		
Nephrodiella lunaris	NEHLUN	9616	0,053	0,011	0,042	0,020		
Pleurochloris	(vide)	(vide)	0,000	5,555	J,U∓∠	0,020		
Trachydiscus	TRDSPX	20281	0,011	0,009	0,006	0,038		
Trachydiscus lenticularis	TRDLEN	20282	0,011	5,000	5,000	0,010		
Xanthophycées indéterminées	INDXAN	1165	0,011	0,012		0,034		
NDETERMINES	11 12/7 (11	1100	5,011	0,012		5,012		
INDETERMINES (classe)								
Flagellés indéterminés	INDFLA	0	0,016					
Taxons indéterminés	INDTAX	0	0,186					
Biomasse Algale totale (mg/L)			36,1	21,9	60,0	25,0		
Biomasse Carbone totale (mg C/I)			7,5	4,0	13,0	4,5		
Richesse taxonomique (nb. de taxons identifié	c)		39	57	29	67		



Composition du phytoplancton dans la mare à Goriaux - campagne 2018 prélèvements et déterminations AQUASCOP								
	ésultats exprimés e	n densité algale (ind.	/mL)			,		
BACILLARIOPHYTA	Code Taxon	Code Sandre	27/03/2018	29/05/2018	24/07/2018	25/09/2018		
BACILLARIOPHYCEAE								
Achnanthidiaceae	NEW006	37625			40			
Cymatopleura elliptica	CYTELL	9462			13			
Navicula	NAVSPX	9430	7	5				
Nitzschia	NIZSPX	9804		5	13	154		
Nitzschia acicularis Cf.	NIZACI	8809			27	154		
COSCINODISCOPHYCEAE	ALILDUC	44070			0.42	7 200		
Aulacoseira pusilla Cyclotella scaldensis	AULPUS NEW134	11270 12194			243 135	7 300		
FRAGILARIOPHYCEAE	INE W 134	12134			133			
Fragilariaceae	NEW007	20608	41	14				
INDETERMINES (classe)								
Diatomées centriques indéterminées <10 µm	INDCE5	6598	333	93	540	1 491		
Diatomées centriques indéterminées > 10 µm	INDCEN	6598	61					
MEDIOPHYCEAE								
Cyclostephanos delicatus	CYSDEL	8598	48		4 000	0.000		
Cyclostephanos dubius	CYSDUB	8599	109		1 093	2 390		
Cyclotella Cyclotella atomus	CYCSPX CYCATO	9508 8603	20		54	437 308		
Cyclotella meduanae	CYCMED	8631	34		202	283		
Cyclotella meneghiniana	CYCMEN	8633			715	26		
Discostella pseudostelligera	DISPSE	8656	34		405	900		
Skeletonema potamos	SKEPOT	8735			94	154		
Stephanodiscus	STESPX	8760	41					
CHAROPHYTA								
CONJUGATOPHYCEAE								
Closterium acutum var. linea	CLOALI	9149		-	13	51		
Closterium acutum var. variabile CHLOROPHYTA	CLOACV	5530		5	54	26		
CHLOROPHYCEAE								
Ankyra judayi	ANYJUD	5596		158	13	26		
Chlamydomonas 10 - 20 µm	CHLS15	6016	7					
Chlorococcales 4µm	NEW097	4746	82					
Coelastrum astroideum	COEAST	5608			13			
Coelastrum microporum	COEMIC	5610		5				
Crucigenia tetrapedia	CRUTET	5633		224	270	231		
Desmodesmus armatus	DEDARM	31930		5				
Desmodesmus communis	DEDCOM	31933		-	13	26		
Desmodesmus intermedius Desmodesmus subspicatus	DEDINT DEDSUB	30028 31950		5	13	26 129		
Kirchneriella	KIRSPX	4755			148	334		
Lanceola spatulifera	LANSPA	5720	14		140	304		
Monoraphidium contortum	MONCON	5731			94	26		
Phacotus	PHTSPX	6047			54			
Planktosphaeria gelatinosa	PLKGEL	5782		14		26		
Pseudopediastrum boryanum	PPEBOR	42835				26		
Pseudoschroederia robusta	PSCROB	32026		5				
Scenedesmus	SCESPX	1136	7			26		
Schroederia antillarum	SCRANT	20247		14	07			
Spermatozopsis exsultans Sphaerocystis planctonica	SZOEXU SPEPLA	9335 5879	7	5	27			
Tetraedron caudatum	TEACAU	5885		5		51		
Tetrastrum komarekii	TERKOM	5900	+	J	40	JI		
Tetrastrum staurogeniaeforme	TERSTA	5904				51		
Tetrastrum triacanthum	TERTRA	5905	7					
Chlorococcales indéterminées	INDCHO	4746	177	65	108			
Chlorococcales indéterminées 2µm	NEW033	4746				154		
TREBOUXIOPHYCEAE								
Amphikrikos nanus	AMKNAN	31889			67			
Dictyosphaerium subsolitarium	DICSUB	9192	-	186	94	668		
Didymocystis inconspicua Didymocystis inermis	DIDINS DIDINE	20628 5653		5	67 27	51		
Hindakia tetrachotoma Cf.	HIDTET	41770		322	<u> </u>			
Koliella longiseta	KOLLON	5286	41	U22				
Lagerheimia genevensis	LAGGEN	5714	<u> </u>	5				
Nephrochlamys rostrata	NECROS	5745			13			
Oocystis	OOCSPX	5752		33				
Oocystis lacustris	OOCLAC	5757			13			
Oocystis parva	OOCPAR	5758			81			
Planctonema lauterbornii	PLNLAU	6000			13			
Siderocelis	SIDSPX	5872			27	26		
Siderocelis ornata Tetrachlorella alternans	SIDORN	5873			27			
retracriiorena anerriafis	TCHALT	9293			13	L		



prélèvements et déterminations AQUASCOP résultats exprimés en densité algale (ind./mL)									
	résultats exprimés e	n densité algale (ind./ Code Sandre	mL) 27/03/2018	29/05/2018	24/07/2018	25/09/2018			
СКУРТОРНУТА					_ ,, _ ,, ,,				
CRYPTOPHYCEAE									
Chroomonas coerulea Cf.	CHMCOE	9625		5					
Cryptomonas	CRYSPX	6269	231	5	67	77			
Cryptomonas erosa Cf.	CRYERO	6271		19	202	26			
Cryptomonas marssonii	CRYMAR	6273	41	5		26			
Cryptomonas ovata Cf.	CRYOVA	6274		5	54				
Plagioselmis lacustris	PLGLAC	9633	48						
Plagioselmis nannoplanctica	PLGNAN	9634	319	573	310	206			
CYANOBACTERIA									
CYANOPHYCEAE									
Aphanizomenon	APHSPX	1103		23					
Cyanogranis	CYGSPX	33847			135	26			
Cyanogranis libera	CYGLIB	10184			189				
Dolichospermum	DOLSPX	31962		19					
Merismopedia tenuissima	MERTEN	6330		14	310	26			
Pseudanabaena	PSESPX	6453		9					
Romeria	ROMSPX	9699			27				
Romeria leopoliensis	ROMLEO	20229			13	26			
DINOPHYTA									
DINOPHYCEAE									
Gymnodinium	GYMSPX	4925			13				
EUGLENOPHYTA									
EUGLENOPHYCEAE									
Colacium	COLSPX	6473		5	13				
Euglena	EUGSPX	6479	88		13				
Euglena oxyuris	EUGOXY	6483		5					
Phacus	PHASPX	6500	7						
Phacus pyrum	PHAPYR	6515				26			
Strombomonas acuminata	STRACU	32046			13				
Trachelomonas volvocina	TRAVOL	6544			162				
HAPTOPHYTA									
COCCOLITHOPHYCEAE	0011040	21222							
Chrysochromulina parva	CCHPAR	31903	48		13				
HETEROKONTOPHYTA									
CHRYSOPHYCEAE	DIOODY	00070			40				
Bicosoeca	BIOSPX	20672			13				
Bicosoeca planctonica	BIOPLA	40170			67				
Chromulina	CHUSPX	6114	68		27				
Chrysococcus	CHSSPX	9570	82		54	771			
Chrysophycées flagellés	NEW023	1160	1 060						
Kephyrion	KEPSPX	6150	109	5					
Ochromonas	OCHSPX	6158	41						
DICTYOCHOPHYCEAE	DDDCDV	4704	400						
Pseudopedinella	PDPSPX	4764	109						
EUSTIGMATOPHYCEAE	DOTODY	5044			40				
Pseudostaurastrum	PSTSPX	5944			13				
SYNUROPHYCEAE	MALOBY	0000	04		40				
Mallomonas	MALSPX	6209	61		13	26			
Mallomonas akrokomos	MALAKR	6211		61					
XANTHOPHYCEAE	COCCDY	6004			F.4				
Goniochloris	GOCSPX	6234		F	54				
Goniochloris pulchra	GOCPUL	20149		5	40	F4			
Nephrodiella lunaris	NEHLUN	9616	4.4		13	51			
Trachydiscus	TRDSPX	20281	14	9	40	F4			
Trachydiscus minutus	TRDMIN	40217		33	40	51			
NDETERMINES (-lases)									
INDETERMINES (classe)									
Toyona indétarminés									
Taxons indéterminés Densité Algale totale (nb. d'individus/mL)	INDTAX	0	7 3 396	1 972	6 722	16 964			



	mposition du phytoplancton dans la mare à Goriaux - campagne 2018 prélèvements et déterminations AQUASCOP résultats exprimés en densité cellulaire (cell./mL)						
rés	cultats exprimés en	densité cellulaire (cel	1./mL) 27/03/2018	29/05/2018	24/07/2018	25/09/2018	
BACILLARIOPHYTA							
BACILLARIOPHYCEAE							
Achnanthidiaceae	NEW006 CYTELL	37625 9462			40 13		
Cymatopleura elliptica Navicula	NAVSPX	9430	7	5	13		
Nitzschia	NIZSPX	9804	,	5	13	154	
Nitzschia acicularis Cf.	NIZACI	8809		J	27	154	
COSCINODISCOPHYCEAE							
Aulacoseira pusilla	AULPUS	11270			243	7 300	
Cyclotella scaldensis	NEW134	12194			135		
FRAGILARIOPHYCEAE	NEWOOZ	00000	44	4.4			
Fragilariaceae INDETERMINES (classe)	NEW007	20608	41	14			
Diatomées centriques indéterminées <10 µm	INDCE5	6598	333	93	540	1 491	
Diatomées centriques indéterminées > 10 µm	INDCEN	6598	61	30	5-10	1 701	
MEDIOPHYCEAE							
Cyclostephanos delicatus	CYSDEL	8598	48				
Cyclostephanos dubius	CYSDUB	8599	109		1 093	2 390	
Cyclotella	CYCSPX	9508			54	437	
Cyclotella atomus	CYCATO	8603	20		000	308	
Cyclotella meduanae Cyclotella meneghiniana	CYCMEN	8631	34		202	283	
Discostella pseudostelligera	CYCMEN DISPSE	8633 8656	34		715 405	26 900	
Skeletonema potamos	SKEPOT	8735	34		405 94	900 154	
Stephanodiscus	STESPX	8760	41		J-T	104	
CHAROPHYTA							
CONJUGATOPHYCEAE							
Closterium acutum var. linea	CLOALI	9149			13	51	
Closterium acutum var. variabile	CLOACV	5530		5	54	26	
CHLOROPHYTA							
CHLOROPHYCEAE	440/1115	5500		450	- 10		
Ankyra judayi	ANYJUD CHLS15	5596 6016	7	158	13	26	
Chlamydomonas 10 - 20 μm Chlorococcales 4μm	NEW097	4746	82				
Coelastrum astroideum	COEAST	5608	02		108		
Coelastrum microporum	COEMIC	5610		37	100		
Crucigenia tetrapedia	CRUTET	5633		895	1 080	925	
Desmodesmus armatus	DEDARM	31930		19			
Desmodesmus communis	DEDCOM	31933			54	51	
Desmodesmus intermedius	DEDINT	30028		19	54	103	
Desmodesmus subspicatus	DEDSUB	31950				257	
Kirchneriella	KIRSPX	4755			148	334	
Lanceola spatulifera Monoraphidium contortum	LANSPA MONCON	5720 5731	14		94	26	
Phacotus	PHTSPX	6047			94 54	26	
Planktosphaeria gelatinosa	PLKGEL	5782		14	54	26	
Pseudopediastrum boryanum	PPEBOR	42835				206	
Pseudoschroederia robusta	PSCROB	32026		5			
Scenedesmus	SCESPX	1136	27			51	
Schroederia antillarum	SCRANT	20247		14			
Spermatozopsis exsultans	SZOEXU	9335		5	27		
Sphaerocystis planctonica	SPEPLA	5879	7	_			
Tetraedron caudatum	TEACAU	5885		5	100	51	
Tetrastrum komarekii	TERKOM TERSTA	5900 5904			162	206	
Tetrastrum staurogeniaeforme Tetrastrum triacanthum	TERTRA	5904 5905	27			∠∪0	
Chlorococcales indéterminées	INDCHO	4746	177	65	108		
Chlorococcales indeterminées 2µm	NEW033	4746			100	154	
TREBOUXIOPHYCEAE							
Amphikrikos nanus	AMKNAN	31889			67		
Dictyosphaerium subsolitarium	DICSUB	9192		746	1 039	6 015	
Didymocystis inconspicua	DIDINS	20628		9	135	103	
Didymocystis inermis	DIDINE	5653	-	0.0==	54		
Hindakia tetrachotoma Cf.	HIDTET	41770	44	3 859			
Koliella longiseta Lagerheimia genevensis	KOLLON LAGGEN	5286 5714	41	5			
Nephrochlamys rostrata	NECROS	5714		5	27		
Oocystis	OOCSPX	5752		98	۷۱		
Oocystis lacustris	OOCLAC	5757	†		27		
Oocystis parva	OOCPAR	5758			162		
Planctonema lauterbornii	PLNLAU	6000			27		
Siderocelis	SIDSPX	5872			27	26	
Siderocelis ornata	SIDORN	5873			27		
Tetrachlorella alternans	TCHALT	9293			54		



Composition		ns la mare à Goriaux		18 		
		erminations AQUASC				
ro	ésultats exprimés en Code Taxon	densité cellulaire (cel Code Sandre		29/05/2018	24/07/2018	25/09/2018
СКУРТОРНУТА	Gode Taxon	Ocac Canare	2770072010	23/03/2010	24/01/2010	20/03/2010
CRYPTOPHYCEAE						
Chroomonas coerulea Cf.	CHMCOE	9625		5		
Cryptomonas	CRYSPX	6269	231	5	67	77
Cryptomonas erosa Cf.	CRYERO	6271		19	202	26
Cryptomonas marssonii	CRYMAR	6273	41	5		26
Cryptomonas ovata Cf.	CRYOVA	6274		5	54	
Plagioselmis lacustris	PLGLAC	9633	48			
Plagioselmis nannoplanctica	PLGNAN	9634	319	573	310	206
CYANOBACTERIA	-					
CYANOPHYCEAE						
Aphanizomenon	APHSPX	1103		466		
Cyanogranis	CYGSPX	33847			2 295	231
Cyanogranis libera	CYGLIB	10184			1 512	
Dolichospermum	DOLSPX	31962		261		
Merismopedia tenuissima	MERTEN	6330		350	6 209	411
Pseudanabaena	PSESPX	6453		93		
Romeria	ROMSPX	9699			135	
Romeria leopoliensis	ROMLEO	20229			54	154
DINOPHYTA					<u> </u>	.51
DINOPHYCEAE						
Gymnodinium	GYMSPX	4925			13	
EUGLENOPHYTA	O TIMOT X	1020			.0	
EUGLENOPHYCEAE						
Colacium	COLSPX	6473		5	13	
Euglena	EUGSPX	6479	88		13	
Euglena oxyuris	EUGOXY	6483	- 00	5	10	
Phacus	PHASPX	6500	7			
Phacus pyrum	PHAPYR	6515	•			26
Strombomonas acuminata	STRACU	32046			13	
Trachelomonas volvocina	TRAVOL	6544			162	
HAPTOPHYTA	III W OL	0011			102	
COCCOLITHOPHYCEAE						
Chrysochromulina parva	CCHPAR	31903	48		13	
HETEROKONTOPHYTA	OOTII 7410	01000	70		10	
CHRYSOPHYCEAE						
Bicosoeca	BIOSPX	20672			13	
Bicosoeca planctonica	BIOPLA	40170			67	
Chromulina	CHUSPX	6114	68		27	
Chrysococcus	CHSSPX	9570	82		54	771
Chrysophycées flagellés	NEW023	1160	1 060		J 4	//1
	KEPSPX	6150		5		
Kephyrion Ochromonas	OCHSPX	6158	109 41	3		
DICTYOCHOPHYCEAE	OUTIOFA	0100	41			
	PDPSPX	4764	109			
Pseudopedinella	FUFOFA	4704	109			
EUSTIGMATOPHYCEAE Page 1 de la contraction de l	PSTSPX	5944			40	
Pseudostaurastrum	PS 15PX	5944			13	
SYNUROPHYCEAE	MALODY	6200	04		40	
Mallomonas	MALSPX	6209	61	64	13	26
Mallomonas akrokomos	MALAKR	6211		61		
XANTHOPHYCEAE	0000001	6224			F.4	
Goniochloris	GOCSPX	6234		-	54	
Goniochloris pulchra	GOCPUL	20149		5	40	
Nephrodiella lunaris	NEHLUN	9616		_	13	51
Trachydiscus	TRDSPX	20281	14	9		
Trachydiscus minutus	TRDMIN	40217		33	40	51
NDETERMINES ()						
INDETERMINES (classe)						
Taxons indéterminés	INDTAX	0	7			
Densité Cellulaire totale (nb. de cellules/mL)			3 437	7 975	18 560	24 521
Richesse taxonomique (nb. de taxons identifiés)			34	38	61	42
Densité totale de Cyanobactéries pot. toxiques	1	1	0	820	0	0

Les prestations rapportées dans ce tableau sont couvertes par l'accréditation, exceptés les "amas flottants de cyanobactéries" (CYANOBACTERIA) non couverts par l'accréditation



	osition du phytoplancton dans la mare à Goriaux - campagne 2018 prélèvements et déterminations AQUASCOP							
	résultats exprimés Code Taxon	en biovolume (mm3/	L) 27/03/2018	29/05/2018	24/07/2018	25/09/2018		
BACILLARIOPHYTA								
BACILLARIOPHYCEAE								
Achnanthidiaceae	NEW006	37625			0,006			
Cymatopleura elliptica Navicula	CYTELL NAVSPX	9462 9430	0,008	0,006	0,499			
Nitzschia	NIZSPX	9804	0,008	0,004	0,011	0,123		
Nitzschia acicularis Cf.	NIZACI	8809		0,004	0,008	0,123		
COSCINODISCOPHYCEAE					5,000	-,		
Aulacoseira pusilla	AULPUS	11270			0,023	0,701		
Cyclotella scaldensis	NEW134	12194			1,403			
FRAGILARIOPHYCEAE								
Fragilariaceae	NEW007	20608	0,009	0,003				
INDETERMINES (classe) Diatomées centriques indéterminées <10 µm	INDCE5	6598	0,037	0,010	0,059	0,164		
Diatomées centriques indéterminées > 10 µm	INDCEN	6598	0,037	0,010	0,000	0,104		
MEDIOPHYCEAE								
Cyclostephanos delicatus	CYSDEL	8598	0,007					
Cyclostephanos dubius	CYSDUB	8599	0,054		0,541	1,183		
Cyclotella	CYCSPX	9508			0,037	0,302		
Cyclotella atomus	CYCATO	8603	0,000		<u>-</u>	0,007		
Cyclotella meduanae	CYCMED	8631	0,001		0,007	0,010		
Cyclotella meneghiniana	CYCMEN	8633	0.000		0,760	0,027		
Discostella pseudostelligera Skeletonema potamos	DISPSE SKEPOT	8656 8735	0,003		0,035 0,019	0,078 0,031		
Stephanodiscus	STESPX	8760	0,200		0,019	0,031		
CHAROPHYTA	O I LOI X	0700	0,200					
CONJUGATOPHYCEAE								
Closterium acutum var. linea	CLOALI	9149			0,010	0,036		
Closterium acutum var. variabile	CLOACV	5530		0,004	0,051	0,024		
CHLOROPHYTA								
CHLOROPHYCEAE								
Ankyra judayi	ANYJUD	5596		0,017	0,001	0,003		
Chlamydomonas 10 - 20 μm	CHLS15 NEW097	6016 4746	0,003					
Chlorococcales 4µm Coelastrum astroideum	COEAST	5608	0,003		0,008			
Coelastrum microporum	COEMIC	5610		0,007	0,008			
Crucigenia tetrapedia	CRUTET	5633		0,121	0,146	0.125		
Desmodesmus armatus	DEDARM	31930		0,007				
Desmodesmus communis	DEDCOM	31933			0,020	0,019		
Desmodesmus intermedius	DEDINT	30028		0,002	0,005	0,009		
Desmodesmus subspicatus	DEDSUB	31950				0,194		
Kirchneriella	KIRSPX	4755			0,024	0,055		
Lanceola spatulifera	LANSPA	5720	0,004		0.044	0.000		
Monoraphidium contortum Phacotus	MONCON PHTSPX	5731 6047			0,011	0,003		
Planktosphaeria gelatinosa	PLKGEL	5782		0.003	0,124	0,023		
Pseudopediastrum boryanum	PPEBOR	42835		0,000		0,158		
Pseudoschroederia robusta	PSCROB	32026		0,001		0,100		
Scenedesmus	SCESPX	1136	0,002			0,004		
Schroederia antillarum	SCRANT	20247		0,001				
Spermatozopsis exsultans	SZOEXU	9335		0,000	0,000			
Sphaerocystis planctonica	SPEPLA	5879	0,004					
Tetraedron caudatum	TEACAU	5885		0,002	26:-	0,023		
Tetrastrum komarekii	TERKOM	5900			0,017	0.040		
Tetrastrum staurogeniaeforme Tetrastrum triacanthum	TERSTA TERTRA	5904 5905	0,002			0,010		
Chlorococcales indéterminées	INDCHO	4746	0,002	0,014	0,024			
Chlorococcales indéterminées 2µm	NEW033	4746	0,000	3,014	J,UZ#	0,001		
TREBOUXIOPHYCEAE						2,001		
Amphikrikos nanus	AMKNAN	31889			0,003			
Dictyosphaerium subsolitarium	DICSUB	9192		0,006	0,008	0,048		
Didymocystis inconspicua	DIDINS	20628		0,000	0,004	0,003		
Didymocystis inermis	DIDINE	5653			0,006			
Hindakia tetrachotoma Cf.	HIDTET	41770	0.042	0,405				
Koliella longiseta	KOLLON	5286	0,012	0.004				
Lagerheimia genevensis	LAGGEN	5714 5745	-	0,001	0,001			
Nephrochlamys rostrata Oocystis	NECROS OOCSPX	5745 5752		0,023	0,001			
Oocystis lacustris	OOCLAC	5757		0,020	0,003			
Oocystis parva	OOCPAR	5758			0,000			
Planctonema lauterbornii	PLNLAU	6000	<u> </u>		0,004			
Siderocelis	SIDSPX	5872			0,010	0,009		
Siderocelis ornata	SIDORN	5873			0,006			
Tetrachlorella alternans	TCHALT	9293			0,025			
Tetrachlorella incerta	TCHINC	20273				0,004		



Composition du phytoplancton dans la mare à Goriaux - campagne 2018 prélèvements et déterminations AQUASCOP								
		en biovolume (mm3/						
CDVDTODLIVTA	Code Taxon	Code Sandre	27/03/2018	29/05/2018	24/07/2018	25/09/2018		
CRYPTOPHYTA CRYPTOPHYCEAE								
Chroomonas coerulea Cf.	CHMCOE	9625		0,001				
Cryptomonas Coerdiea Cr.	CRYSPX	6269	0,409	0,001	0,120	0,137		
Cryptomonas erosa Cf.	CRYERO	6271	0,409	0,008	0,120	0,137		
Cryptomonas marssonii	CRYMAR	6273	0,049	0,021	0,229	0,029		
Cryptomonas ovata Cf.	CRYOVA	6274	0,049	0,000	0,113	0,031		
Plagioselmis lacustris	PLGLAC	9633	0,003	0,010	0,113			
Plagioselmis nannoplanctica	PLGNAN	9634	0,003	0,040	0,022	0,014		
CYANOBACTERIA	FLGINAIN	9034	0,022	0,040	0,022	0,014		
CYANOPHYCEAE								
	APHSPX	1103		0,034				
Aphanizomenon	CYGSPX	33847		0,034	0,004	0,001		
Cyanogranis	CYGLIB	10184				0,001		
Cyanogranis libera				0.010	0,002			
Dolichospermum Merismopedia tenuissima	DOLSPX MERTEN	31962 6330		0,019 0,000	0.006	0.000		
Merismopedia tenuissima Pseudanabaena	PSESPX				0,006	0,000		
Pseudanapaena Romeria	ROMSPX	6453 9699		0,004	0.004			
	ROMSPX	20229			0,001 0,000	0.004		
Romeria leopoliensis	ROMLEO	20229			0,000	0,001		
DINOPHYTA								
DINOPHYCEAE	CVMCDV	4005			0.040			
Gymnodinium	GYMSPX	4925			0,018			
EUGLENOPHYTA								
EUGLENOPHYCEAE	001.007	0.470		0.000	0.040			
Colacium	COLSPX	6473	0.505	0,003	0,010			
Euglena - · · ·	EUGSPX	6479	0,525		0,080			
Euglena oxyuris	EUGOXY	6483	2.250	0,064				
Phacus	PHASPX	6500	0,050					
Phacus pyrum	PHAPYR	6515				0,075		
Strombomonas acuminata	STRACU	32046			0,268			
Trachelomonas volvocina	TRAVOL	6544			0,316			
НАРТОРНҮТА								
COCCOLITHOPHYCEAE								
Chrysochromulina parva	CCHPAR	31903	0,001		0,000			
HETEROKONTOPHYTA								
CHRYSOPHYCEAE								
Bicosoeca	BIOSPX	20672			0,007			
Bicosoeca planctonica	BIOPLA	40170			0,036	***************************************		
Chromulina	CHUSPX	6114	0,010		0,004	***************************************		
Chrysococcus	CHSSPX	9570	0,007		0,005	0,066		
Chrysophycées flagellés	NEW023	1160	0,117					
Kephyrion	KEPSPX	6150	0,007	0,000				
Ochromonas	OCHSPX	6158	0,004					
DICTYOCHOPHYCEAE								
Pseudopedinella	PDPSPX	4764	0,046					
EUSTIGMATOPHYCEAE								
Pseudostaurastrum	PSTSPX	5944			0,005			
SYNUROPHYCEAE								
Mallomonas	MALSPX	6209	0,163		0,036	0,069		
Mallomonas akrokomos	MALAKR	6211		0,019				
XANTHOPHYCEAE								
Goniochloris	GOCSPX	6234			0,043			
Goniochloris pulchra	GOCPUL	20149		0,001				
Nephrodiella lunaris	NEHLUN	9616			0,003	0,010		
Trachydiscus	TRDSPX	20281	0,001	0,001				
Trachydiscus minutus	TRDMIN	40217		0,002	0,002	0,003		
INDETERMINES								
INDETERMINES (classe)								
Taxons indéterminés	INDTAX	0	0,003					
Biomasse Algale totale (mg/L)			1,8	0,9	5,3	3,9		
Biomasse Carbone totale (mg C/I)			0,2	0,1	0,6	0,5		
Richesse taxonomique (nb. de taxons identifiés)			34	38	61	42		



	du phytoplancton dans l'étang du Romelaere - campagne 2018 prélèvements et déterminations AQUASCOP résultats exprimés en densité algale (ind./m.L.)						
	résultats exprimés	s en densité algale (ir Code Sandre	nd./mL) 28/03/2018	30/05/2018	25/07/2018	26/09/201	
ACILLARIOPHYTA	Code Taxon	Code Sandre	20/03/2010	30/03/2010	23/01/2010	20/03/201	
BACILLARIOPHYCEAE							
Amphora pediculus Cf.	AMPPED	7116		28			
Cymatopleura	CYTSPX	9464	2				
Nitzschia	NIZSPX	9804	2 599		893	154	
Nitzschia acicularis Cf. Nitzschia sigmoidea	NIZACI NIZSID	8809 9029	2	28	335	154	
COSCINODISCOPHYCEAE	NIZSID	9029	2				
Aulacoseira granulata	AULGRA	8559				514	
Aulacoseira granulata var. angustissima	AULANG	8561				360	
FRAGILARIOPHYCEAE	/ CL/ LIVE	0001				000	
Ulnaria ulna	ULNULN	6849	2				
INDETERMINES (classe)							
Diatomées centriques indéterminées <10 µr	INDCE5	6598	3 798	1 060	1 785	1 696	
Diatomées centriques indéterminées > 10 µ	INDCEN	6598	1 999	279	446	617	
MEDIOPHYCEAE							
Skeletonema potamos	SKEPOT	8735		391		206	
HAROPHYTA							
CONJUGATOPHYCEAE							
Closterium	CLOSPX	4751	2				
Closterium acutum var. linea	CLOALI	9149		28	112		
Staurastrum	STASPX	1128				51	
Staurastrum chaetoceras	STACHA	5454				51	
MESOSTIGMATOPHYCEAE							
Mesostigma viride	MSTVIR	45186		28			
ILOROPHYTA			-				
CHLORODENDROPHYCEAE	CCECDY	20775	900				
Scherffelia	SCFSPX	38775	200		440		
Tetraselmis cordiformis CHLOROPHYCEAE	TESCOR	5981	+	***************************************	112	51	
	ACHACH	22620	+	100	Ero.	400	
Acutodesmus acuminatus Acutodesmus raciborskii	ACUACU ACURAC	33639 44717	+	139 56	558	103 103	
Acutodesmus raciborskii Chlamydomonas < 10 μm	CHLSP5	6016		56 56	112	308	
Chlamydomonas 10 - 20 µm	CHLS15	6016	999	50	114	500	
Chlorococcales 2µm	NEW096	(vide)	5 997				
Chlorococcales 4µm	NEW 097	(vide)	2 399				
Chlorogonium	CHGSPX	6027	400				
Chlorogonium fusiforme Cf.	CHGFUS	24396	400		112		
Chlorotetraedron incus	CLTICU	24397		28			
Choricystis minor	CCTMIN	10245	2 399				
Coelastrum astroideum	COEAST	5608	200	3 348	335		
Coelastrum microporum	COEMIC	5610		363		51	
Crucigenia tetrapedia	CRUTET	5633		223	112		
Desmodesmus aculeolatus	DEDACU	37353		195			
Desmodesmus armatus	DEDARM	31930		363		51	
Desmodesmus communis	DEDCOM	31933		1 646	1 339	103	
Desmodesmus intermedius	DEDINT	30028		1 953			
Desmodesmus opoliensis	DEDOPO	30006		335	335	206	
Desmodesmus pannonicus	DEDPAN	31943		56			
Desmodesmus subspicatus	DEDSUB	31950		1 618	893	206	
Diplochloris	DCHSPX	5658	5 997				
Diplochloris lunata	DCHLUN	5659		112	1 674	925	
Eudorina	EUDSPX	6033	2	705		544	
Kirchneriella	KIRSPX	4755	999	725		514	
Kirchneriella irregularis	KIRIRR	5699		56	440	F4	
Monactinus simplex	MONARC	32004	1 199		112	51 103	
Monoraphidium arcuatum Monoraphidium contortum	MONARC MONCON	5729 5731	1 199	84	112 1 451	360	
Monoraphidium komarkovae	MONKOM	5735	1 333	28	í TU I	300	
Monoraphidium nanum	MONNAN	9234	+	20		154	
Parapediastrum biradiatum	PRPBIR	32023	1	28		107	
Pediastrum duplex	PEDDUP	5772	1	56	223		
Phacotus	PHTSPX	6047	†	28	223		
Pseudodidymocystis planctonica	PSDPLA	5787	1	279			
Pseudopediastrum boryanum	PPEBOR	42835		418	223	51	
Pteromonas	PTESPX	6049			335	51	
Pteromonas angulosa	PTEANG	6052			112	103	
Raphidocelis danubiana	RDODAN	31999		84			
Scenedesmus	SCESPX	1136	800	446	446	360	
Scenedesmus arcuatus	SCEARC	5807		167			
Scenedesmus ellipticus	SCEELL	5826			112		
Schroederia antillarum	SCRANT	20247				103	
Schroederia setigera	SCRSET	5867				51	
Spermatozopsis exsultans	SZOEXU	9335	999				
Spermatozopsis similis	SZOSIM	34957	400				
Stauridium tetras	SRITET	42839		84	112		
Tetradesmus dimorphus	TEDDIM	42829		251	112	51	
Tetraedron caudatum	TEACAU	5885		363	223		
Tetraedron minimum	TEAMIN	5888		474	112		
Tetraedron triangulare	TEATRI	5893		28			
Tetrastrum heteracanthum	TERHET	5898	-	28		51	
Tetrastrum komarekii	TERKOM	5900		307			
Tetrastrum punctatum	TERPUN	5902		446		51	
Tetrastrum staurogeniaeforme	TERSTA	5904	200	418			
Tetrastrum triangulare	TERTRI	9300	-	28		51	
Verrucodesmus verrucosus	VERVER	45274		56			
Volvocales coloniales	NEW073	6012	+	28			
Willea rectangularis	WILREC	35881 4746	1 999	84 391	670	360	
Chlorococcales indéterminées Volvocales indéterminées	INDCHO		1 999	29.1	0/0	300	
	INDVOL	3332 3332	200				
	III ADOOO	UUU2	200				
Chlorophycées coloniales indéterminées NEPHROPHYCEAE			1				



Composi		des l'étang du Romei déterminations AQUA s en densité algale (ii	SCOP			
	Code Taxon	Code Sandre	28/03/2018	30/05/2018	25/07/2018	26/09/2018
TREBOUXIOPHYCEAE						
Actinastrum hantzschii	ACSHAN	5591			112	154
Crucigeniella apiculata	CRCAPI	5635		753		
Dictyosphaerium	DICSPX	5645	200			
Dictyosphaerium subsolitarium	DICSUB	9192	800	893		206
Didymocystis	DIDSPX	5651	200			
Didymocystis inconspicua	DIDINS	20628		2 148		103
Didymocystis inermis	DIDINE	5653	800			103
Didymogenes palatina	DIYPAL	9195		28		
Hindakia tetrachotoma	HIDTET	41770			112	
Koliella	KOLSPX	5285	999		223	103
Koliella longiseta	KOLLON	5286	600		223	103
Lagerheimia chodatii	LAGCHO	5710				51
Mucidosphaerium pulchellum	MUCPUL	34196		28		
Nephrochlamys rostrata	NECROS	5745		84		51
Nephrocytium agardhianum	NEPAGA	5747			112	
Oocystis	OOCSPX	5752		446	670	
Oocystis lacustris	OOCLAC	5757		112	112	
Oocystis parva	OOCPAR	5758		28		
Quadricoccus ellipticus	QUDELL	5795		84		
Siderocelis	SIDSPX	5872				51
Siderocelis ornata	SIDORN	5873		28		51
Tetrachlorella alternans	TCHALT	9293		28		
RYPTOPHYTA						
CRYPTOPHYCEAE						
Chroomonas	CHMSPX	6260			223	
Chroomonas coerulea Cf.	CHMCOE	9625				103
Cryptomonas	CRYSPX	6269	1 599	307	446	206
Cryptomonas curvata	CRYCUR	6270	12			
Cryptomonas erosa Cf.	CRYERO	6271		279	335	206
Cryptomonas marssonii	CRYMAR	6273		167		
Cryptomonas ovata Cf.	CRYOVA	6274		474		925
Plagioselmis lacustris	PLGLAC	9633	2 798			51
Plagioselmis nannoplanctica	PLGNAN	9634	999	837	3 124	617
YANOBACTERIA						
CYANOPHYCEAE						
Aphanizomenon	APHSPX	1103			1 227	154
Aphanocapsa	APASPX	6307			446	103
Aphanocapsa holsatica Cf.	APAHOL	6312		28		
Cuspidothrix issatschenkoi	CUSISS	33634			112	
Cyanocatena	CYESPX	34750	200			
Cyanogranis	CYGSPX	33847				51
Cyanogranis ferruginea	CYGFER	33848	200			51
Dolichospermum compactum	DOLCOM	36082			1 004	
Dolichospermum flos-aquae	DOLFLO	31958			4 017	
Limnothrix	LIMSPX	6445			223	103
Limnothrix redek ei	LIMRED	6448	200	28	1 897	103
Merismopedia tenuissima	MERTEN	6330	1 999	28	112	51
Merismopedia trolleri	MERTRO	9715		28		
Merismopedia warmingiana	MERWAR	20320	12 593			
Microcystis	MIOSPX	4740				257
Planktolyngbya limnetica	PLLLIM	6467			670	308
Planktolyngbya minor Cf.	PLLMIN	32021			4 017	1 131
Planktothrix agardhii	PLAAGA	6430	3		5 021	6 580
Pseudanabaena	PSESPX	6453		28		
Pseudanabaena galeata	PSEGAL	6458			6 472	668
Romeria	ROMSPX	9699			223	
Romeria leopoliensis	ROMLEO	20229			223	
Snowella lacustris	SNOLAC	6336				51
Synechococcus capitatus Cf.	SYCCAP	9725			670	257
Chroococcales indéterminées	INDCRO	4737			0,0	
Oscillatoriales indéterminées	INDOSC	6391	2			



		ans l'étang du Romel déterminations AQUA				
		s en densité algale (ii				
	Code Taxon	Code Sandre	28/03/2018	30/05/2018	25/07/2018	26/09/2018
DINOPHYTA						
DINOPHYCEAE						
Gymnodinium	GYMSPX	4925				51
Peridinium	PERSPX	6577	3			
Dinophycées indéterminées	INDDIN	4900	3			
EUGLENOPHYTA						
EUGLENOPHYCEAE						
Colacium	COLSPX	6473			112	
Euglena	EUGSPX	6479	400			
Phacus oscillans Cf.	PHAOSC	33822				51
Phacus pyrum	PHAPYR	6515				51
Trachelomonas volvocina	TRAVOL	6544				51
Trachelomonas volvocinopsis	TRAVOC	6545			112	01
HAPTOPHYTA	1101100	00-10			112	
COCCOLITHOPHYCEAE						
Chrysochromulina parva	CCHPAR	31903	7 596	112	446	411
HETEROKONTOPHYTA	OOI II AIX	31903	7 590	112	770	711
CHRYSOPHYCEAE						
Bicosoeca planctonica	BIOPLA	40170		28		
Chromulina	CHUSPX	6114	200	20	670	103
Chrysococcus	CHSSPX	9570	5 397		670	103
Chrysococcus rufescens	CHSRUF	9570	3 391			51
Dinobryon sociale	DINSOC	6136	45			31
Kephyrion	KEPSPX	6150	400			
	OCHSPX					
Ochromonas	ОСНОРХ	6158	800			
DICTYOCHOPHYCEAE	DDDCDV	4704		20		
Pseudopedinella	PDPSPX	4764		28		
SYNUROPHYCEAE	MALODY	0000	000		440	
Mallomonas	MALSPX	6209	200		112	51
XANTHOPHYCEAE	000000	000.4			000	
Goniochloris	GOCSPX	6234		000	223	
Goniochloris pulchra	GOCPUL	20149		363	893	51
Nephrodiella lunaris	NEHLUN	9616		223	781	
Tetraëdriella jovetti	TEEJOV	9620	600	56		51
Trachydiscus	TRDSPX	20281	600			
Trachydiscus lenticularis	TRDLEN	20282		502	112	51
Trachydiscus minutus	TRDMIN	40217		223		
Xanthophycées indéterminées	INDXAN	1165	1 999	56		51
INDETERMINES	_					
INDETERMINES (classe)						
Flagellés indéterminés	INDFLA	0	1 999	28		103
Densité Algale totale (nb. d'individus/mL)			80 032	25 748	49 320	22 568
Richesse taxonomique (nb. de taxons identifiés)			56	79	67	79



		déterminations AQUAS en densité cellulaire (d				
	Sultats exprimes of Code Taxon	Code Sandre		30/05/2018	25/07/2018	26/09/201
BACILLARIOPHYTA						
Amphora pediculus Cf.	AMPPED	7116		28		
Cymatopleura	CYTSPX	9464	2	20		
	NIZSPX	9804	2 599		893	154
Nitzschia acicularis Cf.	NIZACI	8809		28	335	154
Nitzschia sigmoidea	NIZSID	9029	2			
COSCINODISCOPHYCEAE						
	AULGRA AULANG	8559 8561				514 360
FRAGILARIOPHYCEAE	AULANG	0001				300
Ulnaria ulna	ULNULN	6849	2			
INDETERMINES (classe)						
Diatomées centriques indéterminées <10 μη		6598	3 798	1 060	1 785	1 696
Diatomées centriques indéterminées > 10 μr	INDCEN	6598	1 999	279	446	617
MEDIOPHYCEAE	SKEPOT	8735		391		206
Skeletonema potamos CHAROPHYTA	SKEPUI	8735		391		206
CONJUGATOPHYCEAE						
Closterium	CLOSPX	4751	2			
Closterium acutum var. linea	CLOALI	9149		28	112	
Staurastrum	STASPX	1128				51
Staurastrum chaetoceras	STACHA	5454				51
MESOSTIGMATOPHYCEAE						
Mesostigma viride	MSTVIR	45186		28		
CHLOROPHYTA						
CHLORODENDROPHYCEAE Scherffelia	SCFSPX	38775	200			
Scrientella Tetraselmis cordiformis	TESCOR	5981	200		112	51
CHLOROPHYCEAE						- 31
	ACUACU	33639		697	2 790	411
Acutodesmus raciborskii	ACURAC	44717		223		411
Chlamydomonas < 10 μm	CHLSP5	6016		56	112	308
Chlamydomonas 10 - 20 μm	CHLS15	6016	999			
	NEW096	(vide)	5 997			
	NEW097	(vide)	2 399 400			
Chlorogonium Chlorogonium fusiforme Cf.	CHGSPX CHGFUS	6027 24396	400		112	
Chlorotetraedron incus	CLTICU	24397		28	112	
Choricystis minor	CCTMIN	10245	2 399	20		
Coelastrum astroideum	COEAST	5608	200	33 475	1 674	
Coelastrum microporum	COEMIC	5610		2 901		463
Crucigenia tetrapedia	CRUTET	5633		893	446	
Desmodesmus aculeolatus	DEDACU	37353		781		
Desmodesmus armatus	DEDARM	31930		1 451	4.047	206
Desmodesmus communis	DEDCOM DEDINT	31933 30028		6 583 7 811	4 017	206
Desmodesmus intermedius Desmodesmus opoliensis	DEDOPO	30026		1 339	1 004	823
Desmodesmus pannonicus	DEDPAN	31943		223	1 004	023
	DEDSUB	31950		6 472	2 678	823
Diplochloris	DCHSPX	5658	11 993			
Diplochloris lunata	DCHLUN	5659		223	3 348	1 851
Eudorina	EUDSPX	6033	55			
Kirchneriella	KIRSPX	4755	999	725		514
3	KIRIRR	5699		223		
	MONARO	32004	4.400		893	411
· · · · · · · · · · · · · · · · · · ·	MONARC MONCON	5729	1 199 1 999	84	112 1 451	103 360
Monoraphidium contortum Monoraphidium komarkovae	MONKOM	5731 5735	1 999	28	1 451	300
	MONNAN	9234		ںے		154
Parapediastrum biradiatum	PRPBIR	32023		167		
Pediastrum duplex	PEDDUP	5772		558	2 678	
Phacotus :	PHTSPX	6047		28	223	
Pseudodidymocystis planctonica	PSDPLA	5787		558		
	PPEBOR	42835		4 603	1 339	308
Pteromonas Pteromonas angulosa	PTESPX PTEANG	6049 6052			335 112	51 103
Pteromonas anguiosa Raphidocelis danubiana	RDODAN	31999	 	502	112	103
Scenedesmus	SCESPX	1136	1 599	1 339	893	720
Scenedesmus arcuatus	SCEARC	5807		1 172		. =0
Scenedesmus ellipticus	SCEELL	5826			446	
Schroederia antillarum	SCRANT	20247				103
Schroederia setigera	SCRSET	5867				51
Spermatozopsis exsultans	SZOEXU	9335	999			
Spermatozopsis similis	SZOSIM	34957	400	753	893	
Stauridium tetras Tetradesmus dimorphus	SRITET TEDDIM	42839 42829		753 1 004	893 446	206
Tetradesmus dimorphus Tetraedron caudatum	TEACAU	5885		363	223	200
Tetraedron minimum	TEAMIN	5888		474	112	
Tetraedron triangulare	TEATRI	5893		28	·	
Tetrastrum heteracanthum	TERHET	5898		112		206
Tetrastrum komarekii	TERKOM	5900		1 227		
Tetrastrum punctatum	TERPUN	5902				206
Tetrastrum staurogeniaeforme	TERSTA	5904	800	1 674		
Tetrastrum triangulare	TERTRI	9300	-	112		206
Verrucodesmus verrucosus Volvocales coloniales	VERVER NEW073	45274 6012		335 112		
Willea rectangularis	WILREC	35881		418		
Chlorococcales indéterminées	INDCHO	4746	1 999	391	670	360
					· · · · · ·	
Volvocales indéterminées	INDVOL	6012	400			
	INDVOL INDCCO	6012 3332	400 800			



	résultats exprimés	en densite <u>cellulaire (</u>				
	Code Taxon	Code Sandre	28/03/2018	30/05/2018	25/07/2018	26/09/2018
TREBOUXIOPHYCEAE						
Actinastrum hantzschii	ACSHAN	5591			893	771
Crucigeniella apiculata	CRCAPI	5635		8 285		
Dictyosphaerium	DICSPX	5645	800			
Dictyosphaerium subsolitarium	DICSUB	9192	1 599	5 356		2 262
Didymocystis	DIDSPX	5651	400			
Didymocystis inconspicua	DIDINS	20628		4 296		206
Didymocystis inermis	DIDINE	5653	1 599			206
Didymogenes palatina	DIYPAL	9195		56		
Hindakia tetrachotoma	HIDTET	41770	000		446	100
Koliella	KOLSPX	5285	999		223	103
Koliella longiseta	KOLLON	5286	600		223	103
Lagerheimia chodatii	LAGCHO	5710				51
Mucidosphaerium pulchellum	MUCPUL	34196		112		
Nephrochlamys rostrata	NECROS	5745		251		206
Nephrocytium agardhianum	NEPAGA	5747			446	
Oocystis	OOCSPX	5752		446	670	
Oocystis lacustris	OOCLAC	5757		335	446	
Oocystis parva	OOCPAR	5758		56		
Quadricoccus ellipticus	QUDELL	5795		335		
Siderocelis	SIDSPX	5872				51
Siderocelis ornata	SIDORN	5873		28		51
Tetrachlorella alternans	TCHALT	9293		112		
RYPTOPHYTA						
CRYPTOPHYCEAE						
Chroomonas	CHMSPX	6260			223	
Chroomonas coerulea Cf.	CHMCOE	9625				103
Cryptomonas	CRYSPX	6269	1 599	307	446	206
Cryptomonas curvata	CRYCUR	6270	12			
Cryptomonas erosa Cf.	CRYERO	6271		279	335	206
Cryptomonas marssonii	CRYMAR	6273		167		
Cryptomonas ovata Cf.	CRYOVA	6274		474		925
Plagioselmis lacustris	PLGLAC	9633	2 798			51
Plagioselmis nannoplanctica	PLGNAN	9634	999	837	3 124	617
YANOBACTERIA						
CYANOPHYCEAE						
Aphanizomenon	APHSPX	1103			29 458	2 159
Aphanocapsa	APASPX	6307			20 978	3 599
Aphanocapsa holsatica Cf.	APAHOL	6312		1 953		
Cuspidothrix issatschenkoi	CUSISS	33634			1 562	
Cyanocatena	CYESPX	34750	3 198			
Cyanogranis	CYGSPX	33847				2 262
Cyanogranis ferruginea	CYGFER	33848	1 599			1 131
Dolichospermum compactum	DOLCOM	36082			16 068	
Dolichospermum flos-aquae	DOLFLO	31958			116 494	
Limnothrix	LIMSPX	6445			7 365	5 141
Limnothrix redekei	LIMRED	6448	1 999	251	30 351	617
Merismopedia tenuissima	MERTEN	6330	95 945	670	3 571	823
Merismopedia trolleri	MERTRO	9715		446		
Merismopedia warmingiana	MERWAR	20320	50 371			
Microcystis	MIOSPX	4740				2 056
Planktolyngbya limnetica	PLLLIM	6467			12 051	8 328
Planktolyngbya minor Cf.	PLLMIN	32021			92 391	30 536
Planktothrix agardhii	PLAAGA	6430	173		180 766	217 144
Pseudanabaena	PSESPX	6453	-	195		
Pseudanabaena galeata	PSEGAL	6458	1		122 965	15 371
Romeria	ROMSPX	9699			1 116	·
Romeria leopoliensis	ROMLEO	20229			1 339	
Snowella lacustris	SNOLAC	6336			. 300	2 827
Synechococcus capitatus Cf.	SYCCAP	9725			670	257
Chrococcales indéterminées	INDCRO	4737			0,0	201
2.1100000000000000000000000000000000000	INDOSC	6391	17	ļ	٥,٥	



Composition o		ans l'étang du Romel		e 2018		,
		déterminations AQUA				
	Code Taxon	en densité cellulaire (Code Sandre	,	30/05/2018	25/07/2018	26/09/2018
DINOPHYTA	COGO TUXOII	Couo Cunaro	20,00,2010	COCCOCCOCC	20/01/2010	20/00/2010
DINOPHYCEAE						
Gymnodinium	GYMSPX	4925				51
Peridinium	PERSPX	6577	3			
Dinophycées indéterminées	INDDIN	4900	3			
EUGLENOPHYTA				•		
EUGLENOPHYCEAE						
Colacium	COLSPX	6473			112	
Euglena	EUGSPX	6479	400			
Phacus oscillans Cf.	PHAOSC	33822				51
Phacus pyrum	PHAPYR	6515				51
Trachelomonas volvocina	TRAVOL	6544				51
Trachelomonas volvocinopsis	TRAVOC	6545			112	<u> </u>
HAPTOPHYTA	1101100	00.10				
COCCOLITHOPHYCEAE						
Chrysochromulina parva	CCHPAR	31903	7 596	112	446	411
HETEROKONTOPHYTA		01000	7 000		110	
CHRYSOPHYCEAE						
Bicosoeca planctonica	BIOPLA	40170		28		
Chromulina	CHUSPX	6114	200	20	670	103
Chrysococcus	CHSSPX	9570	5 397		0.0	100
Chrysococcus rufescens	CHSRUF	9571	0 00.			51
Dinobryon sociale	DINSOC	6136	45			- 01
Kephyrion	KEPSPX	6150	400			-
Ochromonas	OCHSPX	6158	800			
DICTYOCHOPHYCEAE	0011017	0.00				
Pseudopedinella	PDPSPX	4764		28		
SYNUROPHYCEAE				0		
Mallomonas	MALSPX	6209	200		112	51
XANTHOPHYCEAE		0200			····	<u> </u>
Goniochloris	GOCSPX	6234			223	
Goniochloris pulchra	GOCPUL	20149		363	893	51
Nephrodiella lunaris	NEHLUN	9616		223	781	
Tetraëdriella jovetti	TEEJOV	9620		56		51
Trachydiscus	TRDSPX	20281	600	- 55		<u> </u>
Trachydiscus lenticularis	TRDLEN	20282		502	112	51
Trachydiscus minutus	TRDMIN	40217		223		
Xanthophycées indéterminées	INDXAN	1165	1 999	56		51
INDETERMINES			1 000			<u> </u>
INDETERMINES (classe)						
Flagellés indéterminés	INDFLA	0	1 999	28		103
Densité Cellulaire totale (nb. de cellules/mL)			228 585	108 850	678 876	313 019
Richesse taxonomique (nb. de taxons identifiés)	+		56	79	67	79
Densité totale de Cyanobactéries pot. toxiques	+		190	195	328 280	221 360

Les prestations rapportées dans ce tableau sont couvertes par l'accréditation, exceptés les "amas flottants de cyanobactéries" (CYANOBACTERIA) non couverts par l'accréditation



		i <mark>ns l'étang du Romel</mark> déterminations AQUA	SCOP			
	résultats exprim	és en biovolume (mr		20/05/2019	25/07/2018	26/00/2019
ACILLARIOPHYTA	Code Taxon	Code Sandre	28/03/2018	30/05/2018	25/07/2018	26/09/2018
BACILLARIOPHYCEAE						
Amphora pediculus Cf.	AMPPED	7116		0,004		
Cymatopleura	CYTSPX	9464	0,074			
Nitzschia	NIZSPX	9804	2,079		0,714	0,123
Nitzschia acicularis Cf.	NIZACI	8809		0,008	0,098	0,045
Nitzschia sigmoidea	NIZSID	9029	0,063			
COSCINODISCOPHYCEAE						
Aulacoseira granulata	AULGRA	8559				0,694
Aulacoseira granulata var. angustissima FRAGILARIOPHYCEAE	AULANG	8561				0,163
Ulnaria ulna	ULNULN	6849	0,008			
INDETERMINES (classe)	OLINOLIN	0049	0,006			
Diatomées centriques indéterminées <10 µn	INDCE5	6598	0,418	0,117	0.196	0.187
Diatomées centriques indéterminées > 10 µi		6598	1,073	0,117	0,130	0,331
MEDIOPHYCEAE			.,,,,,	0,100	0,2.10	0,001
Skeletonema potamos	SKEPOT	8735		0,078		0,041
HAROPHYTA						
CONJUGATOPHYCEAE						
Closterium	CLOSPX	4751	0,125			
Closterium acutum var. linea	CLOALI	9149		0,020	0,079	
Staurastrum	STASPX	1128				0,383
Staurastrum chaetoceras	STACHA	5454				0,321
MESOSTIGMATOPHYCEAE						
Mesostigma viride	MSTVIR	45186		0,008		
HLOROPHYTA						
CHLORODENDROPHYCEAE	005051			ļ		
Scherffelia	SCFSPX	38775	0,101		0.00-	
Tetraselmis cordiformis	TESCOR	5981			0,222	0,102
CHLOROPHYCEAE	A CLIA CLI	22620	-	0.040	0.005	0.407
Acutodesmus acuminatus	ACUACU	33639	-	0,216	0,865	0,127
Acutodesmus raciborskii Chlamydomonas < 10 µm	ACURAC CHLSP5	44717 6016	+	0,004 0,001	0,003	0,008 0,007
			0.440	0,001	0,003	0,007
Chlamydomonas 10 - 20 μm Chlorococcales 2μm	CHLS15 NEW096	6016	0,440 0,024			
Chlorococcales 4µm	NEW096 NEW097	(vide) (vide)	0,024			
Chlorogonium	CHGSPX	(vide) 6027	0,079			
Chlorogonium fusiforme Cf.	CHGFUS	24396	0,146		0,007	
Chlorotetraedron incus	CLTICU	24397		0,052	0,007	
Choricystis minor	CCTMIN	10245	0,022	0,032		
Coelastrum astroideum	COEAST	5608	0,014	2,410	0,121	
Coelastrum microporum	COEMIC	5610	0,011	0,543	0,121	0.087
Crucigenia tetrapedia	CRUTET	5633		0,121	0,060	-,
Desmodesmus aculeolatus	DEDACU	37353		0,059	5,000	
Desmodesmus armatus	DEDARM	31930		0,512		0,073
Desmodesmus communis	DEDCOM	31933		2,396	1,462	0,075
Desmodesmus intermedius	DEDINT	30028		0,680		
Desmodesmus opoliensis	DEDOPO	30006		0,410	0,307	0,252
Desmodesmus pannonicus	DEDPAN	31943		0,134		
Desmodesmus subspicatus	DEDSUB	31950		2,446	1,350	0,311
Diplochloris	DCHSPX	5658	0,180			
Diplochloris lunata	DCHLUN	5659		0,014	0,208	0,115
Eudorina	EUDSPX	6033	0,030			
Kirchneriella	KIRSPX	4755	0,164	0,119		0,084
Kirchneriella irregularis	KIRIRR	5699		0,024		
Monactinus simplex	MOTSIM	32004			1,725	0,795
Monoraphidium arcuatum	MONARC	5729	0,041		0,004	0,003
Monoraphidium contortum	MONCON	5731	0,226	0,009	0,164	0,041
Monoraphidium komarkovae	MONKOM	5735	-	0,004		0.000
Monoraphidium nanum	MONNAN	9234	1	0.440		0,000
Parapediastrum biradiatum Pediastrum duplex	PRPBIR	32023		0,112	2.169	
Pediastrum duplex Phacotus	PEDDUP PHTSPX	5772 6047	-	0,452 0,064	2,169 0,511	
Pnacotus Pseudodidymocystis planctonica	PSDPLA	5787	-	0,064	0,517	
Pseudopediastrum boryanum	PPEBOR	42835		3,535	1,028	0,237
Pteromonas	PTESPX	6049	1	3,555	0,231	0,035
Pteromonas angulosa	PTEANG	6052	_		0,231	0,035
Raphidocelis danubiana	RDODAN	31999		0,040	3,527	0,020
Scenedesmus	SCESPX	1136	0,128	0,107	0,071	0,058
Scenedesmus arcuatus	SCEARC	5807	.,	0,363	-,,	.,
Scenedesmus ellipticus	SCEELL	5826		, -	0,104	
Schroederia antillarum	SCRANT	20247				0,009
Schroederia setigera	SCRSET	5867				0,013
Spermatozopsis exsultans	SZOEXU	9335	0,009			
Spermatozopsis similis	SZOSIM	34957	0,002			
Stauridium tetras	SRITET	42839		0,264	0,312	
Tetradesmus dimorphus	TEDDIM	42829		0,158	0,070	0,032
	TEACAU	5885		0,160	0,098	
Tetraedron caudatum	TEAMIN	5888		0,166	0,039	
Tetraedron minimum	TEATRI	5893		0,009		
Tetraedron minimum Tetraedron triangulare		5898		0,014		0,025
Tetraedron minimum Tetraedron triangulare Tetrastrum heteracanthum	TERHET					
Tetraedron minimum Tetraedron triangulare Tetrastrum heteracanthum Tetrastrum komarekii	TERHET TERKOM	5900		0,129		
Tetraedron minimum Tetraedron triangulare Tetrastrum heteracanthum Tetrastrum komarekii Tetrastrum punctatum	TERHET TERKOM TERPUN	5900 5902				0,005
Tetraedron minimum Tetraedron triangulare Tetrastrum heteracanthum Tetrastrum komarekii Tetrastrum punctatum Tetrastrum staurogeniaeforme	TERHET TERKOM TERPUN TERSTA	5900 5902 5904	0,038	0,080		
Tetraedron minimum Tetraedron triangulare Tetrastrum heteracanthum Tetrastrum komarekii Tetrastrum punctatum Tetrastrum staurogeniaeforme Tetrastrum triangulare	TERHET TERKOM TERPUN TERSTA TERTRI	5900 5902 5904 9300	0,038	0,080 0,007		0,005 0,013
Tetraedron minimum Tetraedron triangulare Tetrastrum heteracanthum Tetrastrum komarekii Tetrastrum punctatum Tetrastrum staurogeniaeforme Tetrastrum triangulare Verrucodesmus verrucosus	TERHET TERKOM TERPUN TERSTA TERTRI VERVER	5900 5902 5904 9300 45274	0,038	0,080 0,007 0,025		
Tetraedron minimum Tetraedron triangulare Tetrastrum heteracanthum Tetrastrum komarekii Tetrastrum punctatum Tetrastrum staurogeniaeforme Tetrastrum triangulare Verrucodesmus verrucosus Volvocales coloniales	TERHET TERKOM TERPUN TERSTA TERTRI VERVER NEW073	5900 5902 5904 9300 45274 6012	0,038	0,080 0,007 0,025 0,020		
Tetraedron minimum Tetraedron triangulare Tetrastrum heteracanthum Tetrastrum komarekii Tetrastrum punctatum Tetrastrum staurogeniaeforme Tetrastrum triangulare Verrucodesmus verrucosus Volvocales coloniales Willea rectangularis	TERHET TERKOM TERPUN TERSTA TERTRI VERVER NEW073 WILREC	5900 5902 5904 9300 45274 6012 35881		0,080 0,007 0,025 0,020 0,040		0,013
Tetraedron minimum Tetraedron triangulare Tetrastrum heteracanthum Tetrastrum komarekii Tetrastrum punctatum Tetrastrum staurogeniaeforme Tetrastrum triangulare Verrucodesmus verrucosus Volvocales coloniales Willea rectangularis Chlorococcales indéterminées	TERHET TERKOM TERPUN TERSTA TERTRI VERVER NEW073 WILREC INDCHO	5900 5902 5904 9300 45274 6012 35881 4746	0,444	0,080 0,007 0,025 0,020	0,149	
Tetraedron minimum Tetraedron triangulare Tetrastrum heteracanthum Tetrastrum komarekii Tetrastrum punctatum Tetrastrum staurogeniaeforme Tetrastrum triangulare Verrucodesmus verrucosus Volvocales coloniales Willea rectangularis Chlorococcales indéterminées Volvocales indéterminées	TERHET TERKOM TERPUN TERSTA TERTRI VERVER NEW073 WILREC INDCHO INDVOL	5900 5902 5904 9300 45274 6012 35881 4746 6012	0,444 0,072	0,080 0,007 0,025 0,020 0,040	0,149	0,013
Tetraedron minimum Tetraedron triangulare Tetrastrum heteracanthum Tetrastrum komarekii Tetrastrum punctatum Tetrastrum staurogeniaeforme Tetrastrum triangulare Verrucodesmus verrucosus Volvocales coloniales Willea rectangularis Chlorococcales indéterminées	TERHET TERKOM TERPUN TERSTA TERTRI VERVER NEW073 WILREC INDCHO	5900 5902 5904 9300 45274 6012 35881 4746	0,444	0,080 0,007 0,025 0,020 0,040	0,149	0,013



Composi		ans l'étang du Romel déterminations AQUA rés en biovolume (mr	SCOP	ne 2018		
	Code Taxon	Code Sandre	28/03/2018	30/05/2018	25/07/2018	26/09/2018
TREBOUXIOPHYCEAE						
Actinastrum hantzschii	ACSHAN	5591			0,115	0,099
Crucigeniella apiculata	CRCAPI	5635		0,406		
Dictyosphaerium	DICSPX	5645	0,021			
Dictyosphaerium subsolitarium	DICSUB	9192	0,013	0,043		0,018
Didymocystis	DIDSPX	5651	0,007			
Didymocystis inconspicua	DIDINS	20628		0,125		0,006
Didymocystis inermis	DIDINE	5653	0,177			0,023
Didymogenes palatina	DIYPAL	9195		0,003		
Hindakia tetrachotoma	HIDTET	41770			0,047	
Koliella	KOLSPX	5285	0,230		0,051	0,024
Koliella longiseta	KOLLON	5286	0,180		0,067	0,031
Lagerheimia chodatii	LAGCHO	5710				0,009
Mucidosphaerium pulchellum	MUCPUL	34196		0,016		
Nephrochlamys rostrata	NECROS	5745		0,007		0,005
Nephrocytium agardhianum	NEPAGA	5747			0,112	
Oocystis	OOCSPX	5752		0,107	0,161	
Oocystis lacustris	OOCLAC	5757		0,035	0,047	
Oocystis parva	OOCPAR	5758		0,004		
Quadricoccus ellipticus	QUDELL	5795		0,308		
Siderocelis	SIDSPX	5872				0,019
Siderocelis ornata	SIDORN	5873		0,006		0,011
Tetrachlorella alternans	TCHALT	9293		0,051		
CRYPTOPHYTA						
CRYPTOPHYCEAE						
Chroomonas	CHMSPX	6260			0,013	
Chroomonas coerulea Cf.	CHMCOE	9625				0,013
Cryptomonas	CRYSPX	6269	2,834	0,544	0,791	0,364
Cryptomonas curvata	CRYCUR	6270	0,032			
Cryptomonas erosa Cf.	CRYERO	6271		0,316	0,379	0,233
Cryptomonas marssonii	CRYMAR	6273		0,201		
Cryptomonas ovata Cf.	CRYOVA	6274		0,993		1,938
Plagioselmis lacustris	PLGLAC	9633	0,196	.,		0,004
Plagioselmis nannoplanctica	PLGNAN	9634	0,070	0,059	0,219	0,043
CYANOBACTERIA						-,
CYANOPHYCEAE						
Aphanizomenon	APHSPX	1103			2,121	0,155
Aphanocapsa	APASPX	6307			0,042	0,007
Aphanocapsa holsatica Cf.	APAHOL	6312		0,002	0,0	0,00.
Cuspidothrix issatschenkoi	CUSISS	33634		0,002	0,062	
Cyanocatena	CYESPX	34750	0,008		0,002	
Cyanogranis	CYGSPX	33847	0,000			0,002
Cyanogranis ferruginea	CYGFER	33848	0,002			0,002
Dolichospermum compactum	DOLCOM	36082	0,002		0,771	0,001
Dolichospermum flos-aquae	DOLECOM	31958			12,232	
Limnothrix	LIMSPX	6445			0,228	0,159
			0.054	0.007		
Limnothrix redekei Merismopedia tenuissima	LIMRED MERTEN	6448 6330	0,054 0,096	0,007 0,001	0,819 0,004	0,017
Merismopedia tenuissima Merismopedia trolleri	MERTRO	9715	0,096	0,001	0,004	0,001
			0.015	0,003		
Merismopedia warmingiana Microcystis	MERWAR	20320	0,015			0.545
•	MIOSPX	4740			0.000	0,545
Planktolyngbya limnetica	PLLLIM	6467			0,036	0,025
Planktolyngbya minor Cf.	PLLMIN	32021	0.040		0,222	0,073
Planktothrix agardhii	PLAAGA	6430	0,010	0.000	10,846	13,029
Pseudanabaena	PSESPX	6453		0,008	4 4 4 4 4 4 4 4 4 4 4 4 4 4 4 4 4 4 4 4	0.100
Pseudanabaena galeata	PSEGAL	6458			1,107	0,138
Romeria	ROMSPX	9699			0,004	
Romeria leopoliensis	ROMLEO	20229			0,005	
Snowella lacustris	SNOLAC	6336				0,028
Synechococcus capitatus Cf.	SYCCAP	9725			0,005	0,002
Chroococcales indéterminées	INDCRO	4737			0,000	
Oscillatoriales indéterminées	INDOSC	6391	0,002			



Composition d		ans l'étang du Romel		ie 2018		
		déterminations AQUA				
		iés en biovolume (mr		00/05/00/0	05/05/00/0	00/00/00/0
DIVODINA	Code Taxon	Code Sandre	28/03/2018	30/05/2018	25/07/2018	26/09/2018
DINOPHYTA						
DINOPHYCEAE	0)/1405)/	4005				
Gymnodinium	GYMSPX	4925				0,067
Peridinium	PERSPX	6577	0,032			
Dinophycées indéterminées	INDDIN	4900	0,059			
EUGLENOPHYTA						
EUGLENOPHYCEAE	001051					
Colacium 	COLSPX	6473			0,081	
Euglena	EUGSPX	6479	0,560			
Phacus oscillans Cf.	PHAOSC	33822				0,037
Phacus pyrum	PHAPYR	6515				0,149
Trachelomonas volvocina	TRAVOL	6544				0,100
Trachelomonas volvocinopsis	TRAVOC	6545			0,218	
HAPTOPHYTA						
COCCOLITHOPHYCEAE						
Chrysochromulina parva	CCHPAR	31903	0,220	0,003	0,013	0,012
HETEROKONTOPHYTA						
CHRYSOPHYCEAE						
Bicosoeca planctonica	BIOPLA	40170		0,015		
Chromulina	CHUSPX	6114	0,028		0,094	0,014
Chrysococcus	CHSSPX	9570	0,459			
Chrysococcus rufescens	CHSRUF	9571				0,008
Dinobryon sociale	DINSOC	6136	0,004			
Kephyrion	KEPSPX	6150	0,025			
Ochromonas	OCHSPX	6158	0,080			
DICTYOCHOPHYCEAE						
Pseudopedinella	PDPSPX	4764		0,012		
SYNUROPHYCEAE						
Mallomonas	MALSPX	6209	0,534		0,298	0,137
XANTHOPHYCEAE						
Goniochloris	GOCSPX	6234			0,176	
Goniochloris pulchra	GOCPUL	20149		0,075	0,186	0,011
Nephrodiella lunaris	NEHLUN	9616		0,042	0,148	
Tetraëdriella jovetti	TEEJOV	9620		0,022		0,021
Trachydiscus	TRDSPX	20281	0,034			
Trachydiscus lenticularis	TRDLEN	20282		0,067	0,015	0,007
Trachydiscus minutus	TRDMIN	40217		0,011	,	
Xanthophycées indéterminées	INDXAN	1165	0,228	0,006		0,006
INDETERMINES				,		,
INDETERMINES (classe)	†					
Flagellés indéterminés	INDFLA	0	0,067	0,001		0,003
Biomasse Algale totale (mg/L)		-	12.5	19.9	44.4	22.5
Biomasse Carbone totale (mg C/I)			1,6	3,1	8,6	4,2
Richesse taxonomique (nb. de taxons identifiés)			56	79	67	79



résultats e	xprimés en densité		07/00/07	00/05/55:5	04/0=/
BACILLARIOPHYTA	Code Taxon	Code Sandre	27/03/2018	29/05/2018	24/07/2018
BACILLARIOPHYCEAE					
Achnanthidium	ACDSPX	9356		9	
Nitzschia	NIZSPX	9804	54		
Nitzschia acicularis Cf.	NIZACI	8809	82		
COSCINODISCOPHYCEAE					
Aulacoseira ambigua	AULAMB	8554		19	
Aulacoseira pusilla	AULPUS	11270		37	
FRAGILARIOPHYCEAE					
Asterionella formosa	ASTFOR	4860		37	
Fragilaria	FRASPX	9533	245		
Fragilariaceae	NEW007	20608	190		
INDETERMINES (classe)					
Diatomées centriques indéterminées <10 µm	INDCE5	6598		149	308
Diatomées centriques indéterminées > 10 μm	INDCEN	6598		9	154
MEDIOPHYCEAE					
Cyclostephanos delicatus	CYSDEL	8598	598		
Cyclostephanos dubius	CYSDUB	8599	245		
Cyclostephanos invisitatus	CYSINV	8600	353		
Cyclotella meneghiniana	CYCMEN	8633	27		
Discostella pseudostelligera	DISPSE	8656	272		
Stephanodiscus hantzschii	STEHAN	8746	163		
Stephanodiscus minutulus	STEMIN	8753	163		
CHAROPHYTA					
KLEBSORMIDIOPHYCEAE					
Elakatothrix gelatinosa	ELAGEL	5664		9	
CHLOROPHYTA					
CHLORODENDROPHYCEAE					
Scherffelia	SCFSPX	38775	27		
CHLOROPHYCEAE					
Acutodesmus acuminatus	ACUACU	33639		9	
Ankyra judayi	ANYJUD	5596		28	
Chlamydomonas < 10 μm	CHLSP5	6016			308
Chlamydomonas 10 - 20 μm	CHLS15	6016	136	28	
Chlorococcales 2µm	NEW 096	4746	54		
Chlorococcales 4µm	NEW097	4746	27		
Coelastrum astroideum	COEAST	5608		46	
Crucigenia tetrapedia	CRUTET	5633		19	
Desmodesmus aculeolatus	DEDACU	37353		19	
Desmodesmus armatus	DEDARM	31930		9	
Desmodesmus communis	DEDCOM	31933		37	
Desmodesmus intermedius	DEDINT	30028		46	
Desmodesmus opoliensis	DEDOPO	30006			51
Desmodesmus subspicatus	DEDSUB	31950		65	51
Kirchneriella	KIRSPX	4755		84	103
Monoraphidium arcuatum	MONARC	5729	27	9	
Monoraphidium contortum	MONCON	5731		9	51
Monoraphidium griffithii	MONGRI	5734		9	51
Pediastrum duplex	PEDDUP	5772		19	
Phacotus	PHTSPX	6047		158	
Pseudodidymocystis planctonica	PSDPLA	5787		28	
Schroederia antillarum	SCRANT	20247		9	
Spermatozopsis exsultans	SZOEXU	9335	27		
Stauridium tetras	SRITET	42839		19	
Tetraedron caudatum	TEACAU	5885		46	
Tetraedron minimum	TEAMIN	5888		37	51
Tetrastrum elegans	TERELE	9299	27		
Tetrastrum komarekii	TERKOM	5900			1 080
Tetrastrum staurogeniaeforme	TERSTA	5904		9	
Treubaria triappendiculata	TRETRI	5913			51
Chlorococcales indéterminées	INDCHO	4746		177	103
Volvocales indéterminées	INDVOL	6012			720
TREBOUXIOPHYCEAE					
Dictyosphaerium	DICSPX	5645	27		
Dictyosphaerium subsolitarium	DICSUB	9192		28	
Didymocystis inconspicua	DIDINS	20628		130	51
Didymocystis inemis	DIDINE	5653			103
Hindakia tetrachotoma	HIDTET	41770			51
Koliella	KOLSPX	5285		19	<u> </u>
Koliella longiseta	KOLLON	5286	272		
Mucidosphaerium pulchellum	MUCPUL	34196		9	
Oocystis	OOCSPX	5752	27	46	51
Oocystis lacustris	OOCLAC	5757	۷۱	46	JI
Siderocelis	SIDSPX	5872		19	
Siderocelis Siderocelis ornata	SIDORN	5873		9	
	LOUIN JKIN	1:007.5	1	. 9	8



	plancton dans le lac d ments et détermination exprimés en densité :	ns AQUASCOP	.gnc 2010		
iesuidis	Code Taxon	Code Sandre	27/03/2018	29/05/2018	24/07/2018
CRYPTOPHYTA					
CRYPTOPHYCEAE					
Cryptomonas	CRYSPX	6269	326	316	411
Cryptomonas curvata	CRYCUR	6270		19	
Cryptomonas erosa Cf.	CRYERO	6271		167	
Cryptomonas marssonii	CRYMAR	6273		205	51
Cryptomonas ovata Cf.	CRYOVA	6274		28	51
Plagioselmis lacustris	PLGLAC	9633	82		
Plagioselmis nannoplanctica	PLGNAN	9634	869	511	360
Cryptophycées indéterminées	INDCRY	4765	190		
CYANOBACTERIA					
CYANOPHYCEAE					
Aphanizomenon klebahnii	APHKLE	35569			17 273
Aphanocapsa	APASPX	6307		9	
Chroococcus limneticus	CHRLIM	6358			51
Cuspidothrix issatschenkoi	CUSISS	33634			51
Cyanocatena planctonica	CYEPLA	34751		19	
Cyanogranis	CYGSPX	33847		28	2 930
Cyanogranis ferruginea	CYGFER	33848		37	51
Dolichospermum compactum	DOLCOM	36082			103
Dolichospermum flos-aquae	DOLFLO	31958			463
Dolichospermum planctonicum	DOLPLA	31959			771
Limnothrix	LIMSPX	6445			360
Microcystis	MIOSPX	4740		167	2 879
Microcystis wesenbergii	MIOWES	6384			51
Planktolyngbya minor Cf.	PLLMIN	32021			103
Romeria	ROMSPX	9699	· ·		51
Sphaerospermopsis aphanizomenoides	SPSAPH	32051			103
Synechococcus capitatus Cf.	SYCCAP	9725			154
DINOPHYTA					
DINOPHYCEAE					
Gymnodinium	GYMSPX	4925		28	51
Peridinium	PERSPX	6577			206
EUGLENOPHYTA					
EUGLENOPHYCEAE			,		
Colacium	COLSPX	6473		9	
Euglena	EUGSPX	6479	27	9	
Trachelomonas	TRASPX	6527	27		
Trachelomonas volvocina	TRAVOL	6544			51
HAPTOPHYTA					
COCCOLITHOPHYCEAE					
Chrysochromulina parva	CCHPAR	31903	3 831	2 064	51
HETEROKONTOPHYTA					
CHRYSOPHYCEAE					
Bicosoeca	BIOSPX	20672	27		
Chromulina	CHUSPX	6114		37	
Chrysococcus	CHSSPX	9570	1 114	G,	
Chrysococcus cordiformis Cf.	NEW054	40762	190		
Chrysococcus cordiformis Ci. Chrysococcus rufescens	CHSRUF	9571	130	37	
	CYYPLA		54	ા	
Chrysolykos planctonicus Chrysophycées flagellés	NEW023	6118			
	DINSPX	1160	136	105	
Dinobryon		6124	07	195	
Dinobryon crenulatum	DINCRE	9577	27	_	
Dinobryon divergens	DINDIV	6130		9	
	DINSOC	6136		214	
Dinobryon sociale					
Dinobryon sociale Kephyrion rubri-claustri	KEPRUB	6152		139	
Dinobryon sociale Kephyrion rubri-claustri Ochromonas	KEPRUB OCHSPX	6152 6158	353		
Dinobryon sociale Kephyrion rubri-claustri Ochromonas Chrysophycées indéterminées	KEPRUB	6152	353	93	
Dinobryon sociale Kephyrion rubri-claustri Ochromonas Chrysophycées indéterminées SYNUROPHYCEAE	KEPRUB OCHSPX INDCHR	6152 6158 1160	353	93	
Dinobryon sociale Kephyrion rubri-claustri Ochromonas Chrysophycées indéterminées SYNUROPHYCEAE Mallomonas	KEPRUB OCHSPX INDCHR MALSPX	6152 6158 1160 6209	353	93 65	
Dinobryon sociale Kephyrion rubri-claustri Ochromonas Chrysophycées indéterminées SYNUROPHYCEAE Mallomonas Mallomonas akrokomos	KEPRUB OCHSPX INDCHR	6152 6158 1160	353	93	
Dinobryon sociale Kephyrion rubri-claustri Ochromonas Chrysophycées indéterminées SYNUROPHYCEAE Mallomonas	KEPRUB OCHSPX INDCHR MALSPX	6152 6158 1160 6209	353	93 65	
Dinobryon sociale Kephyrion rubri-claustri Ochromonas Chrysophycées indéterminées SYNUROPHYCEAE Mallomonas Mallomonas akrokomos	KEPRUB OCHSPX INDCHR MALSPX	6152 6158 1160 6209	353	93 65	
Dinobryon sociale Kephyrion rubri-claustri Ochromonas Chrysophycées indéterminées SYNUROPHYCEAE Mallomonas Mallomonas akrokomos XANTHOPHYCEAE	KEPRUB OCHSPX INDCHR MALSPX MALAKR	6152 6158 1160 6209 6211	353	93 65 9	
Dinobryon sociale Kephyrion rubri-claustri Ochromonas Chrysophycées indéterminées SYNUROPHYCEAE Mallomonas Mallomonas akrokomos XANTHOPHYCEAE Goniochloris pulchra	KEPRUB OCHSPX INDCHR MALSPX MALAKR GOCPUL	6152 6158 1160 6209 6211	353	93 65 9	
Dinobryon sociale Kephyrion rubri-claustri Ochromonas Chrysophycées indéterminées SYNUROPHYCEAE Mallomonas Mallomonas akrokomos XANTHOPHYCEAE Goniochloris pulchra Nephrodiella lunaris	KEPRUB OCHSPX INDCHR MALSPX MALSPX MALAKR GOCPUL NEHLUN	6152 6158 1160 6209 6211 20149 9616	353	93 65 9 46 288	
Dinobryon sociale Kephyrion rubri-claustri Ochromonas Chrysophycées indéterminées SYNUROPHYCEAE Mallomonas Mallomonas akrokomos XANTHOPHYCEAE Goniochloris pulchra Nephrodiella lunaris Trachydiscus lenticularis Trachydiscus minutus	KEPRUB OCHSPX INDCHR MALSPX MALAKR GOCPUL NEHLUN TRDLEN TRDMIN	6152 6158 1160 6209 6211 20149 9616 20282 40217	353	93 65 9 46 288 9	
Dinobryon sociale Kephyrion rubri-claustri Ochromonas Chrysophycées indéterminées SYNUROPHYCEAE Mallomonas Mallomonas akrokomos XANTHOPHYCEAE Goniochloris pulchra Nephrodiella lunaris Trachydiscus lenticularis Trachydiscus minutus Xanthophycées indéterminées	KEPRUB OCHSPX INDCHR MALSPX MALAKR GOCPUL NEHLUN TRDLEN	6152 6158 1160 6209 6211 20149 9616 20282		93 65 9 46 288 9	
Dinobryon sociale Kephyrion rubri-claustri Ochromonas Chrysophycées indéterminées SYNUROPHYCEAE Mallomonas Mallomonas akrokomos XANTHOPHYCEAE Goniochloris pulchra Nephrodiella lunaris Trachydiscus lenticularis Trachydiscus minutus Xanthophycées indéterminées NDETERMINES	KEPRUB OCHSPX INDCHR MALSPX MALAKR GOCPUL NEHLUN TRDLEN TRDMIN	6152 6158 1160 6209 6211 20149 9616 20282 40217		93 65 9 46 288 9	
Dinobryon sociale Kephyrion rubri-claustri Ochromonas Chrysophycées indéterminées SYNUROPHYCEAE Mallomonas Mallomonas akrokomos XANTHOPHYCEAE Goniochloris pulchra Nephrodiella lunaris Trachydiscus lenticularis Trachydiscus minutus Xanthophycées indéterminées INDETERMINES INDETERMINES (classe)	KEPRUB OCHSPX INDCHR MALSPX MALAKR GOCPUL NEHLUN TRDLEN TRDMIN INDXAN	6152 6158 1160 6209 6211 20149 9616 20282 40217 1165	815	93 65 9 46 288 9	
Dinobryon sociale Kephyrion rubri-claustri Ochromonas Chrysophycées indéterminées SYNUROPHYCEAE Mallomonas Mallomonas akrokomos XANTHOPHYCEAE Goniochloris pulchra Nephrodiella lunaris Trachydiscus lenticularis Trachydiscus minutus Xanthophycées indéterminées NDETERMINES INDETERMINES (classe) Flagellés indéterminés	KEPRUB OCHSPX INDCHR MALSPX MALAKR GOCPUL NEHLUN TRDLEN TRDMIN INDXAN INDFLA	6152 6158 1160 6209 6211 20149 9616 20282 40217 1165	815	93 65 9 46 288 9	
Dinobryon sociale Kephyrion rubri-claustri Ochromonas Chrysophycées indéterminées SYNUROPHYCEAE Mallomonas Mallomonas ak rok omos XANTHOPHYCEAE Goniochloris pulchra Nephrodiella lunaris Trachydiscus lenticularis Trachydiscus minutus Xanthophycées indéterminées NDETERMINES INDETERMINES (classe)	KEPRUB OCHSPX INDCHR MALSPX MALAKR GOCPUL NEHLUN TRDLEN TRDMIN INDXAN	6152 6158 1160 6209 6211 20149 9616 20282 40217 1165	815	93 65 9 46 288 9	29 970



resultats exp	rimés en densité ce Code Taxon	Code Sandre	27/03/2018	29/05/2018	24/07/2018
BACILLARIOPHYTA					
BACILLARIOPHYCEAE					
Achnanthidium	ACDSPX	9356		9	
Nitzschia	NIZSPX	9804	54		
Nitzschia acicularis Cf.	NIZACI	8809	82		
COSCINODISCOPHYCEAE					
Aulacoseira ambigua	AULAMB	8554		19	
Aulacoseira pusilla	AULPUS	11270		37	
FRAGILARIOPHYCEAE Asterionella formosa	AOTEOD	4000		07	
Asterionella formosa Fragilaria	ASTFOR FRASPX	4860 9533	245	37	
Fragilariaceae Fragilariaceae	NEW007	20608	245 190		
INDETERMINES (classe)	INE VV OUT	20008	190		
Diatomées centriques indéterminées <10 µm	INDCE5	6598		149	308
Diatomées centriques indéterminées > 10 µm	INDCEN	6598		9	154
MEDIOPHYCEAE		0000			.0.
Cyclostephanos delicatus	CYSDEL	8598	598		
Cyclostephanos dubius	CYSDUB	8599	245		
Cyclostephanos invisitatus	CYSINV	8600	353		
Cyclotella meneghiniana	CYCMEN	8633	27		
Discostella pseudostelligera	DISPSE	8656	272		
Stephanodiscus hantzschii	STEHAN	8746	163		
Stephanodiscus minutulus	STEMIN	8753	163		
CHAROPHYTA					
KLEBSORMIDIOPHYCEAE					
Elak atothrix gelatinosa	ELAGEL	5664		9	
CHLOROPHYTA					
CHLORODENDROPHYCEAE	005051				
Scherffelia	SCFSPX	38775	27		
CHLOROPHYCEAE	1.0111.011	00000		~=	
Acutodesmus acuminatus	ACUACU	33639		37 28	
Ankyra judayi Chlamydomonas < 10 μm	ANYJUD CHLSP5	5596 6016		28	308
Chlamydomonas < 10 µm	CHLS15	6016	136	28	300
Chlorococcales 2µm	NEW096	4746	54	20	
Chlorococcales 4µm	NEW097	4746	27		
Coelastrum astroideum	COEAST	5608		418	
Crucigenia tetrapedia	CRUTET	5633		74	
Desmodesmus aculeolatus	DEDACU	37353		74	
Desmodesmus armatus	DEDARM	31930		37	
Desmodesmus communis	DEDCOM	31933		74	
Desmodesmus intermedius	DEDINT	30028		186	
Desmodesmus opoliensis	DEDOPO	30006			206
Desmodesmus subspicatus	DEDSUB	31950		195	206
Kirchneriella	KIRSPX	4755		84	103
Monoraphidium arcuatum	MONARC	5729	27	9	
Monoraphidium contortum	MONCON	5731		9	51
Monoraphidium griffithii	MONGRI	5734		9	51
Pediastrum duplex	PEDDUP	5772		112	
Phacotus	PHTSPX	6047		158	
Pseudodidymocystis planctonica	PSDPLA	5787		56	
Schroederia antillarum Spermatozopsis exsultans	SCRANT	20247	27	9	
Spermatozopsis exsultans Stauridium tetras	SZOEXU SRITET	9335 42839	27	112	
Staundium tetras Tetraedron caudatum	TEACAU	5885		46	
Tetraedron minimum	TEAMIN	5888		37	51
Tetraedron minimum Tetrastrum elegans	TERELE	9299	109	ગ	ان
Tetrastrum komarekii	TERKOM	5900	108		4 318
Tetrastrum staurogeniaeforme	TERSTA	5904		37	7 010
Treubaria triappendiculata	TRETRI	5913		<u> </u>	51
Chlorococcales indéterminées	INDCHO	4746		177	103
Volvocales indéterminées	INDVOL	6012			720
TREBOUXIOPHYCEAE					
Dictyosphaerium	DICSPX	5645	109		
Dictyosphaerium subsolitarium	DICSUB	9192		139	
Didymocystis inconspicua	DIDINS	20628		260	103
Didymocystis inermis	DIDINE	5653			206
Hindakia tetrachotoma	HIDTET	41770			823
Koliella	KOLSPX	5285		19	
Koliella longiseta	KOLLON	5286	272		
Mucidosphaerium pulchellum	MUCPUL	34196		37	
Oocystis	OOCSPX	5752	27	46	51
Oocystis lacustris	OOCLAC	5757		186	
Siderocelis	SIDSPX	5872		19	
Siderocelis ornata	SIDORN	5873		9	



	nents et détermination xprimés en densité ce				
	Code Taxon	Code Sandre	27/03/2018	29/05/2018	24/07/2018
CRYPTOPHYTA					
CRYPTOPHYCEAE	ODVODV	0000	200	046	444
Cryptomonas Cryptomonas curvata	CRYSPX CRYCUR	6269 6270	326	316 19	411
Cryptomonas curvata Cryptomonas erosa Cf.	CRYERO	6271		167	
Cryptomonas marssonii	CRYMAR	6273		205	51
Cryptomonas ovata Cf.	CRYOVA	6274		28	51
Plagioselmis lacustris	PLGLAC	9633	82		
Plagioselmis nannoplanctica	PLGNAN	9634	869	511	360
Cryptophycées indéterminées	INDCRY	4765	190		
CYANOBACTERIA					
CYANOPHYCEAE					
Aphanizomenon klebahnii	APHKLE	35569		440	500 912
Aphanocapsa	APASPX CHRLIM	6307 6358		149	206
Chroococcus limneticus Cuspidothrix issatschenkoi	CUSISS	33634			771
Cyanocatena planctonica	CYEPLA	34751		242	771
Cyanogranis	CYGSPX	33847		725	82 046
Cyanogranis ferruginea	CYGFER	33848		930	720
Dolichospermum compactum	DOLCOM	36082		555	2 262
Dolichospermum flos-aquae	DOLFLO	31958			11 104
Dolichospermum planctonicum	DOLPLA	31959			15 422
Limnothrix	LIMSPX	6445			13 314
Microcystis	MIOSPX	4740		167	2 879
Microcystis wesenbergii	MIOWES	6384			4 318
Planktolyngbya minor Cf.	PLLMIN	32021			2 159
Romeria	ROMSPX	9699			463
Sphaerospermopsis aphanizomenoides	SPSAPH	32051			1 851
Synechococcus capitatus Cf.	SYCCAP	9725			308
DINOPHYTA					
DINOPHYCEAE	OVAMORY	1005			
Gymnodinium Peridinium	GYMSPX	4925		28	51
EUGLENOPHYTA	PERSPX	6577			206
EUGLENOPHYCEAE					
Colacium	COLSPX	6473		9	
Euglena	EUGSPX	6479	27	9	
Trachelomonas	TRASPX	6527	27	U	
Trachelomonas volvocina	TRAVOL	6544			51
НАРТОРНҮТА					
COCCOLITHOPHYCEAE					
Chrysochromulina parva	CCHPAR	31903	3 831	2 064	51
HETEROKONTOPHYTA					
CHRYSOPHYCEAE					
Bicosoeca	BIOSPX	20672	27		
Chromulina	CHUSPX	6114		37	
Chrysococcus	CHSSPX	9570	1 114		
Chrysococcus cordiformis Cf.	NEW054	40762	190		
Chrysococcus rufescens	CHSRUF	9571	<u></u>	37	
Chrysolyk os planctonicus	CYYPLA	6118	54		
Chrysophycées flagellés	NEW023	1160	136	105	
Dinobryon Dinobryon crenulatum	DINSPX DINCRE	6124	27	195	
Dinobryon crenulatum Dinobryon divergens	DINDIV	9577 6130	21	28	
Dinobryon aivergens Dinobryon sociale	DINSOC	6136		214	
Kephyrion rubri-claustri	KEPRUB	6152		139	
Ochromonas	OCHSPX	6158	353	100	
Chrysophycées indéterminées	INDCHR	1160	555	93	
SYNUROPHYCEAE					
Mallomonas	MALSPX	6209		65	
Mallomonas akrokomos	MALAKR	6211		9	
XANTHOPHYCEAE					
Goniochloris pulchra	GOCPUL	20149		46	
Nephrodiella lunaris	NEHLUN	9616		288	
Trachydiscus lenticularis	TRDLEN	20282		9	
Trachydiscus minutus	TRDMIN	40217		46	
Xanthophycées indéterminées	INDXAN	1165	815		
INDETERMINES					
INDETERMINES (classe)					
Flagellés indéterminés	INDFLA	0	82		
Taxons indéterminés	INDTAX	0	54		
Densité Cellulaire totale (nb. de cellules/mL) Richesse taxonomique (nb. de taxons identifiés)		+	11 520	9 773	647 782
wanagaa tayanamigua (nh. da tayana idantifiáa)			39	66	40



résultats exprimés en biovolume (mm3/L)							
	Code Taxon	Code Sandre	27/03/2018	29/05/2018	24/07/2018		
BACILLARIOPHYTA BACILLARIOPHYCEAE							
Achnanthidium	A CDCDV	0256		0.001			
	ACDSPX	9356	0.042	0,001			
Nitzschia	NIZSPX	9804	0,043				
Nitzschia acicularis Cf.	NIZACI	8809	0,024				
COSCINODISCOPHYCEAE							
Aulacoseira ambigua	AULAMB	8554		0,009			
Aulacoseira pusilla	AULPUS	11270		0,004			
FRAGILARIOPHYCEAE							
Asterionella formosa	ASTFOR	4860		0,010			
Fragilaria	FRASPX	9533	0,592				
Fragilariaceae	NEW007	20608	0,042				
INDETERMINES (classe)							
Diatomées centriques indéterminées <10 µm	INDCE5	6598		0,016	0,034		
Diatomées centriques indéterminées > 10 µm	INDCEN	6598		0,005	0,083		
MEDIOPHYCEAE							
Cyclostephanos delicatus	CYSDEL	8598	0,084				
Cyclostephanos dubius	CYSDUB	8599	0,121				
Cyclostephanos invisitatus	CYSINV	8600	0,051				
Cyclotella meneghiniana	CYCMEN	8633	0,029				
Discostella pseudostelligera	DISPSE	8656	0,024				
Stephanodiscus hantzschii	STEHAN	8746	0,043				
Stephanodiscus minutulus	STEMIN	8753	0,147				
CHAROPHYTA							
KLEBSORMIDIOPHYCEAE							
Elakatothrix gelatinosa	ELAGEL	5664		0,002			
CHLOROPHYTA							
CHLORODENDROPHYCEAE							
Scherffelia	SCFSPX	38775	0,014				
CHLOROPHYCEAE	00:0:7	000	0,0				
Acutodesmus acuminatus	ACUACU	33639		0,012			
		5596					
Ankyra judayi	ANYJUD			0,003	0.007		
Chlamydomonas < 10 μm	CHLSP5	6016			0,007		
Chlamydomonas 10 - 20 μm	CHLS15	6016	0,060	0,012			
Chlorococcales 2µm	NEW096	4746	0,000				
Chlorococcales 4µm	NEW097	4746	0,001				
Coelastrum astroideum	COEAST	5608		0,030			
Crucigenia tetrapedia	CRUTET	5633		0,010			
Desmodesmus aculeolatus	DEDACU	37353		0,006			
Desmodesmus armatus	DEDARM	31930		0,013			
Desmodesmus communis	DEDCOM	31933		0,027			
Desmodesmus intermedius	DEDINT	30028		0,016			
Desmodesmus opoliensis	DEDOPO	30006		0,010	0,063		
i	DEDSUB			0.000	L		
Desmodesmus subspicatus		31950		0,098	0,078		
Kirchneriella	KIRSPX	4755		0,014	0,017		
Monoraphidium arcuatum	MONARC	5729	0,001	0,000			
Monoraphidium contortum	MONCON	5731		0,001	0,006		
Monoraphidium griffithii	MONGRI	5734		0,002	0,012		
Pediastrum duplex	PEDDUP	5772		0,090			
Phacotus	PHTSPX	6047		0,362			
Pseudodidymocystis planctonica	PSDPLA	5787		0,005			
Schroederia antillarum	SCRANT	20247		0,001			
Spermatozopsis exsultans	SZOEXU	9335	0,000	3,001			
Stauridium tetras	SRITET	42839	3,000	0,039			
Tetraedron caudatum	TEACAU	5885					
				0,020	0.010		
Tetraedron minimum	TEAMIN	5888		0,013	0,018		
Tetrastrum elegans	TERELE	9299	0,005				
Tetrastrum komarekii	TERKOM	5900			0,453		
Tetrastrum staurogeniaeforme	TERSTA	5904		0,002			
Treubaria triappendiculata	TRETRI	5913			0,027		
Chlorococcales indéterminées	INDCHO	4746		0,039	0,023		
Volvocales indéterminées	INDVOL	6012			0,130		
TREBOUXIOPHYCEAE	-				-,		
Dictyosphaerium	DICSPX	5645	0,003				
Dictyosphaerium subsolitarium	DICSUB	9192	5,005	0,001			
		20628			0.000		
Didymocystis inconspicua	DIDINS			0,008	0,003		
Didymocystis inermis	DIDINE	5653			0,023		
Hindakia tetrachotoma	HIDTET	41770			0,086		
Koliella	KOLSPX	5285		0,004			
Koliella longiseta	KOLLON	5286	0,082				
Mucidosphaerium pulchellum	MUCPUL	34196		0,005			
Oocystis	OOCSPX	5752	0,007	0,011	0,012		
Oocystis lacustris	OOCLAC	5757		0,020			
Siderocelis	SIDSPX	5872		0,020			
Siderocelis ornata	SIDORN	5873		0,007			
		128/3	t and the second se	0.007			



	oplancton dans le lac o ments et détermination	ns AQUASCOP			
résult	ats exprimés en biovol	ume (mm3/L) Code Sandre	27/03/2018	29/05/2018	24/07/2018
СКУРТОРНУТА	code laxon	Code Sandre	21/03/2010	29/03/2010	24/01/2010
CRYPTOPHYCEAE					
Cryptomonas	CRYSPX	6269	0,578	0,560	0,729
Cryptomonas curvata	CRYCUR	6270		0,050	
Cryptomonas erosa Cf.	CRYERO CRYMAR	6271 6273		0,190	0.062
Cryptomonas marssonii Cryptomonas ovata Cf.	CRYOVA	6274		0,245 0,058	0,062 0,108
Plagioselmis lacustris	PLGLAC	9633	0.006	0,038	0,106
Plagioselmis nannoplanctica	PLGNAN	9634	0.061	0,036	0,025
Cryptophycées indéterminées	INDCRY	4765	0,099		
CYANOBACTERIA					
CYANOPHYCEAE					
Aphanizomenon klebahnii	APHKLE	35569			40,073
Aphanocapsa	APASPX	6307		0,000	0.050
Chroococcus limneticus Cuspidothrix issatschenkoi	CHRLIM CUSISS	6358 33634			0,056 0,031
Cyanocatena planctonica	CYEPLA	34751		0,000	0,031
Cyanogranis	CYGSPX	33847		0,000	0,091
Cyanogranis ferruginea	CYGFER	33848		0,001	0,001
Dolichospermum compactum	DOLCOM	36082			0,109
Dolichospermum flos-aquae	DOLFLO	31958			1,166
Dolichospermum planctonicum	DOLPLA	31959			4,719
Limnothrix	LIMSPX	6445			0,413
Microcystis	MIOSPX	4740		0,044	0,763
Microcystis wesenbergii	MIOWES	6384			0,108
Planktolyngbya minor Cf.	PLLMIN	32021			0,005
Romeria Sphaerospermopsis aphanizomenoides	ROMSPX SPSAPH	9699 32051			0,002 0,167
Synechococcus capitatus Cf.	SYCCAP	9725			0,107
DINOPHYTA	0100/11	3723			0,000
DINOPHYCEAE					
Gymnodinium	GYMSPX	4925		0,036	0,067
Peridinium	PERSPX	6577	***************************************		1,892
EUGLENOPHYTA					
EUGLENOPHYCEAE					
Colacium	COLSPX	6473		0,007	
Euglena	EUGSPX	6479	0,038	0,055	
Trachelomonas Trachelomonas volvocina	TRASPX TRAVOL	6527 6544	0,044		0,100
HAPTOPHYTA	IKAVOL	0344			0,100
COCCOLITHOPHYCEAE					
Chrysochromulina parva	CCHPAR	31903	0,111	0,060	0,001
HETEROKONTOPHYTA					
CHRYSOPHYCEAE					
Bicosoeca	BIOSPX	20672	0,014		
Chromulina	CHUSPX	6114		0,005	
Chrysococcus	CHSSPX	9570	0,095		
Chrysococcus cordiformis Cf.	NEW054	40762	0,013	0.000	
Chrysococcus rufescens	CHSRUF CYYPLA	9571 6118	0.021	0,006	
Chrysolykos planctonicus Chrysophycées flagellés	NEW023	1160	0,021 0,015		
Dinobryon	DINSPX	6124	0,013	0,058	
Dinobryon crenulatum	DINCRE	9577	0,006	0,000	
Dinobryon divergens	DINDIV	6130	3,000	0,006	
Dinobryon sociale	DINSOC	6136		0,020	
Kephyrion rubri-claustri	KEPRUB	6152		0,009	
Ochromonas	OCHSPX	6158	0,035		
Chrysophycées indéterminées	INDCHR	1160		0,010	
SYNUROPHYCEAE					
Mallomonas	MALSPX	6209		0,174	
Mallomonas akrokomos XANTHOPHYCEAE	MALAKR	6211		0,003	
Goniochloris pulchra	GOCPUL	20149		0,010	
Nephrodiella lunaris	NEHLUN	9616		0,010	
Trachydiscus lenticularis	TRDLEN	20282		0,000	
Trachydiscus minutus	TRDMIN	40217		0,002	
Xanthophycées indéterminées	INDXAN	1165	0,093		
INDETERMINES					
INDETERMINES (classe)					
Flagellés indéterminés	INDFLA	0	0,003		
Taxons indéterminés	INDTAX	0	0,027		
			_	_	_
Biomasse Algale totale (mg/L) Biomasse Carbone totale (mg C/I)			2,6 0,3	2,6 0,3	51,8 11,0



		erminations AQU n densité algale (ASCOP	JNC 2010		
		Code Sandre		29/05/2018	24/07/2018	25/09/2018
BACILLARIOPHYTA BACILLARIOPHYCEAE						
Achnanthidiaceae	NEW006	(vide)			77	
Achnanthidium	ACDSPX	9356		9	, , ,	
Gomphonema	GOMSPX	8781		9		
Nitzschia	NIZSPX	9804			360	
Nitzschia acicularis Cf.	NIZACI	8809			26	
COSCINODISCOPHYCEAE						
Aulacoseira ambigua	AULAMB	8554		28		
Aulacoseira granulata	AULGRA	8559		9		944
FRAGILARIOPHYCEAE						
Fragilaria	FRASPX	9533			129	6
Fragilariaceae	NEW007	20608				6
INDETERMINES (classe)	INDCE	CEO0	1 151	FC	154	6
Diatomées centriques indéterminées <10 µm Diatomées centriques indéterminées > 10 µm	INDCEN	6598 6598	1 154 660	56 9	154	В
MEDIOPHYCEAE	INDCEN	0090	660	9		
Cyclostephanos dubius	CYSDUB	8599			334	
Cyclostephanos invisitatus	CYSINV	8600			26	
Cyclotella atomus	CYCATO	8603			154	
Cyclotella meduanae	CYCMED	8631			643	
Cyclotella meneghiniana	CYCMEN	8633			180	
Discostella pseudostelligera	DISPSE	8656			1 696	
Skeletonema	SKESPX	9504			488	
Stephanodiscus	STESPX	8760			77	
CHAROPHYTA						
KLEBSORMIDIOPHYCEAE						
Elakatothrix gelatinosa	ELAGEL	5664		9		
CHLOROPHYTA						
CHLOROPHYCEAE						
Ankyra ancora	ANYANC	5597		19		
Ankyra judayi	ANYJUD	5596		2 241	26	78
Chlamydomonas 10 - 20 μm	CHLS15	6016	165	9		
Chlorococcales 2µm	NEW096	4746	330			
Crucigenia tetrapedia	CRUTET	5633				3
Desmodesmus communis	DEDCOM	31933	165	9		3
Desmodesmus intermedius	DEDINT	30028				6
Desmodesmus subspicatus	DEDSUB	31950			51 103	3
Diplochloris lunata Kirchneriella	DCHLUN KIRSPX	5659 4755			257	
Monoraphidium arcuatum	MONARC	5729			26	
Monoraphidium contortum	MONCON	5731			411	
Monoraphidium komarkovae	MONKOM	5735			51	
Monoraphidium tortile	MONTOR	5741			154	
Pediastrum duplex	PEDDUP	5772		9	101	3
Planktosphaeria gelatinosa	PLKGEL	5782		<u> </u>		137
Pseudodidymocystis planctonica	PSDPLA	5787			26	
Pseudopediastrum boryanum	PPEBOR	42835		9		3
Pseudoschroederia robusta	PSCROB	32026		74		
Raphidocelis	RDOSPX	9265			154	
Scenedesmus	SCESPX	1136			26	
Schroederia antillarum	SCRANT	20247		28		
Spermatozopsis exsultans	SZOEXU	9335			206	
Spermatozopsis similis	SZOSIM	34957			51	
Sphaerocystis planctonica	SPEPLA	5879				3
Chlorococcales indéterminées	INDCHO	4746		56	308	60
MAMIELLOPHYCEAE						
Monomastix	MMASPX	45188		37		
TREBOUXIOPHYCEAE	000:5:	5005				
Crucigeniella apiculata	CRCAPI	5635			26	
Diacanthos belenophorus	DIOBEL	5642			26	
Dictyosphaerium subsolitarium	DICSUB	9192			3 521	
Didymocystis inconspicua	DIDINS	20628			77 102	
Koliella	KOLSPX	5285		0	103	
Lagerheimia balatonica Mucidosphaerium pulchellum	LAGBAL MUCPUL	5711 34196		9 19	26 26	
	×			19	<u></u>	3E
Oocystis Oocystis lacustris	OOCSPX OOCLAC	5752 5757			26	36
Oocystis jacustris Oocystis parva	OOCLAC	5757 5758			51	12
	·			65	10	
Oocystis solitaria Quadricoccus ellipticus	OOCSOL QUDELL	5759 5795		9		
Siderocelis	SIDSPX	5872		9 195	103	
GIUGIOGGIIS	יוריס∟∨	32047		1 30	51	



	<mark>ohytoplancton da</mark> n élèvements et dét			gne 2018		
	elevements et det sultats exprimés e					
		Code Sandre	·	29/05/2018	24/07/2018	25/09/201
CRYPTOPHYTA						
CRYPTOPHYCEAE						
Cryptomonas	CRYSPX	6269	330	112	129	24
Cryptomonas curvata	CRYCUR	6270		19		
Cryptomonas erosa Cf.	CRYERO	6271		921	257	105
Cryptomonas marssonii	CRYMAR	6273		251	154	3
Cryptomonas ovata Cf.	CRYOVA	6274		46		45
Plagioselmis nannoplanctica	PLGNAN	9634	1 319	1 451	1 748	39
CYANOBACTERIA						
CYANOPHYCEAE						
Aphanizomenon	APHSPX	1103		28	51	
Aphanizomenon klebahnii	APHKLE	35569				75
Aphanocapsa holsatica Cf.	APAHOL	6312			26	-
Dolichospermum	DOLSPX	31962			360	
Merismopedia tenuissima	MERTEN	6330			154	
Microcystis	MIOSPX	4740				699
Pseudanabaena catenata	PSECAT	6456				3
Romeria	ROMSPX	9699			77	9
DINOPHYTA	TOWO! 70	0000				- U
DINOPHYCEAE						
Peridiniales indéterminées 20 - 50 µm	INDP35	4921	660			
EUGLENOPHYTA	IIII OO	7021	000			
EUGLENOPHYCEAE						
Colacium	COLSPX	6473		9	26	27
Euglena	EUGSPX	6479	165	9	20	6
HAPTOPHYTA	EUGSFA	0479	100			0
COCCOLITHOPHYCEAE						
	CCLIDAD	24002	FF 700			
Chrysochromulina parva	CCHPAR	31903	55 738			
HETEROKONTOPHYTA						
CHRYSOPHYCEAE	OLILIODY/	0111		0.7	000	
Chromulina	CHUSPX	6114		37	206	3
Chrysococcus	CHSSPX	9570	165			
Chrysococcus rufescens	CHSRUF	9571			26	
Kephyrion	KEPSPX	6150	165		51	
Kephyrion rubri-claustri	KEPRUB	6152			51	
Ochromonas	OCHSPX	6158	825		77	
SYNUROPHYCEAE						
Mallomonas	MALSPX	6209		9	26	9
XANTHOPHYCEAE						
Tetraëdriella regularis	TEEREG	9621		9		
INDETERMINES						
INDETERMINES (classe)						
Flagellés indéterminés	INDFLA	0	660			
Densité Algale totale (nb. d'individus/mL)			62 499	5 812	13 649	2 355
Richesse taxonomique (nb. de taxons identifiés)			14	33	54	29



résulta		densité cellulaire Code Sandre		29/05/2018	24/07/2018	25/09/201
BACILLARIOPHYTA						
BACILLARIOPHYCEAE						
Achnanthidiaceae	NEW006	(vide)			77	
Achnanthidium	ACDSPX	9356		9		
Gomphonema	GOMSPX	8781		9		
Nitzschia	NIZSPX	9804			360	
Nitzschia acicularis Cf. COSCINODISCOPHYCEAE	NIZACI	8809			26	
Aulacoseira ambigua	AULAMB	8554		28		
Aulacoseira ambigua Aulacoseira granulata	AULGRA	8559		102		944
FRAGILARIOPHYCEAE	AOLOIV	0000		102		344
Fragilaria	FRASPX	9533			129	6
Fragilariaceae	NEW007	(vide)				6
INDETERMINES (classe)	-					
Diatomées centriques indéterminées <10 µm	INDCE5	6598	1 154	56	154	6
Diatomées centriques indéterminées > 10 µm	INDCEN	6598	660	9		
MEDIOPHYCEAE						
Cyclostephanos dubius	CYSDUB	8599			334	
Cyclostephanos invisitatus	CYSINV	8600			26	
Cyclotella atomus	CYCATO	8603			154	
Cyclotella meduanae	CYCMED	8631			643	
Cyclotella meneghiniana	CYCMEN	8633			180	
Discostella pseudostelligera	DISPSE	8656			1 696	
Skeletonema	SKESPX	9504			488	
Stephanodiscus	STESPX	8760			77	
CHAROPHYTA						
KLEBSORMIDIOPHYCEAE	FLACEL	ECC4		9		
Elakatothrix gelatinosa CHLOROPHYTA	ELAGEL	5664		9		
CHLOROPHYCEAE						
Ankyra ancora	ANYANC	5597		19		
Ankyra judayi	ANYJUD	5596		2 241	26	78
Chlamydomonas 10 - 20 µm	CHLS15	6016	165	9	20	70
Chlorococcales 2µm	NEW096	(vide)	330	<u> </u>		
Crucigenia tetrapedia	CRUTET	5633	000			12
Desmodesmus communis	DEDCOM	31933	660	37		12
Desmodesmus intermedius	DEDINT	30028				12
Desmodesmus subspicatus	DEDSUB	31950			103	6
Diplochloris lunata	DCHLUN	5659			206	
Kirchneriella	KIRSPX	4755			257	
Monoraphidium arcuatum	MONARC	5729			26	
Monoraphidium contortum	MONCON	5731			411	
Monoraphidium komarkovae	MONKOM	5735			51	
Monoraphidium tortile	MONTOR	5741			154	
Pediastrum duplex	PEDDUP	5772		298		12
Planktosphaeria gelatinosa	PLKGEL	5782				137
Pseudodidymocystis planctonica	PSDPLA	5787			51	
Pseudopediastrum boryanum	PPEBOR	42835		149		24
Pseudoschroederia robusta	PSCROB	32026		74	<u> </u>	
Raphidocelis	RDOSPX	9265			154	
Scenedesmus	SCESPX	1136			51	
Schroederia antillarum	SCRANT	20247		28	000	
Spermatozopsis exsultans	SZOEXU	9335			206	
Spermatozopsis similis	SZOSIM	34957			51	24
Sphaerocystis planctonica Chlorococcales indéterminées	SPEPLA INDCHO	5879 4746		56	308	24 60
MAMIELLOPHYCEAE	INDOUDO	7/40		טט	300	υU
Monomastix	MMASPX	45188		37		
TREBOUXIOPHYCEAE	IVIIVIAGI A	10100		J1		
Crucigeniella apiculata	CRCAPI	5635			308	
Diacanthos belenophorus	DIOBEL	5642			26	
Dictyosphaerium subsolitarium	DICSUB	9192			28 171	
Didymocystis inconspicua	DIDINS	20628			154	
Koliella	KOLSPX	5285			103	
Lagerheimia balatonica	LAGBAL	5711		9	26	
Mucidosphaerium pulchellum	MUCPUL	34196		112	206	
Oocystis	OOCSPX	5752			26	72
Oocystis lacustris	OOCLAC	5757				48
Oocystis parva	OOCPAR	5758			154	
Oocystis solitaria	OOCSOL	5759		65		
Quadricoccus ellipticus	QUDELL	5795	***************************************	37		
Siderocelis	SIDSPX	5872		195	103	
Siderocelis kolkwitzii Cf.	SIDKOL	32047			51	



Composition du phytoplancton dans l'étang du Vignoble - campagne 2018 prélèvements et déterminations AQUASCOP								
	ıltats exprimés en							
		Code Sandre		29/05/2018	24/07/2018	25/09/2018		
СКҮРТОРНҮТА								
CRYPTOPHYCEAE								
Cryptomonas	CRYSPX	6269	330	112	129	24		
Cryptomonas curvata	CRYCUR	6270		19				
Cryptomonas erosa Cf.	CRYERO	6271		921	257	105		
Cryptomonas marssonii	CRYMAR	6273		251	154	3		
Cryptomonas ovata Cf.	CRYOVA	6274		46		45		
Plagioselmis nannoplanctica	PLGNAN	9634	1 319	1 451	1 748	39		
CYANOBACTERIA								
CYANOPHYCEAE								
Aphanizomenon	APHSPX	1103		335	617			
Aphanizomenon klebahnii	APHKLE	35569		000	0	1 494		
Aphanocapsa holsatica Cf.	APAHOL	6312			3 084			
Dolichospermum	DOLSPX	31962			3 958			
Merismopedia tenuissima	MERTEN	6330			1 851			
Microcystis	MIOSPX	4740			1 001	6 294		
Pseudanabaena catenata	PSECAT	6456			***************************************	21		
Romeria	ROMSPX	9699			231	27		
DINOPHYTA	ROWOT X	3033			201	21		
DINOPHYCEAE								
Peridiniales indéterminées 20 - 50 µm	INDP35	4921	660					
EUGLENOPHYTA	IINDF 33	4921	000					
EUGLENOPHYCEAE								
Colacium	COLSPX	6473		9	26	27		
	EUGSPX		165	9	20			
Euglena	EUGSPA	6479	100			6		
HAPTOPHYTA								
COCCOLITHOPHYCEAE	0011045	04000	FF 700					
Chrysochromulina parva	CCHPAR	31903	55 738					
HETEROKONTOPHYTA								
CHRYSOPHYCEAE								
Chromulina	CHUSPX	6114		37	206	3		
Chrysococcus	CHSSPX	9570	165					
Chrysococcus rufescens	CHSRUF	9571			26			
Kephyrion	KEPSPX	6150	165		51			
Kephyrion rubri-claustri	KEPRUB	6152			51			
Ochromonas	OCHSPX	6158	825		77			
SYNUROPHYCEAE								
Mallomonas	MALSPX	6209		9	26	9		
XANTHOPHYCEAE								
Tetraëdriella regularis	TEEREG	9621		9				
INDETERMINES								
INDETERMINES (classe)								
Flagellés indéterminés	INDFLA	(vide)	660					
Densité Cellulaire totale (nb. de cellules/mL)			62 994	6 788	48 220	9 555		
Richesse taxonomique (nb. de taxons identifiés)			14	33	54	29		
Densité totale de Cyanobactéries pot. toxiques			0	335	4 575	6 294		

Les prestations rapportées dans ce tableau sont couvertes par l'accréditation, exceptés les "amas flottants de cyanobactéries" (CYANOBACTERIA) non couverts par l'accréditation



	erminations AQU en biovolume (m					
100		Code Sandre	,	29/05/2018	24/07/2018	25/09/2018
BACILLARIOPHYTA						
BACILLARIOPHYCEAE	NEWOOG	(, i.d.s.)			0.010	
Achnanthidiaceae Achnanthidium	NEW006 ACDSPX	(vide) 9356		0,001	0,012	
Gomphonema	GOMSPX	8781		0,001		
Nitzschia	NIZSPX	9804		0,010	0,288	
Nitzschia acicularis Cf.	NIZACI	8809			0,008	
COSCINODISCOPHYCEAE		0000			0,000	
Aulacoseira ambigua	AULAMB	8554		0,014		
Aulacoseira granulata	AULGRA	8559		0,138		1,275
FRAGILARIOPHYCEAE						
Fragilaria	FRASPX	9533			0,311	0,014
Fragilariaceae	NEW007	(vide)				0,001
INDETERMINES (classe)	NIDOE 5	0500		0.000	0 01=	0 004
	INDCE5	6598	0,127	0,006	0,017	0,001
Diatomées centriques indéterminées > 10 μm MEDIOPHYCEAE	INDCEN	6598	0,354	0,005	,	
Cyclostephanos dubius	CYSDUB	8599			0,165	
Cyclostephanos invisitatus	CYSINV	8600			0,103	
Cyclotella atomus	CYCATO	8603			0,004	
Cyclotella meduanae	CYCMED	8631			0,003	
Cyclotella meneghiniana	CYCMEN	8633			0,191	
Discostella pseudostelligera	DISPSE	8656			0,148	
Skeletonema	SKESPX	9504			0,052	
Stephanodiscus	STESPX	8760			0,378	
CHAROPHYTA						
KLEBSORMIDIOPHYCEAE						
Elak atothrix gelatinosa	ELAGEL	5664		0,002		
CHLOROPHYTA					,	
CHLOROPHYCEAE	ANIXANIC	FF07		0.000		
Ankyra ancora Ankyra judayi	ANYANC ANYJUD	5597 5596		0,002 0,235	0,003	0,008
Chlamydomonas 10 - 20 μm	CHLS15	6016	0,073	0,235	0,003	0,006
Chlorococcales 2µm	NEW096	(vide)	0,073	0,004		
Crucigenia tetrapedia	CRUTET	5633	0,001			0,002
Desmodesmus communis	DEDCOM	31933	0,240	0,014		0,004
Desmodesmus intermedius	DEDINT	30028	,	-,-		0,001
Desmodesmus subspicatus	DEDSUB	31950			0,078	0,005
Diplochloris lunata	DCHLUN	5659			0,013	
Kirchneriella	KIRSPX	4755			0,042	
Monoraphidium arcuatum	MONARC	5729			0,001	
Monoraphidium contortum	MONCON	5731			0,046	
Monoraphidium komarkovae	MONKOM	5735			0,008	
Monoraphidium tortile	MONTOR	5741		0.044	0,004	0.040
Pediastrum duplex	PEDDUP	5772		0,241		0,010
Planktosphaeria gelatinosa Pseudodidymocystis planctonica	PLKGEL PSDPLA	5782 5787			0.005	0,029
Pseudodidymocystis planctonica Pseudopediastrum boryanum	PPEBOR	42835		0,114	0,000	0,018
Pseudoschroederia robusta	PSCROB	32026		0,114		0,010
Raphidocelis	RDOSPX	9265		3,010	0,012	
Scenedesmus	SCESPX	1136			0,004	
Schroederia antillarum	SCRANT	20247		0,003		
Spermatozopsis exsultans	SZOEXU	9335			0,002	
Spermatozopsis similis	SZOSIM	34957			0,000	
Sphaerocystis planctonica	SPEPLA	5879				0,013
Chlorococcales indéterminées	INDCHO	4746		0,012	0,068	0,013
MAMIELLOPHYCEAE						
Monomastix	MMASPX	45188		0,002		
TREBOUXIOPHYCEAE	000451	FOOF			0.015	
Crucigeniella apiculata	CRCAPI	5635			0,015	
Diacanthos belenophorus Dictyosphaerium subsolitarium	DIOBEL DICSUB	5642 9192			0,003 0,225	
Dictyospnaerium subsolitarium Didymocystis inconspicua	DIDINS	20628			0,225	
Koliella	KOLSPX	5285			0,004	
Lagerheimia balatonica	LAGBAL	5711		0,001	0,024	
Mucidosphaerium pulchellum	MUCPUL	34196		0,001	0,002	
Oocystis	OOCSPX	5752		5,510	0,006	0,017
Oocystis lacustris	OOCLAC	5757			., .	0,005
Oocystis parva	OOCPAR	5758			0,010	-,
Oocystis solitaria	OOCSOL	5759		0,068		
Quadricoccus ellipticus	QUDELL	5795		0,034		
Siderocelis	SIDSPX	5872		0,071	0,037	
Siderocelis kolkwitzii Cf.	SIDKOL	32047			0,003	



	élèvements et dét ésultats exprimés					
		Code Sandre		29/05/2018	24/07/2018	25/09/2018
СКҮРТОРНҮТА						
CRYPTOPHYCEAE						
Cryptomonas	CRYSPX	6269	0,584	0,198	0,228	0,042
Cryptomonas curvata	CRYCUR	6270		0,050		
Cryptomonas erosa Cf.	CRYERO	6271		1,043	0,291	0,119
Cryptomonas marssonii	CRYMAR	6273		0,301	0,185	0,004
Cryptomonas ovata Cf.	CRYOVA	6274		0,097		0,094
Plagioselmis nannoplanctica	PLGNAN	9634	0,092	0,102	0,122	0,003
CYANOBACTERIA					-	
CYANOPHYCEAE						
Aphanizomenon	APHSPX	1103		0,024	0,044	***************************************
Aphanizomenon klebahnii	APHKLE	35569				0,120
Aphanocapsa holsatica Cf.	APAHOL	6312			0,003	, -
Dolichospermum	DOLSPX	31962			0,360	
Merismopedia tenuissima	MERTEN	6330			0,002	
Microcystis	MIOSPX	4740				1.668
Pseudanabaena catenata	PSECAT	6456				0,000
Romeria	ROMSPX	9699			0,001	0,000
DINOPHYTA					0,001	3,000
DINOPHYCEAE						
Peridiniales indéterminées 20 - 50 µm	INDP35	4921	2.762		,	
EUGLENOPHYTA			_,. 0_			
EUGLENOPHYCEAE						
Colacium	COLSPX	6473		0,007	0,019	0,020
Euglena	EUGSPX	6479	0,980	0,001	0,010	0,036
HAPTOPHYTA	LUGGIA	0110	0,000			0,000
COCCOLITHOPHYCEAE						
Chrysochromulina parva	CCHPAR	31903	1.616			
HETEROKONTOPHYTA		0.000	.,			
CHRYSOPHYCEAE						
Chromulina	CHUSPX	6114		0,005	0,029	0.000
Chrysococcus	CHSSPX	9570	0,014	0,000	0,020	0,000
Chrysococcus rufescens	CHSRUF	9571	0,011		0,004	
Kephyrion	KEPSPX	6150	0,010		0,003	
Kephyrion rubri-claustri	KEPRUB	6152	0,010		0,003	
Ochromonas	OCHSPX	6158	0.082		0,008	
SYNUROPHYCEAE	OOI IOI X	0100	0,002		0,000	
Mallomonas	MALSPX	6209		0,025	0,069	0,024
XANTHOPHYCEAE	IVII/ CEO! X	0200		0,020	0,000	0,02 1
Tetraëdriella regularis	TEEREG	9621		0,058		
INDETERMINES	.LLINEO	0021		0,000		
INDETERMINES (classe)						
Flagellés indéterminés	INDFLA	(vide)	0.022			
Biomasse Algale totale (mg/L)	IINDI LA	(viue)	7.0	2.9	3,6	3,5
Biomasse Carbone totale (mg C/l)			0,9	0,4	0,5	0,6
Richesse taxonomique (nb. de taxons identifiés)	+	 	14	33	0,5 54	29



7.4. DONNÉES EN PROFIL DU PH, DE LA TEMPÉRATURE DE L'EAU, DES TENEURS EN OXYGÈNE DISSOUS ET CONDUCTIVITÉ



Prof (m)



ARDRES 2024 Mars 2018 Mai 2018 0,5 1,5 1,5 2 2,5 ----cond (µS/cm) cond (µS/cm) Prof (m) Prof (m) Septembre 2018 Juillet 2018 100 500 200 300 400 600 400 600 0,5 0,5 2.5 2,5 3 Prof (m) ——cond (µS/cm) ----cond (µS/cm)











 Plan d'eau :
 GORIAUX
 Station :
 2022

 Mars 2018
 Mai 2018





GORIAUX 2022 Mars 2018 Mai 2018 1000 1200 1400 1600 0,2 0,4 1,8 ----cond (µS/cm) Prof (m) cond (µS/cm) Prof (m) Septembre 2018 Juillet 2018 ----cond (µS/cm) Prof (m) Prof (m)



VIGNOBLE 2023 Mai 2018 Mars 2018 5,0 10,0 15,0 20,0 25,0 20,0 25,0 0,0 0,5 0,5 1,5 1,5 2 2,5 2,5 ----T (°C) Prof (m) - O2 (mg/l) Prof (m) Septembre 2018 Juillet 2018 5,0 25,0 25,0 0,5 2,5 2,5 -рн ----T (°C) ---T(°C) - 02 (mg/l) - O2 (mg/l) Prof (m)













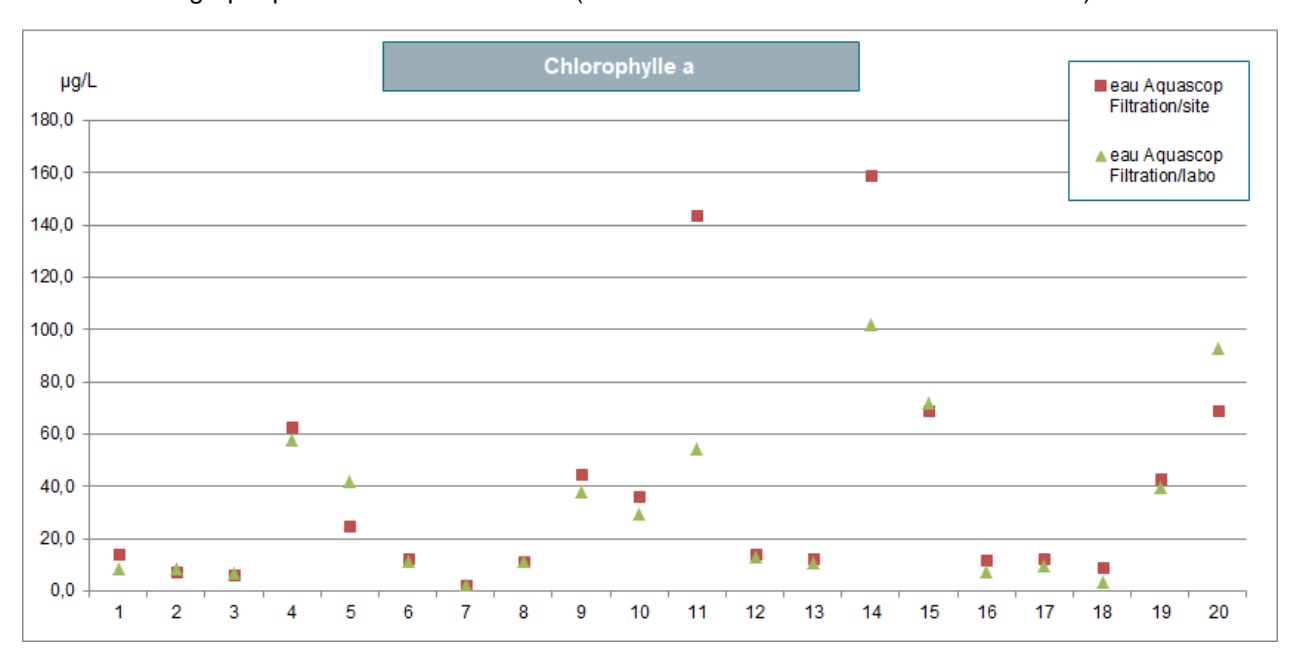


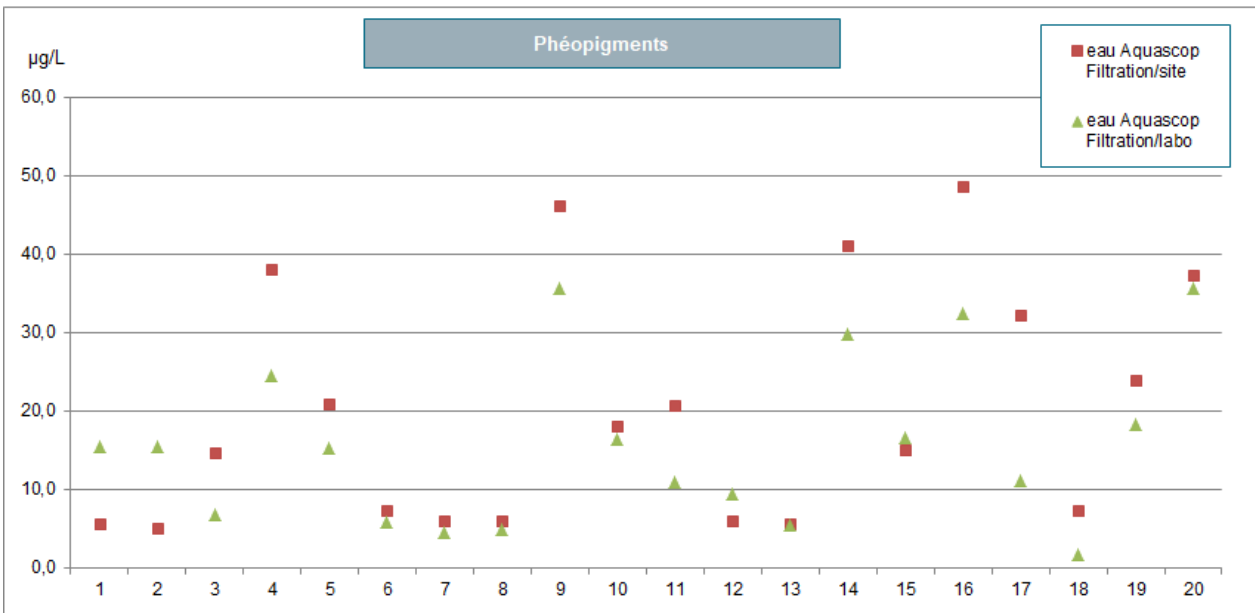
7.5. COMPARAISON DES RÉSULTATS DE CHLOROPHYLLE A

Comme indiqué en § 2.2.1, pour les analyses de chlorophylle *a* et phéopigments, les résultats issus de deux méthodes de filtration ont été comparés lors de cette étude, à savoir d'une part à partir d'une filtration réalisée sur le terrain (par aquascop) ou une filtration effectuée au laboratoire du CAR d'autre part afin de voir les différences éventuelles liées aux pratiques.

Les échantillons d'eau effectués par aquascop sont réalisés à partir d'un prélèvement dit « intégré », avec prélèvement d'eau tous les 50 cm compte tenu de la faible profondeur des plans d'eau.

Ci-dessous les graphiques résultants de ce test (toutes stations et toutes dates confondues).





Au total de ces 20 comparaisons, les résultats sont globalement très semblables que ce soit pour la chlorophylle a ou les phéopigments.

Ces résultats confirment ce qui avait déjà été observé en 2017. Ce test de « double » filtration n'est donc pas maintenu pour la campagne prévue en 2019.